

Bretagne, Morbihan, Quéven,

La Croix du Mourillon

sous la direction de

Stéphane Bourne

Inrap Grand Ouest

Avril 2016

Rapport final d'opération
Diagnostic archéologique

Code INSEE
56185

Nr site
—

Entité archéologique
561850005

Arrêté de prescription
2016-128

Système d'information
Lambert93 CC48

Code Inrap
D111973

Bretagne, Morbihan, Quéven,
La Croix du Mourillon

sous la direction de
Stéphane Bourne

Inrap Grand Ouest
37 rue du Bignon
CS 67737
35577 Cesson-Sévigné

Avril 2017

Données administratives, techniques et scientifiques

6	Fiche signalétique
7	Mots-clefs des thesaurus
8	Intervenants
10	Notice scientifique
10	Etat du site
11	Localisation de l'opération
12	Arrêté de prescription
20	Arrêté de prescription modifié
24	Projet scientifique

Résultats

31	I Introduction
31	1.1. Circonstances de l'intervention
31	1.2. Contexte de l'opération
31	1.2.1 Cadre naturel
33	1.2.2 Contexte archéologique
35	1.3. Stratégie et méthodes mises en œuvre
38	2 L'occupation archéologique
41	2.1 les indices d'une fréquentation des lieux au cours de la Protohistoire ancienne
41	2.1.1 Le Néolithique
42	2.1.2 Une occupation de la fin de l'âge du Bronze ou du début du 1er âge du Fer ?
44	2.2. Une occupation de La Tène moyenne
45	2.2.1 Les fait 18.14 et 18.18
45	2.2.2 Le fait 18.15
46	2.2.3 Le fait 18.17
46	2.2.4 Les fait 19.1, 19.4 et 19.5
47	2.2.5 Le fait 19.3
49	2.2.6 Les autres faits associés à l'occupation de La Tène moyenne
49	2.3. Un enclos fossoyé de La Tène finale
49	2.3.1 Présentation générale
49	2.3.2 Le fossé d'enclos
49	2.3.2.1 Le côté nord
53	2.3.2.2 Le côté est
54	2.3.2.3 Le côté sud
55	2.3.2.4 Le côté ouest
55	2.3.3 Les aménagements observés dans l'enclos
55	2.3.3.1 les fossés de partition interne
56	2.3.3.2 Des concentrations de trous de poteau
59	2.3.3.3 Une fosse ?
59	2.3.3.4 Des fours
62	2.3.4 Les aménagements observés en extérieur de l'enclos
62	2.3.4.1 des trous de poteau situés à proximité de l'enclos
64	2.3.4.2 Des trous de poteau isolés non datés
64	2.3.4.3 un parcellaire associé ?
66	2.3.5 Synthèse sur l'occupation gauloise
66	2.4. Un enclos fossoyé occupé entre la fin du 1^{er} siècle avant notre ère et le 1^{er} siècle de notre ère

66	2.4.1 Présentation générale
66	2.4.2 Le fossé d'enclos
67	2.4.2.1 Le côté nord
69	2.4.2.2 Le côté est
70	2.4.2.3 Le côté sud
72	2.4.2.4 Le côté ouest
74	2.4.3 Les aménagements observés dans l'enclos
74	2.4.3.1 Les fossés de partition de l'enclos
76	2.4.3.2 Un possible grenier
76	2.4.3.3 des structures isolées dans l'enclos
77	2.4.4 Les aménagements observés en extérieur de l'enclos
79	2.4.5 Une trame parcellaire orthogonale
86	2.4.5.2 Les fossés SE/NO, du sud vers le nord
89	2.4.5.3 des fossés aux orientations divergentes
90	2.4.5.4 Synthèse sur le parcellaire antique
90	2.4.6 une autre occupation antique au nord de l'emprise ?
92	2.4.7 Synthèse sur les occupations antiques
93	2.5. L'organisation du territoire à l'époque moderne et contemporaine
96	2.6. Le mobilier archéologique
96	2.6.1 une hache polie (S. Blanchet)
96	2.6.2 le mobilier céramique de la protohistoire ancienne (T. Nicolas)
96	2.6.2.1 Méthodes de travail
96	2.6.2.2 Catalogue par contexte de découverte
97	2.6.3 le mobilier céramique de la protohistoire récente (H. Delnef)
98	2.6.4 le mobilier céramique antique (R. Delage)
103	2.6.5 un tesson de céramique du haut Moyen Âge (F. Labaune-Jean)
103	2.6.6 le macro-outillage (V. Brisotto)

108 **3 Conclusion**

111 **4. Bibliographie**

111 **Bibliographie générale**

111 **Webographie**

112 **Liste des figures**

Inventaire

116	Inventaire des structures
140	Inventaire des isolats
141	Inventaire des minutes de terrain
142	Inventaire des photographies
144	Inventaire des céramiques proto historiques anciennes
145	Inventaire des céramiques gauloises
146	Inventaire des céramiques et des éléments d'architecture antiques
146	Céramiques
146	Éléments d'architecture
147	Inventaire de l'outillage macrolithique
148	Inventaire autres lithiques
148	Inventaire métal et scories



**I. Données
administratives,
techniques
et scientifiques**



Conditions d'utilisation des documents

Les rapports d'opération archéologique (diagnostic, fouille, document final de synthèse, sondage, sauvetage...) sont des documents administratifs communicables au public, en application de la loi n° 78-753 du 17 juillet 1978 modifiée et portant diverses mesures d'amélioration des relations entre l'administration et le public. L'accès à ces documents administratifs s'exerce auprès des administrations qui les ont élaborés ou qui les détiennent, au choix du demandeur et dans la limite de leurs conditions d'accueil. La mise en ligne des rapports **par le SRA Bretagne** a pour objectif de faciliter cette consultation.

La consultation et l'utilisation de ces rapports s'effectuent dans le respect des dispositions du code de la propriété intellectuelle relatives aux droits des auteurs. Notamment en application de l'article L.122-5 du code de la propriété intellectuelle, cela implique que :

- 1) les prises de notes et les copies ou autres formes de reproduction sont autorisées dans la mesure où elles sont strictement réservées à l'usage privé du copiste et non destinées à une utilisation collective;
- 2) toute reproduction du texte, accompagnée ou non de photographies, cartes ou schémas, n'est possible que dans le cadre de courtes citations qui doivent être justifiées, par exemple par le caractère scientifique de l'œuvre à laquelle elles sont incorporées, et sous réserve de l'indication claire du nom de l'auteur et de la source (références exactes et complètes de l'auteur, de son organisme d'appartenance et du rapport);
- 3) la représentation ou la reproduction d'extraits est possible à des fins exclusives d'illustration dans le cadre de l'enseignement et de la recherche, dès lors que le public auquel elle est destinée est majoritairement composé d'élèves, d'étudiants, d'enseignants ou de chercheurs directement concernés, et que son utilisation ne donne lieu à aucune exploitation commerciale.

Le non-respect de ces règles constitue le délit de contrefaçon prévu et sanctionné par les articles L.335-2, L.335-3 et suivants du code de la propriété intellectuelle.

Renseignement :

DRAC Bretagne : <http://www.culture.gouv.fr/Regions/Drac-Bretagne>

Service Régional de l'Archéologie - Centre de documentation archéologique

Campus universitaire de Beaulieu - Avenue Charles Foulon - 35700 Rennes

Fiche signalétique

Localisation

Région
Bretagne

Département
Morbihan

Commune
Quéven

Adresse ou lieu-dit
ZAC de la Croix du Mourillon

Codes

code INSEE
56185

Numéro de dossier Patriarche

Numéro de l'entité archéologique
56 - 185 0005

Coordonnées géographiques et altimétriques selon le système national de référence

x(L93): 1219327.10 à
1220034.52
y(L93): 7194549.18 à
7195303.96
z(L93): 37.2 à 46.55 m NGF

Références cadastrales

Commune
Quéven

Année
2016

Section(s) et parcelle(s)
CK n° 47, 48, 49, 50, 57p, 58, 62,
63, 64, 65, 66p, 67p, 130, 132,
134, 136

CB n° 7, 9, 18, 83

Statut du terrain au regard des législations sur le patrimoine et l'environnement

?

Propriétaire du terrain

?

Références de l'opération

Numéro de l'arrêté de prescription
2015-242, daté du 7/09/2015

Numéro de l'arrêté de désignation
du responsable
2016-086, daté du 16/02/2016

Référence du projet Inrap
D111973

Maître d'ouvrage des travaux d'aménagement

Lorient Agglomération

Nature de l'aménagement

Zone d'activité concerté à
vocation économique

Opérateur d'archéologie

Inrap Grand-Ouest

Responsable scientifique de l'opération

Stéphane Bourne, Inrap

Organisme de rattachement

Inrap Grand Ouest
37, rue du Bignon
35 577 Cesson-Sévigné cedex
grand-ouest@inrap.fr
Tél : 02 23 36 00 40
Fax : 02 23 36 00 50 coordination

Dates d'intervention sur le terrain

Diagnostic- Phase 1
du 7 mars au 1er avril 2016

Diagnostic- Phase 2
du 10 octobre au 28 octobre 2016

post-fouille
entre décembre 2016 et mars 2017

Surface fouillée

Emprise prescrite
24,35 ha

Emprise diagnostiquée
30958,87 m²

Ratio
12,71%

Mots-clefs des thesaurus

Chronologie

- Paléolithique**
 - Inférieur
 - Moyen
 - Supérieur
 - Mésolithique
- Néolithique**
 - Ancien
 - Moyen
 - Récent
- Chalcolithique**
- Protohistoire**
- Âge du Bronze**
 - Ancien
 - Moyen
 - Récent
- Âge du Fer**
 - Hallstatt (premier Âge du Fer)
 - La Tène (second Âge du Fer)
- Antiquité romaine (gallo-romain)**
 - République romaine
 - Empire romain
 - Haut-Empire (jusqu'en 284)
 - Bas-Empire (de 285 à 476)
- Epoque médiévale**
 - haut Moyen Âge
 - Moyen Âge
 - bas Moyen Âge
- Temps modernes**
- Epoque contemporaine**
 - Ere industrielle

Sujets et thèmes

- Edifice public
- Edifice religieux
- Edifice militaire
- Bâtiment
- Structure funéraire
- Voirie
- Hydraulique
- Habitat rural
- Villa
- Bâtiment agricole
- Structure agraire
- Urbanisme
- Maison
- Structure urbaine
- Four
- Fosse
- Fosse parcellaire
- Sépulture
- Grotte
- Abri
- Mégalithe
- Artisanat
- Argile : atelier
- Atelier
- Parcellaire ancien
- ...

Mobilier

- nb
- Industrie lithique
 - Industrie osseuse
 - Céramique
 - Restes
 - Végétaux
 - Faune
 - Flore
 - Objet métallique
 - Arme
 - Outil
 - Parure
 - Habillement
 - Trésor
 - Monnaie
 - Verre
 - Mosaïque
 - Peinture
 - Sculpture
 - Inscription
 - Macro-outillage

Etudes annexes

- Géologique
- Datation
- Paléontologie
- Zoologie
- Botanique
- Palynologie
- Macrorestes
- An. de céramique
- An. de métaux
- Aca. des données
- Numismatique
- Conservation
- Restauration
-
-

Intervenants

Intervenants scientifiques

Prénom Nom, organisme d'appartenance	Tâches génériques	Tâches affectées dans le cadre de l'opération
Stéphane Deschamps, SRA	Conservateur régional	Prescription et contrôle scientifique
Yves Menez, SRA	Adjoint au conservateur régional	Contrôle scientifique
Michel-Alain Baillieu, Inrap	Adjoint scientifique et technique	Mise en place et suivi de l'opération
Stéphane Bourne, Inrap	Responsable d'Opération	Responsable scientifique

Intervenants administratifs

Prénom Nom, organisme d'appartenance	Tâches génériques	Tâches affectées dans le cadre de l'opération
Stéphane Deschamps, SRA	Conservateur régional	Prescription et contrôle scientifique
Yves Menez, SRA	Adjoint au conservateur régional	Contrôle scientifique
Claude Le Potier, Inrap	Directeur interrégional GO	Mise en place et suivi de l'opération
Arnaud Dumas, Inrap	Administrateur	Mise en place et suivi de l'opération
Michel-Alain Baillieu, Inrap	Adjoint scientifique et technique	Mise en place et suivi de l'opération
Thomas Arnoux, Inrap	Assistant AST	Mise en place et suivi de l'opération
Christelle Picault, Inrap	Assistante opérationnelle	Mise en place et suivi de l'opération
Nathalie Ruaud, Inrap	Logisticienne	Mise en place et suivi de l'opération
Isabelle Giron-Audeoud, Inrap	Ingénieur sécurité	Mise en place et suivi de l'opération
Olivier Laurent, Inrap	Gestionnaire de centre	Mise en place et suivi de l'opération

Intervenants technique

Prénom Nom, organisme d'appartenance	Tâches génériques	Tâches affectées dans le cadre de l'opération
Entreprise Beaussire	Entreprise de terrassement	Ouverture des tranchées de sondages

Équipe de fouille

Prénom Nom, organisme d'appartenance	Fonction	Tâches affectées dans le cadre de l'opération
Stéphane Bourne, Inrap	Responsable d'opération	Réalisation de l'opération
Serge Mentele, Inrap	Assistant d'étude et d'opération	Fouille et enregistrement
Lydie Mano, Inrap	Technicienne de fouille	Fouille et enregistrement
Emeline Le Gof, Inrap	Topographe	Relevés et plans
Pierrick Leblanc, Inrap	Topographe	Relevés et plans

Équipe de post-fouille

Prénom Nom, organisme d'appartenance	Fonction	Tâches affectées dans le cadre de l'opération
Stéphane Bourne, Inrap	Responsable d'opération	Rédaction du rapport
Stéphane Blanchet, Inrap	Ingénieur chargé d'étude et de recherche	Etude de matériel lithique
Vérane Brisotto, Inrap	Assistante d'étude et d'opération	Etude du macro-outillage
Emmanuelle Collado, Inrap	Dessinatrice	SIG, DAO, PAO
Richard Delage, Inrap	Céramologue	Inventaire du mobilier antique
Hélène Delnef, Inrap	Céramologue	Inventaire du mobilier céramique de la Protohistoire récente
Françoise Labaune-Jean	Céramologue	Inventaire du mobilier céramique du haut-Moyen-âge
Emeline Legoff, Inrap	Topographe	SIG, DAO, réalisation du plan masse
Théophane Nicolas, Inrap	Céramologue	Inventaire du mobilier céramique de la Protohistoire ancienne

Notice scientifique

Le diagnostic archéologique mené au préalable de l'extension de la zone industrielle du Mourillon a concerné une surface de 26 hectares. Il a permis de mettre au jour plusieurs occupations humaines anciennes. Quelques indices ténus évoquent une fréquentation des lieux au cours de la Protohistoire ancienne (céramique, hache polie, silex taillés).

Au sud-ouest de l'emprise, une occupation datée du V^e siècle avant notre ère a été mise en évidence sur une surface d'environ 1 000 m². Elle se caractérise par plusieurs segments de fossé dont l'organisation, peu commune, ne nous renseigne guère sur leur fonction.

Plus au nord, notre opération a permis d'aborder deux enclos dont l'existence avait été révélée dès 1991 par prospection aérienne.

Le premier dessine un plan subtrapézoïdal et possède une entrée sur sa façade orientale. Il couvre une surface d'environ 4 500 m². Son occupation s'étale sur près de trois siècles, entre le III^e et la première moitié du I^{er} siècle avant notre ère. Plusieurs aménagements ont été observés dans la surface enclose, ainsi qu'en périphérie (fossés, trous de poteau, fosses, structures de combustion). Le mobilier recueilli en surface de décapage et dans les sondages effectués dans les diverses structures associées à cette occupation est assez abondant et varié, indiquant le caractère domestique de cette occupation : la céramique comporte de nombreux fragments d'amphore, le macro-outillage est bien représenté (meules rotatives et va-et-vient en granite) et quelques scories sont également attestées.

Le second enclos dessine un plan trapézoïdal et possède une entrée sur sa façade sud. Il couvre une surface d'environ 3 000 m². Le mobilier céramique découvert dans le comblement du fossé d'enclos et des aménagements internes indique une brève occupation pour cet ensemble, entre le milieu du I^{er} siècle avant notre ère et la fin du I^{er} siècle de notre ère. Dans la surface enclose, plusieurs aménagements fossoyés ont été repérés (partition interne ?), ainsi qu'un bâtiment sur quatre poteaux (probable grenier).

Associé à cet enclos, une trame parcellaire orthogonale couvrant une surface d'environ 10 hectares a été mise en évidence sur toute la partie sud de l'emprise du diagnostic. Les fossés la constituant sont pour la plupart orientés nord-ouest / sud-est et sud-ouest / nord-est. Les vingt lignes de fossé observées délimitent au moins treize parcelles. Plusieurs jonctions et interruptions de fossés matérialisant plusieurs passages, ainsi qu'un possible chemin ont été identifiés. Les sondages réalisés ont permis de récolter quelques tessons de céramique datés principalement de la fin du I^{er} siècle avant notre ère et du I^{er} siècle de notre ère.

Au nord-ouest de l'emprise, cinq tronçons de fossé pourraient appartenir à une occupation antique distincte de celle mise en évidence plus au sud. La configuration particulière de l'évaluation de cette parcelle couverte d'arbres et de broussailles ne nous a pas permis d'identifier l'étendue et la nature exacte de ces vestiges. La datation proposée pour cet ensemble reste incertaine car elle repose sur la découverte d'un seul tesson de céramique. Au vu de la morphologie de deux de ces fossés, profondément creusés et possédant un comblement stratifié et de la découverte d'une meule rotative dans le comblement supérieur de l'un d'eux, l'existence à cet endroit d'un autre enclos délimitant un habitat est probable.

Etat du site

Une occupation du V^e siècle avant notre ère, qui s'étend sur une surface d'environ 1 000 m², est localisée au sud de la parcelle cadastrale CK 130. Elle est constituée de plusieurs segments de fossés et de quelques fosses dont l'état de conservation est aléatoire (entre 0,15 et 0,68 m de profondeur conservée).

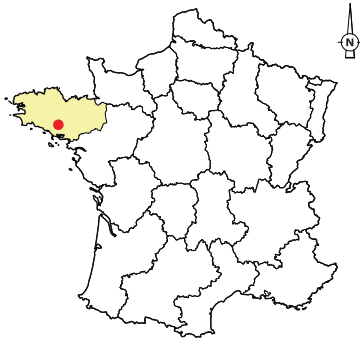
Au niveau des parcelles CK 50, 62, 49 et 130, un enclos, associés à plusieurs concentrations de trous de poteaux sont datés du III^e au I^{er} siècle avant notre ère (enclos n° 1). Ces aménagements, qui se développent également au sud et à l'est de l'enclos, couvrent une surface de près de 1,5 hectares. La profondeur des structures testées lors du diagnostic indique un bon état de conservation du site ; le fossé d'enclos est conservé sur une profondeur comprise entre 1,1 m à l'ouest et 1,72 m à l'est. Les trous de poteaux quant à eux oscillent entre 0,15 et 0,25 m de profondeur.

Au niveau des parcelles CK 130, 50 et 132, un second enclos est daté du tout début de l'Antiquité (enclos n° 2). Il couvre une surface de 5 000 m² et montre également un bon état de conservation. Le fossé d'enclos est conservé sur une profondeur comprise entre 0,82 m à l'est et 1,44 m au sud.

Une trame parcellaire orthogonale, datée également du début de l'Antiquité, s'étend sur toute la partie sud du diagnostic. Elle couvre une surface minimale de 10 hectares et montre un état de conservation différencié d'un secteur à l'autre.

A l'exception du parcellaire antique qui s'étend hors emprise vers le sud, les trois autres occupations sont intégralement situées dans l'emprise du diagnostic.

Localisation de l'opération



Bretagne
MORBIHAN
Quéven
ZAC de la Croix du Mourillon

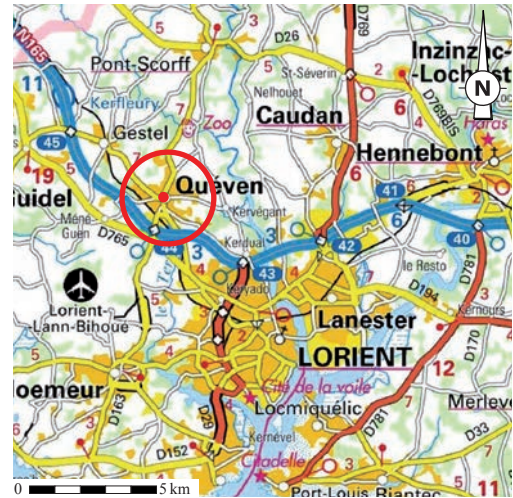
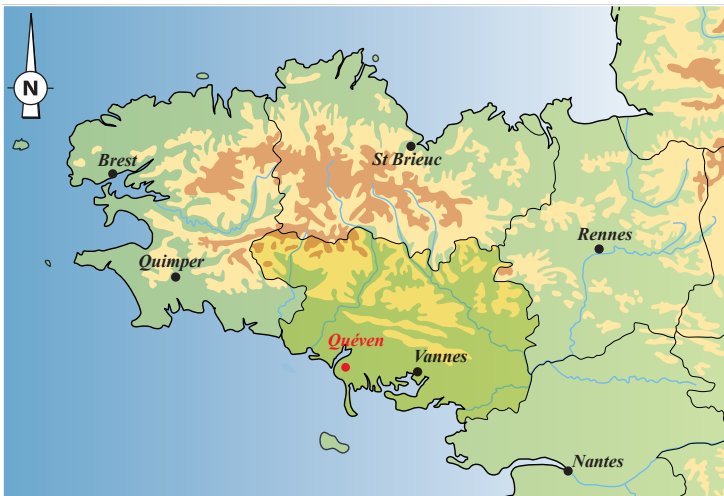
Section(s) et parcelle(s):

CB - n°7, 9, 18, 83

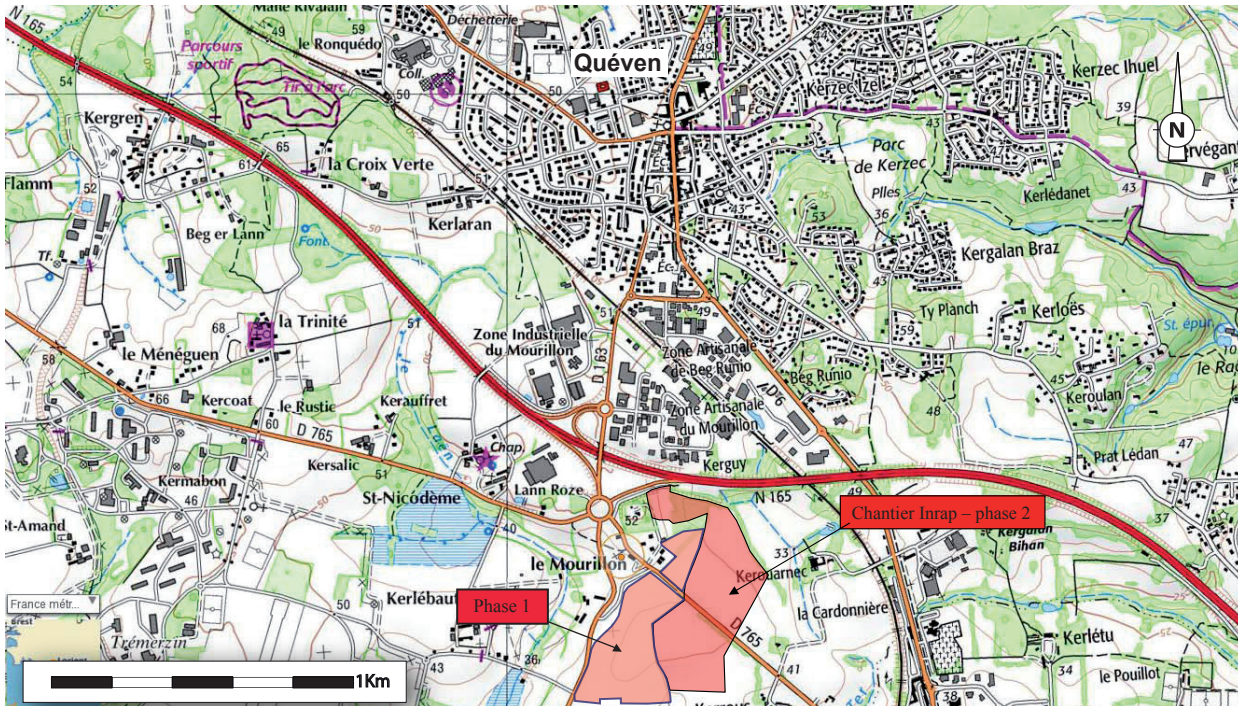
CK - n° 47, 48, 49, 50, 57p, 58, 62, 63, 64, 65, 66p, 67p, 130, 132, 134, 136

Coord. Lambert93 CC48

x: 1219327,10 à 1220034,52
y: 7194549,18 à 7195303,96
z: 37,2 à 46,55 m NGF



issue 1/250 000 © IGN 2015



issue 1/25 000 © IGN 2015

Arrêté de prescription



D11973

PREFECTURE DE LA REGION BRETAGNE

COURRIER REÇU LE

3973
21 SEP. 2015

ARRETE n° 2015-242 portant prescription de diagnostic archéologique

INRAP GO

le Préfet de la région de Bretagne,
Préfet d'Ille-et-Vilaine,

VU le code du patrimoine, notamment son livre V ;

VU l'arrêté préfectoral n° 2014 S.G.A.R./DRAC/DSG en date du 13 novembre 2014 portant délégation de signature à M. Jean-Loup LECOQ, directeur régional des affaires culturelles de Bretagne,

VU l'arrêté préfectoral n° 2014 S.G.A.R./DRAC/DSG du 13 novembre 2014 portant subdélégation de signature,

VU, la demande volontaire de réalisation de diagnostic adressée par la Lorient agglomération, pour un terrain situé à la Croix du Mourillon à QUEVEN (56), reçue le 28 août 2015 par la direction régionale des affaires culturelles de Bretagne, service régional de l'archéologie ;

CONSIDERANT que, en raison de leur localisation, les travaux envisagés sont susceptibles d'affecter des éléments du patrimoine archéologique; en particulier des enclos fossoyés (ferme gauloise)

CONSIDERANT qu'il est nécessaire de mettre en évidence et de caractériser la nature, l'étendue et le degré de conservation des vestiges archéologiques éventuellement présents afin de déterminer le type de mesures dont ils doivent faire l'objet ;

ARRETE

Article 1^{er} : un diagnostic archéologique sera réalisé sur le terrain faisant l'objet des aménagements, ouvrage ou travaux susvisés, sis en :

Région : Bretagne
 Département : Morbihan
 Commune : QUEVEN
 Lieu-dit : La Croix du Mourillon
 Cadastre : voir liste en annexe

Le diagnostic archéologique comprend, outre une phase d'exploration du terrain, une phase d'étude qui s'achève par la remise du rapport sur les résultats obtenus.

Article 2 : Le diagnostic sera réalisé sous la maîtrise d'ouvrage de l'opérateur d'archéologie préventive retenu. Les conditions de sa réalisation seront fixées contractuellement en application des articles R. 523-30 à R. 523-38 du Code du patrimoine susvisé.

Il sera exécuté conformément au projet d'opération élaboré par cet opérateur sur la base des prescriptions annexées au présent arrêté.


Article 3 : Le mobilier archéologique recueilli au cours de l'opération de diagnostic est conservé par l'opérateur d'archéologie préventive retenu le temps nécessaire à son étude qui, en tout état de cause, ne peut excéder cinq ans à compter de la date de fin de la phase terrain du diagnostic.

L'inventaire de ce mobilier, transmis avec le rapport de diagnostic, sera communiqué par le service régional de l'archéologie, au propriétaire du terrain afin que, le cas échéant, celui-ci puisse faire valoir ses droits. L'exercice de ces droits appartient à la personne physique ou morale propriétaire à la date de début de l'intervention archéologique du terrain visé à l'article 1^{er}.

Article 4 : Le directeur régional des affaires culturelles est chargé de l'exécution du présent arrêté, qui sera notifié à Lorient agglomération et au directeur interrégional de l'Institut national de recherches archéologiques préventives.

Fait à Rennes, le 7 septembre 2015

pour le Préfet de région,
pour le directeur régional des affaires culturelles
par délégation,



Stéphane Deschamps
Conservateur régional de l'archéologie

destinataires : Lorient agglomération
INRAP

copie à : mairie de QUEVEN
Préfecture du Morbihan



PREFECTURE DE LA REGION DE BRETAGNE

**le Préfet de la région de Bretagne,
Préfet d'Ille-et-Vilaine,**

**Prescriptions de diagnostic archéologique
annexées à l'arrêté préfectoral numéro 2015-242**

région :	Bretagne
département :	Morbihan
commune :	QUEVEN
lieu-dit :	La Croix du Mourillon
cadastre :	liste en annexe
pétitionnaire:	Lorient agglomération

Emprise du diagnostic archéologique : 270 000 m² environ

Objectifs :

La demande volontaire de réalisation de diagnostic concerne des terrains situés au sud de la zone industrielle de Mourillon, se développant sur un plateau dominant à l'ouest le ruisseau Le Laën à l'ouest et le Ter à l'est. Deux enclos quadrangulaires fossoyés pourvus d'entrée, ont été détectés par prospection aérienne (site 56-185-0005 prospection aérienne Roger Bertrand 1991) et sont situés dans l'emprise du projet (partie sud secteur 2).

A l'ouest du projet, de l'autre côté de la RD 163, un vaste enclos à partition interne daté du haut Moyen-Age (site 56-185-0012) a fait l'objet d'un diagnostic en 2012 par le SDAM.

D'une manière générale, il conviendra de mettre en évidence, de dater et de caractériser l'ensemble des vestiges conservés dans l'emprise du projet d'aménagement. Le rapport de diagnostic devra donc s'attacher à apporter tous les éléments (descriptions précises, diagrammes, plans, planches de mobilier, photographies...) permettant d'apprécier la nature et l'intérêt des vestiges mis au jour afin que leur préservation ou leur sauvegarde par l'étude puisse être envisagée préalablement à la réalisation des travaux.

Principes méthodologiques :

Les principes méthodologiques seront ceux qui sont habituellement utilisés pour les opérations de diagnostic sur des petites surfaces en milieu urbain (sondages à la pelle mécanique avec godet lisse jusqu'à l'apparition du substrat). En tant que de besoin, des fenêtres élargies devront être réalisées afin de contribuer à caractériser et dater les structures ou ensembles de structures mis au jour. Des sondages manuels pourront être effectués pour préciser la complexité stratigraphique des structures, sur la base d'un échantillonnage raisonné.

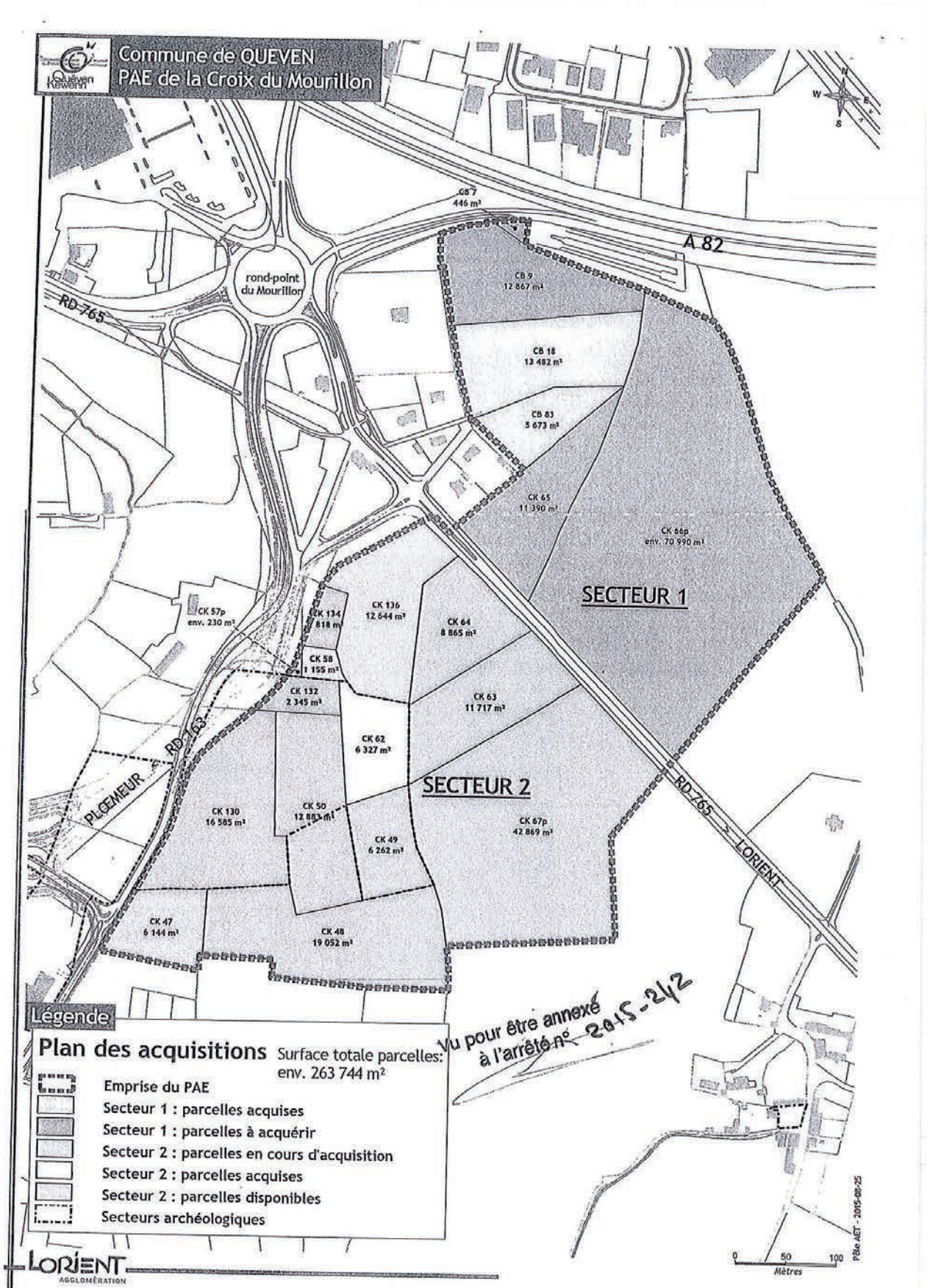
Le rapport de diagnostic comportera une version en format pdf ainsi qu'un plan d'emprise de l'opération de diagnostic figurant les zones ouvertes (sondages, fenêtres, zones éventuellement décapées) et les structures mises au jour, en format shape.

Fait à Rennes, le 7 septembre 2015

pour le Préfet de région,
pour le directeur régional des affaires culturelles
par délégation,



Stéphane Deschamps
Conservateur régional de l'archéologie



**Liste des parcelles concernées par l'opération août
 2015**

NUMERO	SURFACE (m ²)	STATUT	SECTEUR
CK 66p	env. 70 990	Parcelle disponible	Secteur 1
CB 9	12 867,00	Parcelle disponible	Secteur 1
CB 18	13 482,00	Parcelle acquise	Secteur 1
CB 83	5 673,00	Parcelle acquise	Secteur 1
CK 65	11 390,00	Parcelle disponible	Secteur 1
CB 7	446,00	Parcelle disponible	Secteur 1
CK 130	16 585,00	Parcelle disponible	Secteur 2
CK 132	2 345,00	Parcelle disponible	Secteur 2
CK 134	1 818,00	Parcelle disponible	Secteur 2
CK 136	12 644,00	Acquisition en cours	Secteur 2
CK 47	6 144,00	Acquisition en cours	Secteur 2
CK 48	19 052,00	Parcelle disponible	Secteur 2
CK 49	6 262,00	Parcelle disponible	Secteur 2
CK 50	12 883,00	Parcelle disponible	Secteur 2
CK 57p	env. 230	Parcelle disponible	Secteur 2
CK 58	1 155,00	Parcelle acquise	Secteur 2
CK 62	6 327,00	Parcelle acquise	Secteur 2
CK 63	11 717,00	Parcelle disponible	Secteur 2
CK 64	8 865,00	Parcelle disponible	Secteur 2
CK 67p	42 869,00	Parcelle disponible	Secteur 2

Vu pour être annexé
 à l'arrêté n° 2015-242



PREFECTURE DE LA REGION BRETAGNE

Rennes, le 7 septembre 2015

Le directeur régional des affaires culturelles

à

Monsieur le Directeur interrégional
INRAP Grand-Ouest
37 rue du Bignon
CS 67737
35577 CESSON SEVIGNE cedex

COURRIER REÇU L.
3973
21 SEP. 2015
INRAP GO

Direction régionale
des affaires culturelles
de Bretagne

Service régional
de l'archéologie

Affaire suivie par
Anne-Marie FOURTEAU
Poste : 02 99 84.59.00
anne-marie.fourteau@culture.fr

Objet : prescription de diagnostic archéologique
à Queven (56)
Ref : arrêté n° 2015-242
PJ : copie arrêté

J'ai l'honneur de vous notifier l'arrêté ci-joint, portant prescription de diagnostic archéologique. Ce texte est établi conformément à la loi 2001-44 du 17 janvier 2001 modifiée, relative à l'archéologie préventive et au décret 2004-490 du 3 juin 2004 relatif aux procédures administratives et financières en matière d'archéologie préventive.

Je vous informe que j'ai également notifié cet arrêté au Conseil Général du Morbihan afin que cette collectivité puisse m'indiquer si elle souhaite faire réaliser ce diagnostic par son service archéologique agréé. Je ne manquerais pas de vous tenir informé de cette décision dès réception.

En tout état de cause, dans un délai d'un mois, le diagnostic sera effectué par vos services.

Les coordonnées du maître d'ouvrage de l'opération sont :

Lorient Agglomération (Aurélie DAVID)
CS 20001
56314 Lorient cedex

pour le Préfet de région,
pour le directeur régional des affaires culturelles
par délégation,

Stéphane Deschamps
Conservateur régional de l'archéologie

Arrêté de prescription modifié



COLLETTIER RECU LE
662
08 FEV. 2016
INRAP GO

PREFECTURE DE LA REGION BRETAGNE

Direction régionale
des affaires culturelles
de Bretagne

Service régional
de l'archéologie

Affaire suivie par
Anne-Marie FOURTEAU
Poste : 02 99 84.59.00
anne-marie.fourteau@culture.fr

Rennes, le 3 février 2016

Le directeur régional des affaires culturelles

à

Monsieur le Directeur interrégional
INRAP Grand-Ouest
37 rue du Bignon
CS 67737
35577 CESSON SEVIGNE cedex

Objet : prescription de diagnostic archéologique
à Queven (56)
Ref : arrêté n° 2016-074
PJ : copie arrêté

J'ai l'honneur de vous notifier l'arrêté ci-joint, portant prescription de diagnostic archéologique. Ce texte est établi conformément à la loi 2001-44 du 17 janvier 2001 modifiée, relative à l'archéologie préventive et au décret 2004-490 du 3 juin 2004 relatif aux procédures administratives et financières en matière d'archéologie préventive.

Je vous informe que j'ai également notifié cet arrêté au Conseil Général du Morbihan afin que cette collectivité puisse m'indiquer si elle souhaite faire réaliser ce diagnostic par son service archéologique agréé. Je ne manquerais pas de vous tenir informé de cette décision dès réception.

En tout état de cause, dans un délai d'un mois, le diagnostic sera effectué par vos services.

Les coordonnées du maître d'ouvrage de l'opération sont :

Lorient Agglomération
pôle aménagement environnement et transports
à l'attention de Tristan Le Nedellec
CS 20001
56314 Lorient cedex.

pour le Préfet de région,
pour le directeur régional des affaires culturelles
par délégation,

Yves Menez
Conservateur régional de l'archéologie par intérim



COURRIER REÇU LE
662
08 FEV. 2016
INRAP GO

PREFECTURE DE LA REGION BRETAGNE

**ARRETE n° 2016-074 modifiant l'arrêté n° 2015-242
portant prescription de diagnostic archéologique**

**le Préfet de la région de Bretagne,
Préfet d'Ille-et-Vilaine,**

VU le code du patrimoine, notamment son livre V ;

VU l'arrêté préfectoral n° 2014 S.G.A.R./DRAC/DSG en date du 13 novembre 2014 portant délégation de signature à M. Jean-Loup LECOQ, directeur régional des affaires culturelles de Bretagne,

VU l'arrêté préfectoral n° 2014 S.G.A.R./DRAC/DSG du 13 novembre 2014 portant subdélégation de signature,

VU, la demande volontaire de réalisation de diagnostic adressée par Lorient agglomération, pour un terrain situé à la Croix du Mourillon, commune de QUEVEN reçue le 28 août 2015 par la direction régionale des affaires culturelles de Bretagne, service régional de l'archéologie ;

VU, l'arrêté préfectoral de diagnostic n° 2015-242 du 7 septembre 2015 prescrit à réception de la demande volontaire de réalisation de diagnostic ;

VU, le courriel de Lorient agglomération adressé le 26 janvier 2016 à la DRAC-SRA, demandant une modification de la superficie du projet ;

CONSIDERANT la demande de modification de l'emprise totale de la ZAC de la Croix du Mourillon à Queven de 270 000 m² à 243 311 m² en raison de la présence d'espaces boisés classés ;

ARRETE

Article 1^{er} : L'arrêté de diagnostic n° 2015-219 du 27 juillet 2015 est modifié comme suit :

« un diagnostic archéologique sera réalisé sur le terrain faisant l'objet des aménagements, ouvrage ou travaux susvisés, sis en :

Région : Bretagne
Département : Morbihan
Commune : QUEVEN
Lieu-dit : La Croix du Mourillon
Cadastre : voir nouvelle liste en annexe

Article 2 : l'emprise du projet du présent arrêté modificatif est de 243 311 m²

Article 2 : Le directeur régional des affaires culturelles est chargé de l'exécution du présent arrêté, qui sera notifié à Lorient Agglomération, CS 20001, 56314 Lorient cedex, au SDAM et au directeur interrégional de l'Institut national de recherches archéologiques préventives,

Fait à Rennes, le 3 février 2016

pour le Préfet de région,
pour le directeur régional des affaires culturelles
par délégation,



Yves Menez
Conservateur régional de l'archéologie par intérim

destinataires : Lorient Agglomération
SDAM
INRAP

copie à : mairie de Queven
Préfecture du Morbihan

Secteur	Phase	Section	Parcelle	Surface en m ²
1	2	CB	9	6981
1	2	CB	18	4853
1	1	CB	83	4608
2	1	CK	47	6144
2	1	CK	48	19049
2	1	CK	49	6262
2	1	CK	50	12883
2	1	CK	57	230
2	1	CK	58	1155
2	1	CK	62	6327
2	2	CK	63	11717
2	1	CK	64	8359
1	1	CK	65	11390
1	2	CK	66p	67887
2	2	CK	67p	42273
2	1	CK	130	16585
2	1	CK	132	2345
2	1	CK	134	1818
2	1	CK	136	12644
TOTAL				243511

Vu pour être annexé
à l'arrêté n° 2016-074

Projet scientifique

L'Adjoint Scientifique et Technique

Ref : MB/TA/2015/2428

Affaire suivie par :
Michel-Alain Baillieu
Adjoint Scientifique et Technique

Tél. : 02 23 36 00 40
Fax : 02 23 36 00 50
Mail : michel-alain.baillieu@inrap.fr

LRAR n°

Objet : projet de diagnostic de l'opération dénommée
«QUEVEN (56), LA CROIX DU MOURILLON »

Monsieur le préfet de la région Bretagne
Direction régionale des affaires culturelles
Service régional de l'archéologie
A l'attention du Conservateur régional de
l'Archéologie
Avenue du Professeur Charles Foulon
35700 Rennes

Cesson-Sevigné, le 01/12/15

Opération : D111973 – 2015-242

Conformément à l'article R. 523-30 du code du patrimoine, je vous transmets en recommandé avec demande d'accusé de réception le projet de diagnostic rédigé par l'Institut national de recherches archéologiques préventives, indiquant les modalités de la mise en œuvre de votre prescription notifiée le 21 septembre 2015 portant sur le diagnostic dénommé « QUEVEN (56), LA CROIX DU MOURILLON » sur la commune de Quéven dont la réalisation a été attribuée à l'Inrap selon notification du 18 novembre 2015.

Mes services (Monsieur Michel-Alain Baillieu tél 02 23 36 00 40) sont à votre disposition pour tous renseignements complémentaires dont vous pourriez avoir besoin pour étudier ce dossier.

Michel BAILLIEU

pa


P.J. : projet de diagnostic

Diagnostic archéologique D111973
QUEVEN (56), LA CROIX DU MOURILLON

Projet scientifique d'intervention

1.- Identification administrative de l'opération

Région	Bretagne	Département	Morbihan
Commune	Quéven		
Lieu-dit	LA CROIX DU MOURILLON		
Cadastre	Quéven : CK 66p, 65, 130, 132, 134, 136, 47, 48, 49, 50, 57p, 58, 62, 63, 64, 67p Quéven : CB 9, 18, 83, 7,		

Prescription	N° Arrêté	Réception	Surface	Attribution	Envoi projet
Initiale	2015-242	21-09-2015	270000 m²	18/11/2015	01/12/15
Modification					

Contexte actuel	Rural	Contexte particulier	
Nature archéologique	Non stratifié		

2.- Problématique scientifique

Conformément à l'arrêté de prescription n°**2015-242**, l'objet du diagnostic consiste à reconnaître l'existence et l'état de conservation des vestiges archéologiques. Cette étude doit permettre de rassembler tous les éléments techniques et scientifiques permettant l'élaboration d'un éventuel projet de fouille préventive.

- **Responsable d'opération pressenti :**

A définir ultérieurement

3.- Contraintes techniques

Les contraintes techniques seront déterminées ultérieurement après contact avec l'aménageur.

4.- Méthodes et techniques envisagées

Le diagnostic consistera dans la réalisation de tranchées de sondage d'environ 20m de long disposées en quinconce et régulièrement réparties sur l'ensemble du projet. La surface sondée devra couvrir au moins 7% de l'emprise affectée par les travaux. Des fenêtres de décapage plus larges pourront être implantées afin d'évaluer plus finement l'état de conservation des vestiges. Un nettoyage manuel et le cas échéant, une fouille par échantillonnage seront réalisés sur les vestiges les plus significatifs du site afin de caractériser la nature et la chronologie des différentes entités archéologiques.

5.- Volume des moyens prévus

- **Tranche Ferme**

Moyens humains	Terrain	Etude	Moyens mécaniques	Ouverture	Rebouchage
Responsable Opération	27 jours	5 jours	Une pelle à chenilles	26 jours	11 jours
Technicien	27 jours		Transfert	2	

- **Tranche Provisionnelle**


Moyens humains	Terrain	Etude	Moyens mécaniques	Ouverture	Rebouchage
Responsable Opération	10 jours	10 jours	Une pelle à chenilles	8 jours	4 jours
Technicien	20 jours	5 jours	Transfert	1	
Dessinateur		12 jours			
Spécialiste (Céramologue)		10 jours			
Spécialiste (études diverses)		5 jours			
Topographe	3 jours	1 jour			

6.- Durée de réalisation et calendrier prévisionnel

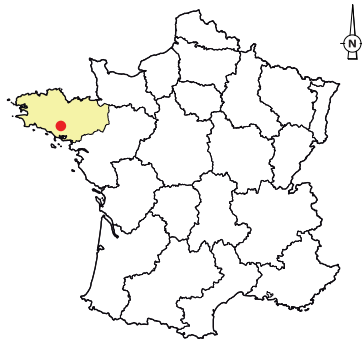
Terrain	Etude	Calendrier prévu pour la phase terrain
36 jours	15 jours	Mars 2016

7.- Observations complémentaires

Adjoint Scientifique et Technique

Nom de l'AST	
Michel-Alain Baillieu	

II. Résultats



Bretagne
MORBIHAN
Quéven
 ZAC de la Croix du Mourillon

Section(s) et parcelle(s):

CB - n°7, 9, 18, 83

CK - n° 47, 48, 49, 50, 57p, 58, 62, 63, 64, 65, 66p, 67p, 130, 132, 134, 136

Coord. Lambert93 CC48

x : 1219327,10 à 1220034,52

y : 7194549,18 à 7195303,96

z : 37,2 à 46,55 m NGF

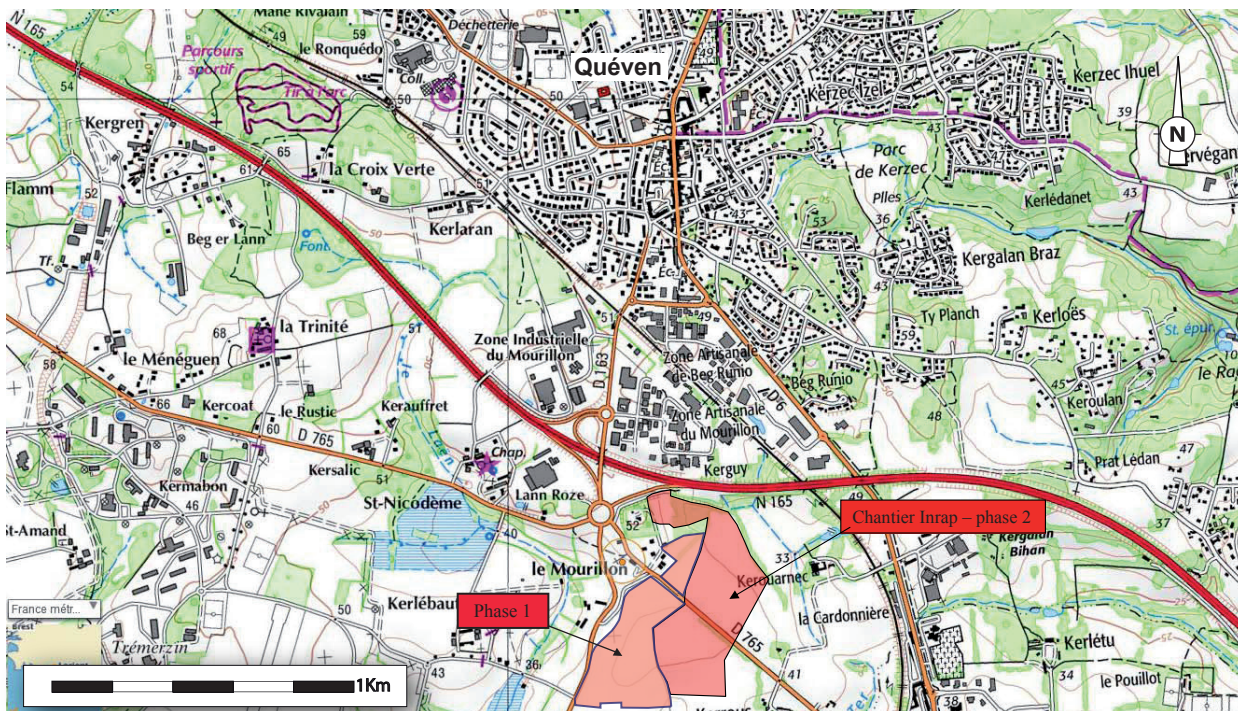
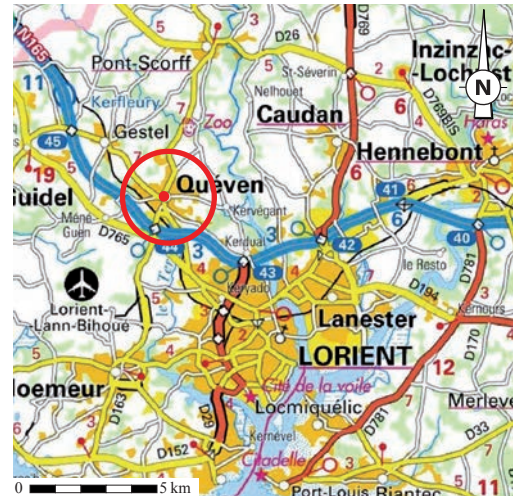
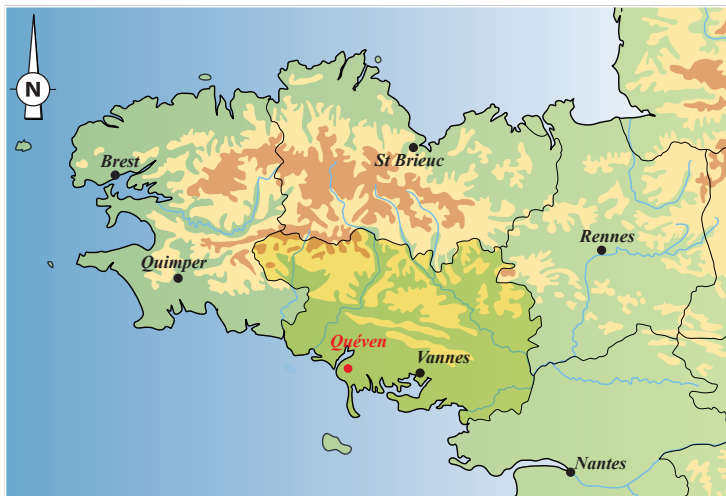


Fig. 1 Localisation de l'opération (DAO : E. Collado, Inrap)

I Introduction

1.1. Circonstances de l'intervention

Le projet d'extension de la zone industrielle du Mourillon a motivé la prescription d'une opération de diagnostic archéologique. Les parcelles cadastrales concernées par ce projet d'aménagement se situent à un kilomètre au sud du centre bourg de Quéven et au sud de la route nationale RN 165 qui relie Nantes à Quimper. L'ensemble couvre une surface de 26,37 hectares (Fig. 1). Le diagnostic s'est déroulé en deux phases, en mars et en octobre 2016, et la rédaction du présent rapport a été menée entre décembre 2016 et mars 2017.

Deux enclos quadrangulaires fossoyés pourvus d'entrée et jusqu'alors non datés ont été détectés par prospection aérienne dans la partie sud de l'emprise du diagnostic (site 56-185-0005, prospection aérienne Roger Bertrand 1991). Les objectifs fixés par la prescription du Service Régional de l'Archéologie étaient de mettre en évidence, de dater et de caractériser l'ensemble des vestiges conservés dans l'emprise du projet d'aménagement. Ce rapport s'attache donc à apporter tous les éléments permettant d'apprécier la nature et l'intérêt des vestiges mis au jour afin que leur préservation ou leur sauvegarde par l'étude puisse être envisagée préalablement à la réalisation des travaux.

1.2. Contexte de l'opération

1.2.1 Cadre naturel

La commune de Quéven se positionne au nord-ouest de l'agglomération lorientaise, à l'ouest de la vallée du Scorff. Le diagnostic de la Croix du Mourillon se situe à environ 1 km au sud du centre bourg de Quéven. Les terrains explorés s'élèvent à une altitude comprise entre 39 et 46 m NGF. Ils se développent sur un plateau qui domine les ruisseaux Le Laën à l'ouest et le Ter à l'est, autour d'une petite éminence qui culmine à 46 m NGF et qui se situe à l'ouest de la parcelle cadastrale CK 63. La confluence de ces deux ruisseaux s'effectue à environ 700 m au sud de l'emprise et marque les limites entre les communes de Quéven, de Ploemeur et de Lorient. Les versants de cette modeste hauteur présentent des pentes faibles. Vers le nord-est, la déclivité est régulière, elle atteint 1,8 %. Vers le sud, la pente atteint 3,25 % et vers l'ouest, 2,9 % (Fig. 2). Le paysage est ouvert, le remembrement ayant fait disparaître la plupart des haies encore visibles sur les photos aériennes jusque dans les années 1960. La majorité des parcelles explorées sont actuellement en culture. Selon les dires des exploitants qui cultivent ces terrains, la qualité organique de leurs sols en font un secteur à haut rendement agricole, parmi les meilleurs des environs de Lorient. Située en limite nord-occidentale de l'emprise du diagnostic, seule la parcelle CB 9 est couverte par une végétation plus ou moins dense qui s'est développée de manière autonome depuis son abandon progressif il y a une quarantaine d'années.

D'après la carte géologique (feuille de Lorient au 1/50 000^e), l'emprise du diagnostic se trouve sur des granites tardimigmatitiques (faciès de

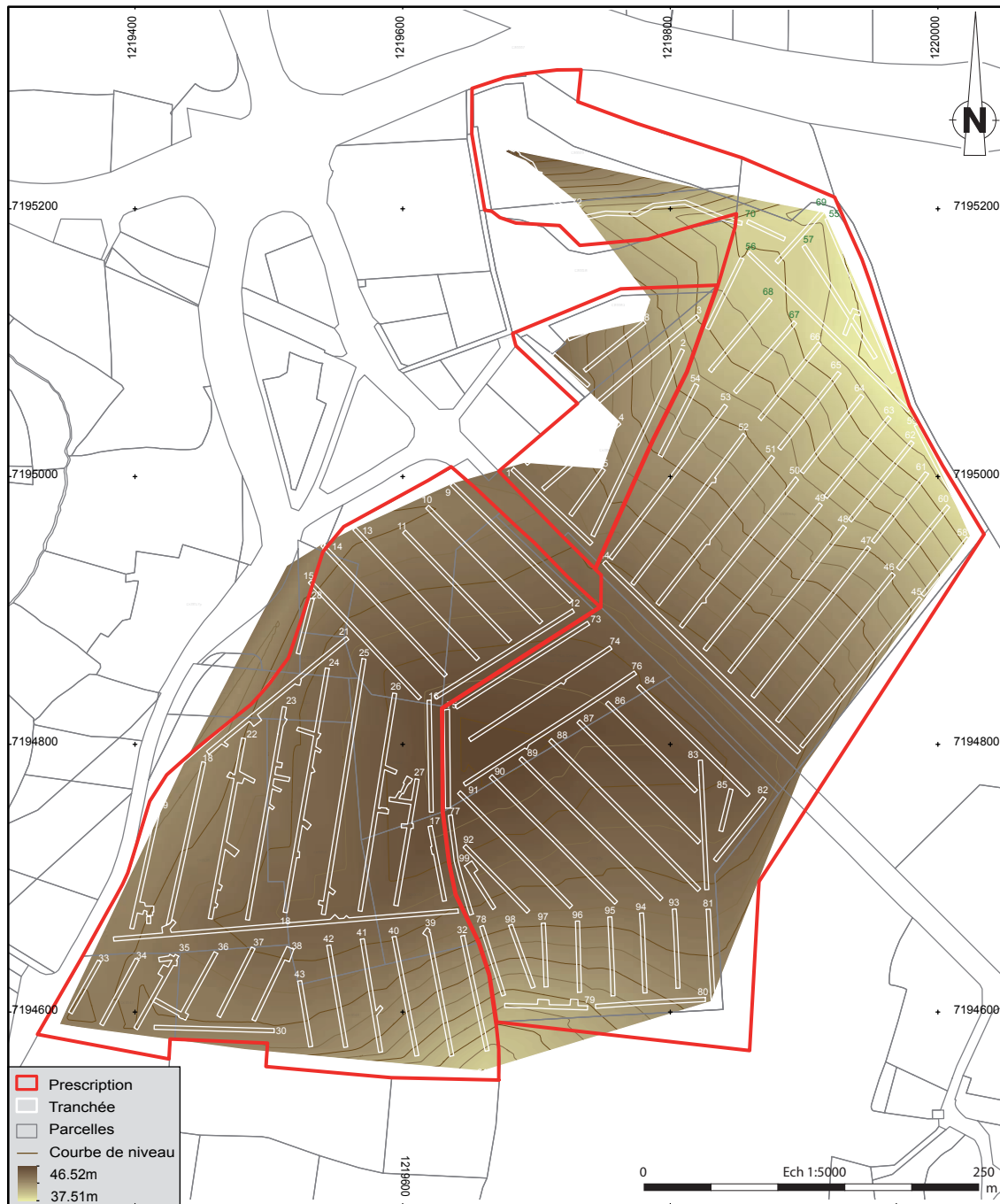


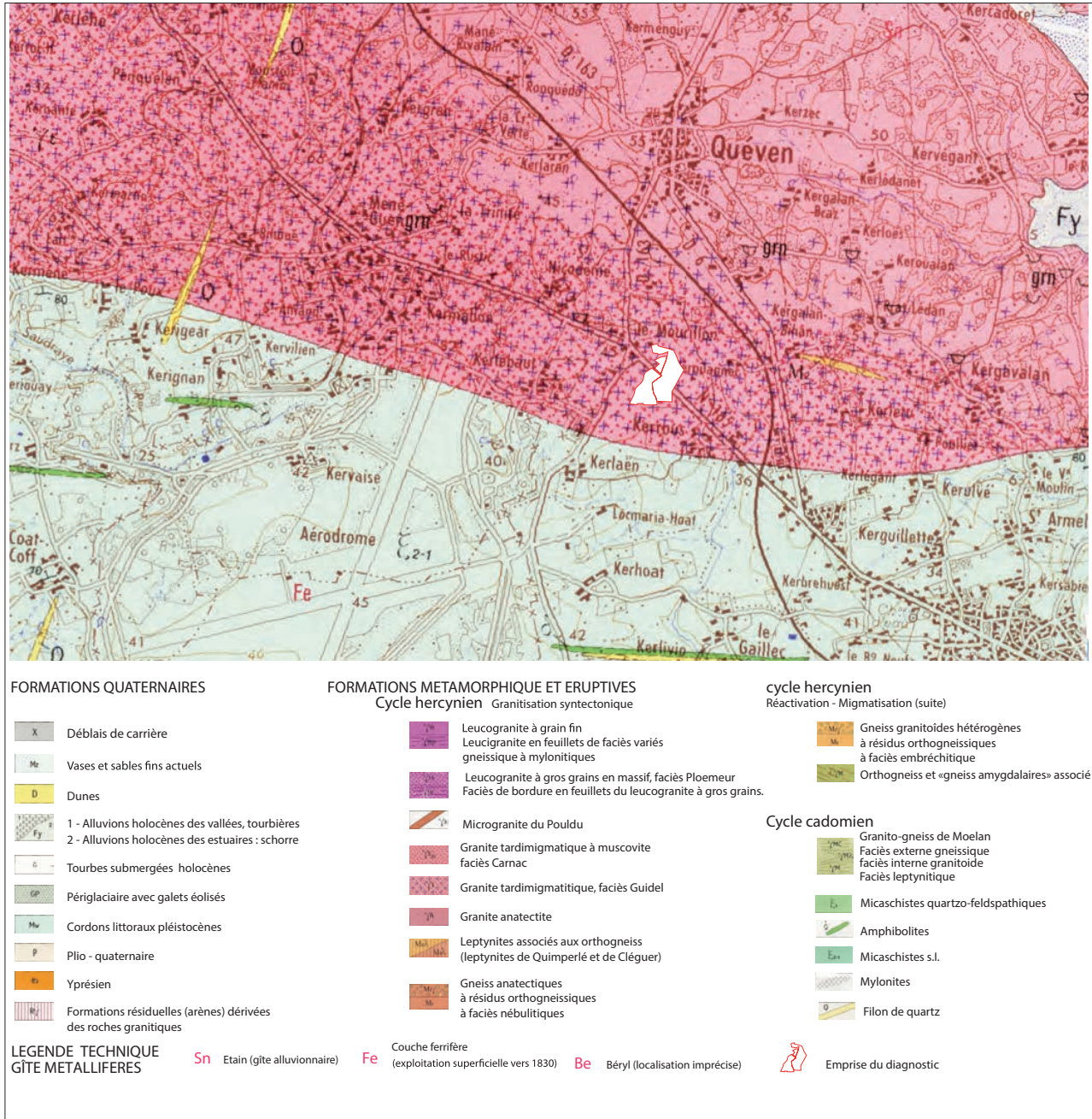
Fig. 2 Carte du relief (DAO : E. Le Goff, Inrap)

Guidel). Les observations que nous avons effectuées lors de la réalisation de sondages mécaniques indiquent toutefois, pour la partie sud de l'emprise, la présence d'un substrat constitué de micaschiste altéré, formation que la carte géologique fait pourtant commencer à quelques centaines de mètres au sud de la limite méridionale de l'emprise du diagnostic (Fig. 3).

Les structures archéologiques apparaissent pour la plupart d'entre elles sous la terre végétale, à une profondeur comprise entre 0,2 et 0,35 m. Ponctuellement, en bas de pente, et dans au moins 2 secteurs distincts, des niveaux intermédiaires ont pu être identifiés. C'est le cas dans la parcelle CK 130, au niveau de l'enclos n°2, où a été observé un horizon d'une dizaine de centimètres d'épaisseur, intercalé entre la terre végétale et le substrat de micaschiste altéré. Il est constitué de limon argileux brun moyen incluant quelques éléments lithiques (fragments de plaquettes de micaschiste et petits galets de quartz). Les aménagements antiques sont creusés dans cet horizon, mais la lecture en plan est très délicate dans ce niveau. Au niveau

des tranchées 79 et 80, situées en bordure sud de l'emprise, un autre niveau intermédiaire épais de 0,2 m en moyenne a été observé. Il est constitué de limon argilo-sableux brun clair hétérogène et compact incluant quelques charbons de bois et a livré plusieurs tessons de céramique datés de la Protohistoire ancienne.

Fig. 3 Carte géologique de la région de Lorient, au 50000^e (© Geoportail)



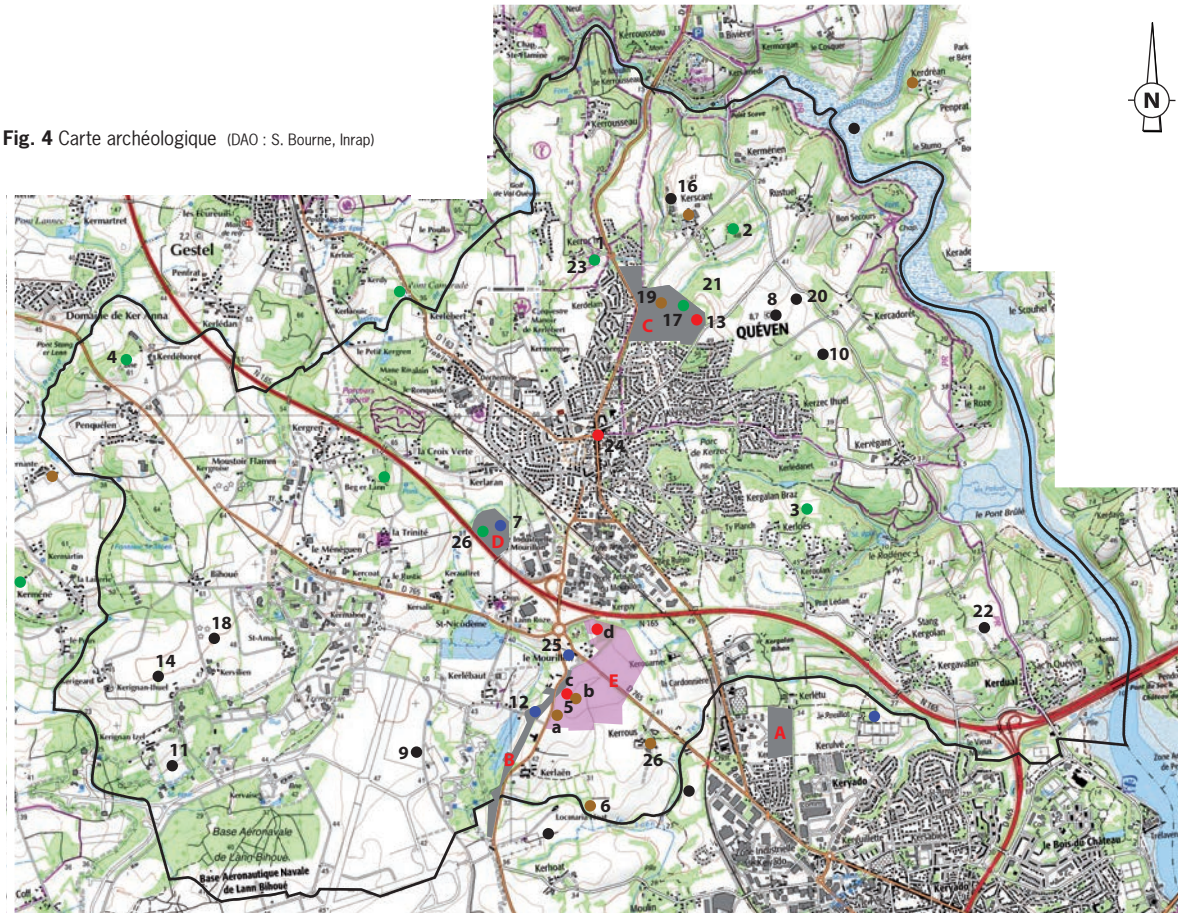
1.2.2 Contexte archéologique

La zone diagnostiquée s'inscrit dans un contexte riche en vestiges archéologiques. Plusieurs occupations anciennes sont connues par prospection pédestre et aérienne ou par les données fournies par l'archéologie préventive. Elles sont répertoriées à la cellule « carte archéologique » du Service Régional de l'Archéologie. Plusieurs diagnostics et une fouille ont par ailleurs été menés sur le territoire de Quéven depuis une dizaine d'année.

Le contexte archéologique de la commune a récemment fait l'objet de plusieurs synthèses dans le cadre de rapports d'opérations préventives (Villard 2009, Leroy *et al.*, 2012, Crowch 2012 et 2014). Nous avons donc opté ici pour une présentation succincte de l'état actuel des connaissances sous forme d'une carte

(Fig. 4) et d'un tableau récapitulatif des différents sites répertoriés (Fig. 5). Un grand nombre d'enclos, la plupart non datés à ce jour, sont connus par prospection aérienne dans l'environnement immédiat du diagnostic de la Croix du Mourillon (Bertrand 1991 et 1993, Bertrand et Ginet 1994). Parmi ceux-ci, notons l'exploration, lors du diagnostic réalisé sur la liaison entre le Mourillon et Penescluz, de l'enclos de Kerlébaut (Fig. 4 et 5, n° 12), dont l'occupation a pu être datée par C14 au haut Moyen-âge, entre le début du VII^e et la fin du X^e siècle (Crowch 2012). Les deux enclos situés dans l'emprise de notre opération (Fig. 4 et 5, n° 5) ont pu être daté à l'issue du diagnostic de la fin de l'âge du Fer pour l'un, et du tout début de l'Antiquité pour l'autre.

Fig. 4 Carte archéologique (DAO : S. Bourne, Inrap)



Opérations archéologiques

A : Lorient - diagnostic de la Zac de la Cardonnière (Sicard 2005)
parcellaire d'époque indéterminé

B : Quéven / Ploemeur - diagnostic de la RN 163 - liaison le Mourillon / Penescluz (Crowch 2012)
enclos du haut-Moyen-âge

C : Quéven - diagnostic et fouille de la ZAC de Croizamus (Villard 2009, Leroy 2012)
occupations du Néolithique au Moyen-âge

D : Quéven - diagnostic de l'extension de la zone du Mourillon ouest «Park an Derved» (Crowch 2014)
bâtiment du Campaniforme et enclos du Moyen-âge

E : Quéven - diagnostic de la Zac de la Croix du Mourillon (Bourne 2017)
occupations de l'âge du Fer et de l'Antiquité

● Néolithique et âge du Bronze

● âge du Fer

● Antiquité

● Moyen-âge

● indéterminé

0 Ech 1:50 000 2 Km

°	N° entité	Lieu-dit	Période	description	Bibliographie
1	56 185 0001	Kerroc'h	Néolithique	Dolmens à couloir	
2	56 185 0002	Kerscamp	Néolithique	Dolmen à couloir	
3	56 185 0003	Kerlouis	Néolithique	Dolmen (détruit)	
4	56 185 0004	Kerdehoret	Néolithique	Menhir	
5	56 185 0005 (Ce numéro d'entité correspond aux deux enclos abordés lors du diagnostic de la Croix du Mourillon)	Mourillon	Age du Fer et Antiquité	A : Occupation du V ^e siècle avant notre ère B : Enclos de La Tène finale C : Enclos et parcellaire du début de l'Antiquité D : occupation antique	Bourne 2017
6	56 185 0006	Kerlaen	Age du Fer et Antiquité	Enclos	
7	56 185 0007	Kerlaran – Saint-Nicodème	Transition Néolithique / Age du Bronze et Moyen-Age	Bâtiment en forme d'amande, Enclos	Crowth 2014
8	56 185 0008	Kercadoret	Indéterminé	Enclos	
9	56 185 0009	Kerlébaut	Indéterminé	Enclos	
10	56 185 0010	Kercadoret	Indéterminé	Enclos	
11	56 185 0011	Kerignan-Izel	Indéterminé	Enclos	
12	56 185 0012	Kerlébaut	Haut-Moyen-Age	Enclos	Crowth 2012
13	56 185 0013	Kerzec-Izel, le Grand-Poteau	Antiquité	bâtiment	Leroy et al. 2012 Villard 2009
14	56 185 0014 et 56 185 0015	Kerignan-Ihuel	Néolithique	Gisement de surface	
16	56 185 0016	Les Grandes Pièces	Indéterminé	Enclos	
17	56 185 0017	Kerzec-Izel, le Grand-Poteau	Néolithique	Carrière	
18	56 185 0018	Kervilien	Indéterminé	Enclos	
19	56 185 0019	Kerzec-Izel, le Grand-Poteau	Age du Fer	Enclos	Leroy et al. 2012
20	56 185 0020	Kercadoret	Indéterminé	Enclos	
21	56 185 0021	Kerzec-Izel	Age du Fer	Stèle	
22	56 185 0022	Kerdual	Indéterminé	Enclos	
23	56 185 0023	Kerroc'h	Age du Bronze	Dépôt de haches à douille	
24	56 185 0024	Le bourg	Antiquité	Vase isolé	
25	-	Le Mourillon	Moyen-Age	Croix	
26	-	Kerrous	Age du Fer	Stèle	

Fig. 5 Inventaire des sites archéologiques répertoriés sur la commune de Quéven

1.3. Stratégie et méthodes mises en oeuvre

Le diagnostic s'est déroulé en deux temps du fait des contraintes liées au calendrier agricole. La première phase s'est déroulée du 7 mars au 1^{er} avril 2016. Elle a concerné la partie située à l'ouest de l'emprise prescrite, à savoir les parcelles cadastrales CK 64, 65, 134, 136, 57p, 58, 132, 50, 130, 47, 48, 49, et CB 83, soit une surface de 13 ha. La seconde phase s'est déroulée du 10 octobre au 28 octobre 2016. Elle a concerné les parcelles cadastrales CB 9, CB 18p, CK 66p, CK 63 et CK67p, situées en partie est et nord de l'emprise et couvrant une surface de 13,37 hectares.

Les deux opérations ont mobilisé deux archéologues de l'INRAP et un topographe.

Quatre-vingt-dix-neuf tranchées de longueur variable ont été réalisées de façon à couvrir systématiquement la surface concernée par le projet d'aménagement. Elles ont été effectuées à l'aide d'une pelle à chenille munie d'un godet lisse de trois mètres de large travaillant en rétroaction. La profondeur de chaque tranchée a été conditionnée par l'apparition des vestiges ou du substrat, soit entre 0,2 et 0,5 m.

Les sondages couvrent une surface de 30 960 m², soit 12,71 % de l'emprise du diagnostic. Lors de la première phase du diagnostic, il a été décidé de

ne pas intervenir en bordure nord de la parcelle CB 83 en partie plantée de pommiers. Lors de la seconde phase, la parcelle CB 9, qui couvre une surface de 3,2 ha, n'a pas été explorée de manière exhaustive du fait de sa couverture broussailleuse et arbustive. L'intervention d'une entreprise de débroussaillage mandatée par l'aménageur avant notre intervention a permis de dégager une bande sinueuse large de 6 à 8 m et longue d'environ 200 m, sur laquelle nous avons pu effectués deux tranchées (Fig. 6). Au sud de l'emprise, à l'exception d'une ligne électrique et d'une canalisation d'eau, aucune contrainte particulière n'a été rencontrée.



Fig. 6 Vues de la parcelle CB 9 ;
a et b : avant débroussaillage ;
c : après débroussaillage ;
d : après réalisation des sondages
(© équipe du diagnostic, Inrap)



Les faits archéologiques ont été inventoriés, numérotés et répertoriés. Chacun d'entre eux a fait l'objet d'une description : niveau d'apparition, dimensions et aspect de leur comblement de surface. Des sondages ont été creusés à la pelle mécanique dans certains fossés rencontrés afin de connaître leur profil, leur processus de comblement et de récupérer tout mobilier datant. Au vu du nombre important de fossés découverts, il a été décidé de ne traiter que les fossés constitutifs

du parcellaire ancien. Les fossés appartenant au parcellaire moderne ou contemporain, à de rares exceptions près, n'ont donc pas été sondés. Certaines structures excavées de type trou de poteau ou fosse ont été fouillées manuellement. Un enregistrement photographique a été opéré pour chaque structure testée, mais également pour les secteurs ayant fait l'objet d'un nettoyage de surface. Quelques vues d'ensemble des intersections de fossés constituant le parcellaire ancien ont également été réalisées.

Les structures sondées ont été relevées en coupe et en plan à l'échelle 1/20^e. Les contours des ouvertures, des faits archéologiques et des sondages, ainsi que le positionnement des coupes effectuées ont fait l'objet d'un relevé par un topographe équipé d'un GPS ; notons qu'au niveau des parcelles CK 65 et CK 66, le rebouchage de certaines tranchées a dû être effectué avant la levée topographique.

L'ensemble des minutes de terrain a été saisi informatiquement. Elles sont numérotées de 1 à 37, présentent les relevés manuels des tranchées au 1/200^e, les plans au 100^e des secteurs montrant une forte densité de vestiges et les relevés au 1/20^e des structures fouillées manuellement ou ayant fait l'objet de sondages mécaniques. Au terme de ce diagnostic, l'intégralité des ouvertures effectuées a été rebouchée, avec tri des terres végétales et stériles et chenillage de surface. Un secteur sensible, situé au niveau de la tranchée 24 (fossé d'enclos et fours) a été au préalable recouvert par du géotextile.

2 L'occupation archéologique

Au total, ce sont 560 faits archéologiques ou naturels qui ont été repérés. Plusieurs occupations anciennes ont été identifiées (Fig. 7 et 8). Elles se concentrent principalement au sud-ouest de l'emprise du diagnostic. Les différents épisodes de fréquentation / occupation s'étendent de la Préhistoire à l'époque contemporaine :

- Des indices d'une fréquentation des lieux au cours de la Protohistoire ancienne existent au sud-est de l'emprise du diagnostic. Le Néolithique est illustré par la découverte, en surface de la parcelle CK 67, de plusieurs silex taillés ainsi que d'un fragment de hache polie en dolérite. Dans ce même secteur, la découverte dans une fosse isolée de tessons de céramique datés de la transition entre le III^e et le II^e millénaire avant notre ère constitue le seul indice probant d'une occupation des lieux entre la fin du Néolithique et le début de l'âge du Bronze.

Sur le point culminant de l'emprise du diagnostic, à l'est de la parcelle CK49 et à l'ouest de la parcelle CK 67, quelques anomalies non anthropiques de formes irrégulières ont piégé du mobilier céramique qui indiquerait l'existence à cet endroit d'un site arasé du Bronze final voire du début du Premier âge du Fer. Cette hypothèse est également étayée par la découverte de mobilier céramique épars présent dans les niveaux de colluvion au sud de l'emprise du diagnostic.

- Une occupation datée du V^e siècle avant notre ère a été mise en évidence au sud de la parcelle CK 130. Elle se caractérise par plusieurs segments de fossés dont l'organisation, peu commune, ne nous renseigne guère sur leur fonction. Quelques fosses sont associées à cet ensemble qui s'étend sur une surface d'environ 1 000 m².

- Une occupation datée de la fin de l'âge du Fer a été abordée au niveau des parcelles cadastrales CK 50, 62, 49 et 130. Il s'agit d'un enclos de plan subtrapézoïdal qui couvre une surface d'environ 4 500 m² (enclos n° 1). Il est intégralement sis dans l'emprise du diagnostic. Cet enclos, reconnu dès 1991 par prospection aérienne, restait non daté jusqu'à ce jour. Plusieurs aménagements ont été observés dans la surface enclose (fossés, trous de poteau, fosses, structures de combustion), mais également en périphérie. Les vestiges céramiques découverts ont permis de dater l'occupation de cet ensemble de la fin de l'âge du Fer, entre le III^e et le I^{er} siècle avant notre ère.

- Une occupation datée du début de l'Antiquité a été abordée au niveau des parcelles cadastrales CK 130, 50 et 132. Il s'agit d'un enclos trapézoïdal, également connu par prospection aérienne mais non daté jusqu'alors (enclos n° 2). Il couvre une surface d'environ 3 000 m² et est intégralement situé dans l'emprise du diagnostic. L'entrée de l'enclos, situé sur son côté sud a pu être mis en évidence. Dans la surface enclose, plusieurs aménagements fossoyés ont été repérés, ainsi qu'un bâtiment sur quatre poteaux, probable grenier, situé au niveau de son angle nord-ouest. Le mobilier céramique récolté dans le comblement du fossé d'enclos indique une datation au tout début de l'Antiquité, entre le milieu du I^{er} siècle avant notre ère et la fin du I^{er} siècle de notre ère.

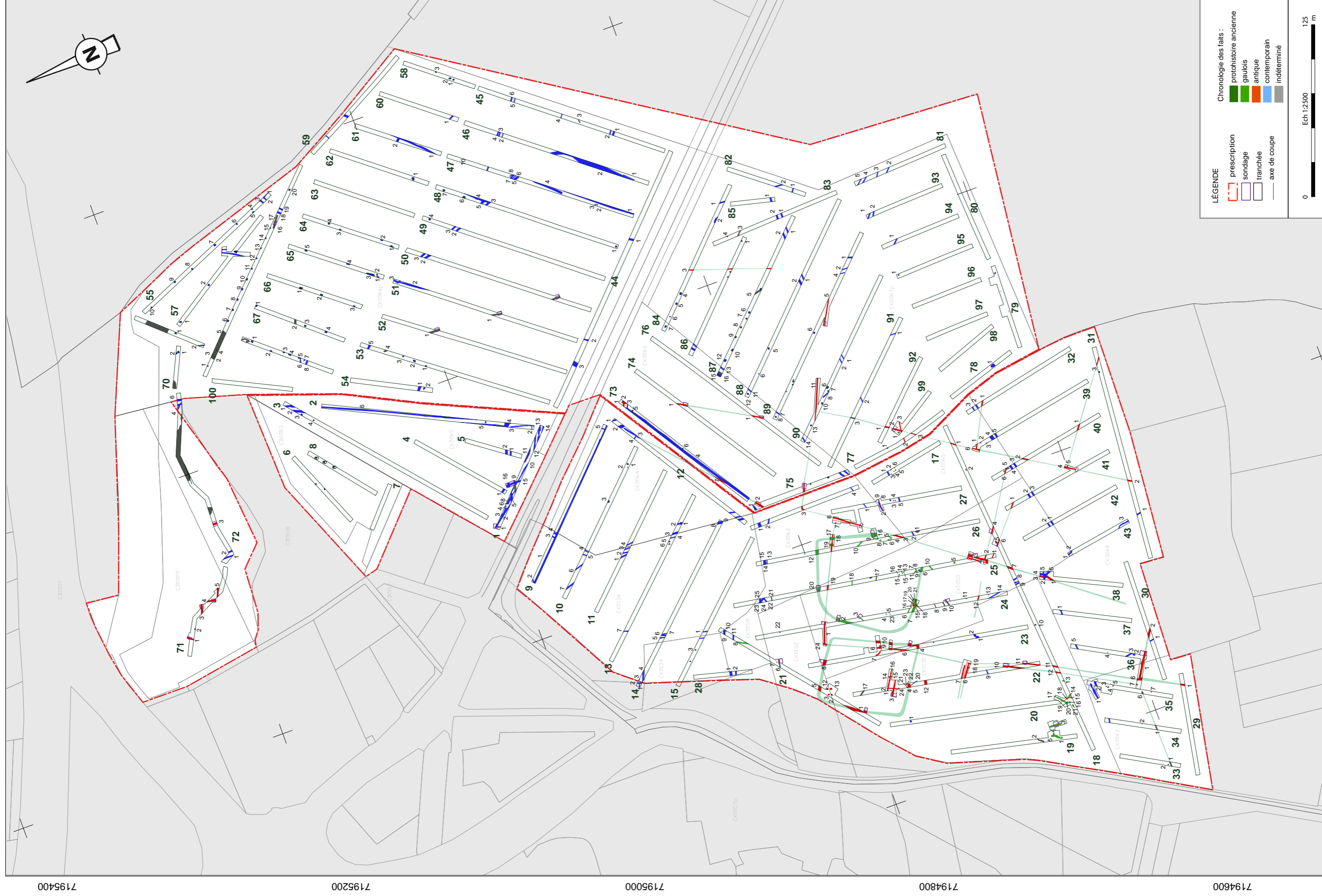


Fig. 7 Extrait du cadastre communal, localisation des tranchées de diagnostic et répartition des vestiges archéologiques (DAO : E. Le Goff, Inrap)

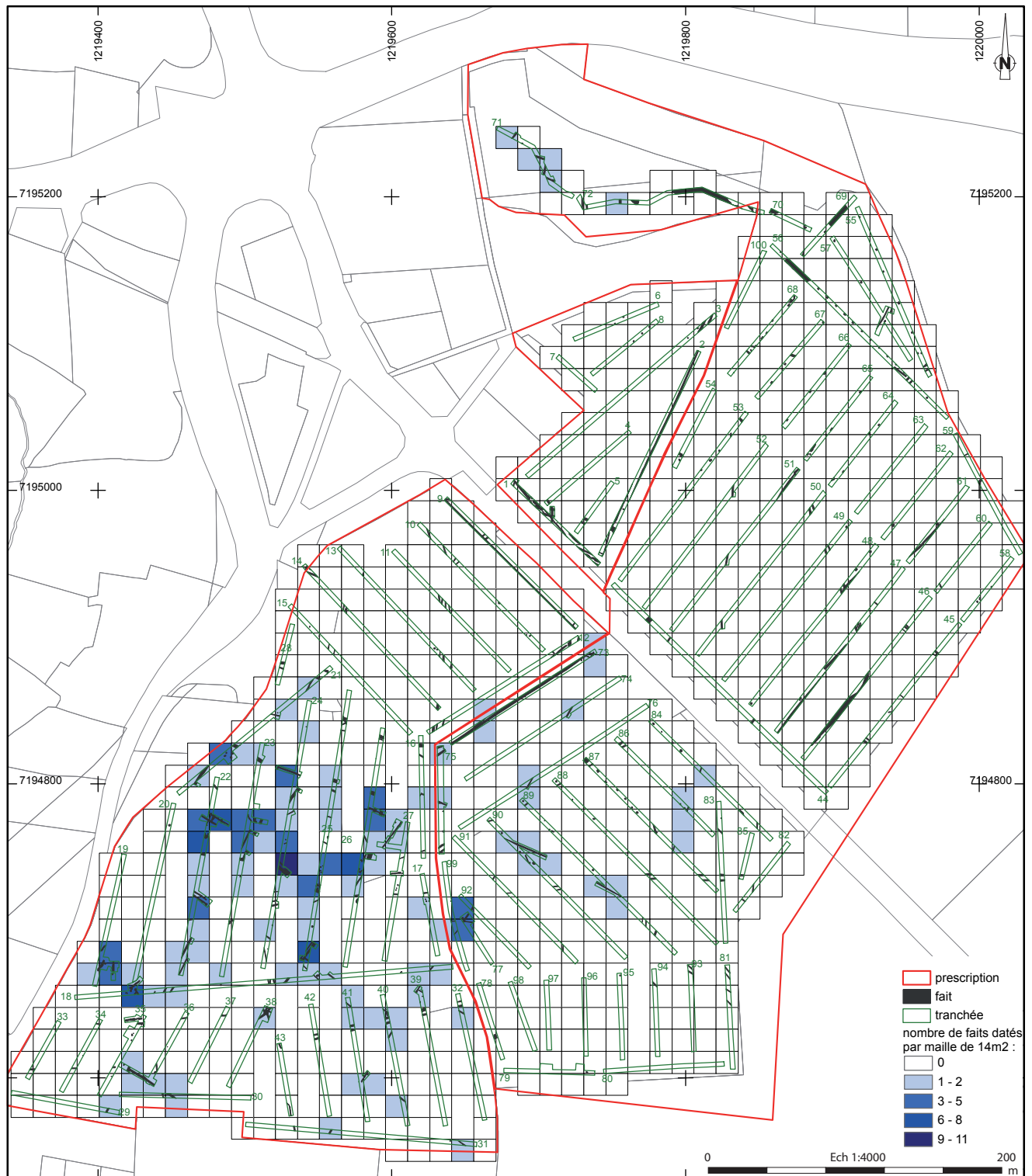


Fig. 8 Plan de densité des faits archéologiques
 – ont été exclus du plan les éléments constitutif
 du parcellaire moderne et contemporain
 (DAO : E. Le Goff, Inrap)

- Une trame parcellaire orthogonale a été mise en évidence sur toute la partie sud de l'emprise (parcelles cadastrales CK 47, 48, 49, 50, 62, 63, 67 et 130). Elle couvre une surface minimale de 10 hectares, et se poursuit au sud hors emprise du diagnostic. Chacun des fossés constituant ce parcellaire a été sondés, et plusieurs extensions ont été réalisées, permettant de mettre en évidence plusieurs intersections et plusieurs interruptions. Le mobilier céramique découvert dans son comblement indique la fin du I^e siècle avant notre ère ou le début du I^e siècle de notre ère. La question de sa relation avec l'enclos n° 2 reste posée à l'issue du diagnostic.

- Tout au nord de l'emprise, au niveau des ouvertures effectuées dans la partie boisée (parcelle CB9), 5 tronçons de fossé pourraient appartenir à une occupation antique distincte de celle mise en évidence plus au sud. La configuration particulière de l'évaluation de cette parcelle, où une simple bande de 6 à 8 m de large a été défrichée avant notre intervention, ne nous a pas permis d'identifier l'étendue et la nature exacte de ces vestiges, car aucune extension n'a pu être réalisée. De plus, la datation proposée pour cet ensemble reste incertaine car elle repose sur la découverte d'un seul tesson de céramique. Au vu de la morphologie de deux de ces fossés, profondément creusés et possédant un comblement stratifié et au vu de la découverte d'une meule rotative, l'hypothèse de l'existence à cet endroit d'un autre enclos délimitant un habitat est proposée.

- Les autres vestiges mis au jour correspondent à des aménagements structurant le parcellaire des XIX^e et XX^e siècles (fossés de parcellaire, chemins, drains, haies). De nombreuses fosses de plantation d'arbres fruitiers ont également été observées. Certains de ces éléments figurent sur le cadastre napoléonien, dressé à Quéven en 1814. D'autres sont visibles sur les photographies aériennes anciennes.

Les résultats du diagnostic sont présentés par ordre chronologique de datation des vestiges.

2.1 les indices d'une fréquentation des lieux au cours de la Protohistoire ancienne

Le diagnostic mené à la Croix du Mourillon s'inscrit dans un contexte archéologique riche en vestiges du Néolithique et de l'âge du Bronze, avec plusieurs monuments mégalithiques connus sur la commune de Quéven (Fig. 4, site n° 1 à 4, 7, 14, 17 et 23). Récemment, un bâtiment en forme d'« amande », daté de la transition entre le Néolithique et l'âge du Bronze (deuxième moitié du III^e millénaire avant notre ère) a été découvert lors de la réalisation du diagnostic de « Park an Denved », à seulement un kilomètre au nord-ouest de l'emprise de notre opération (fig. 4, opération archéologique D).

De nombreuses haches polies ont par ailleurs été découverte sur le territoire de Quéven, comme l'atteste l'inventaire provenant de la collection Le Pontois réalisé en 1999 dans le cadre d'un rapport de prospection (Bertrand 1999, p. 3 à 5). Cet inventaire recense 33 haches sur la commune. Deux d'entre elles, en diorite, ont été récoltées au nord du hameau du Mourillon, à proximité immédiate de nos travaux.

Sur l'emprise du diagnostic, plusieurs indices ténus d'une fréquentation des lieux entre le Néolithique et le début du premier âge du Fer ont été observés.

2.1.1 Le Néolithique

Pour le Néolithique, plusieurs objets ont été découverts en contexte remanié au niveau de la parcelle CK 67. Un fragment de hache polie en dolérite a été découvert en surface de la terre végétale, entre les tranchées 96 et 97 (Fig. 80, voir partie II.6.1). A proximité immédiate et toujours en surface du champ labouré ont été ramassés deux silex (un galet côtier présentant

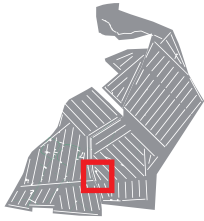
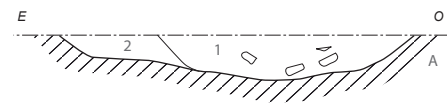
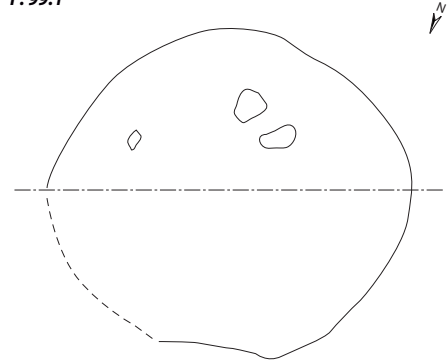


Fig. 9 Relevé de la fosse 99.1 (DAO : E. Collado)

F. 99.1



- 1 Limon argileux brun-gris, assez homogène et compacte, quelques charbons de bois, fragments de quartz, céramique
- 2 Limon argilo-sableux brun clair, assez homogène et compact, rares charbons de bois et céramique
- A Limon argilo-sableux brun hétérogène et compact, nombreux fragments de plaquettes de micaschiste centimétriques et galets de quartz

Fig. 10 Vue vers le sud-est de la fosse 99.1

(© équipe du diagnostic, Inrap)

quelques enlèvements et un éclat brûlé), ainsi qu'une lame en grès. La fosse 99.1 est le seul creusement anthropique avéré qui se rapporte à la Protohistoire ancienne. Elle dessine un plan ovale de 0,96 sur 0,86 m (Fig. 9 et 10). Elle est apparue à 0,3 m sous le niveau du sol actuel, juste sous les labours et est conservée sur une profondeur de 0,12 m. Son profil est en cuvette et son comblement est principalement constitué d'un limon argilo-sableux brun gris assez homogène et compact, incluant quelques rares charbons de bois. Vidée intégralement, elle a livré des vestiges céramiques appartenant à deux récipients distincts, dont les formes, relativement ubiquistes, indiquent une datation entre la fin du Néolithique et le début du Bronze ancien (voir partie II.6.2).

2.1.2 Une occupation de la fin de l'âge du Bronze ou du début du 1er âge du Fer ?

Une occupation de la fin de l'âge du Bronze ou du début du 1er âge du Fer est présumée sur le point culminant de l'emprise du diagnostic, à l'est de la parcelle CK 49 et à l'ouest de la parcelle CK 67. Cette occupation a été pressentie lors de la première phase du diagnostic au niveau de la tranchée 17, par la mise en évidence de 5 petites dépressions qui ont livré quelques tessons de céramique (Fig. 11).

Ces dépressions ont toutes été testées. Leurs plans et leurs profils sont irréguliers, ils mesurent environ 0,3 m de diamètre pour une profondeur maximale de 0,1 m sous le niveau de décapage. Leur comblement est constitué de limon sableux brun gris meuble et hétérogène. Leurs irrégularités, tant en plan qu'en coupe, plaident en faveur d'anomalies d'origine non anthropique (blocs arrachés). Les tessons de céramique découverts en surface de ces anomalies montrent un faible taux de

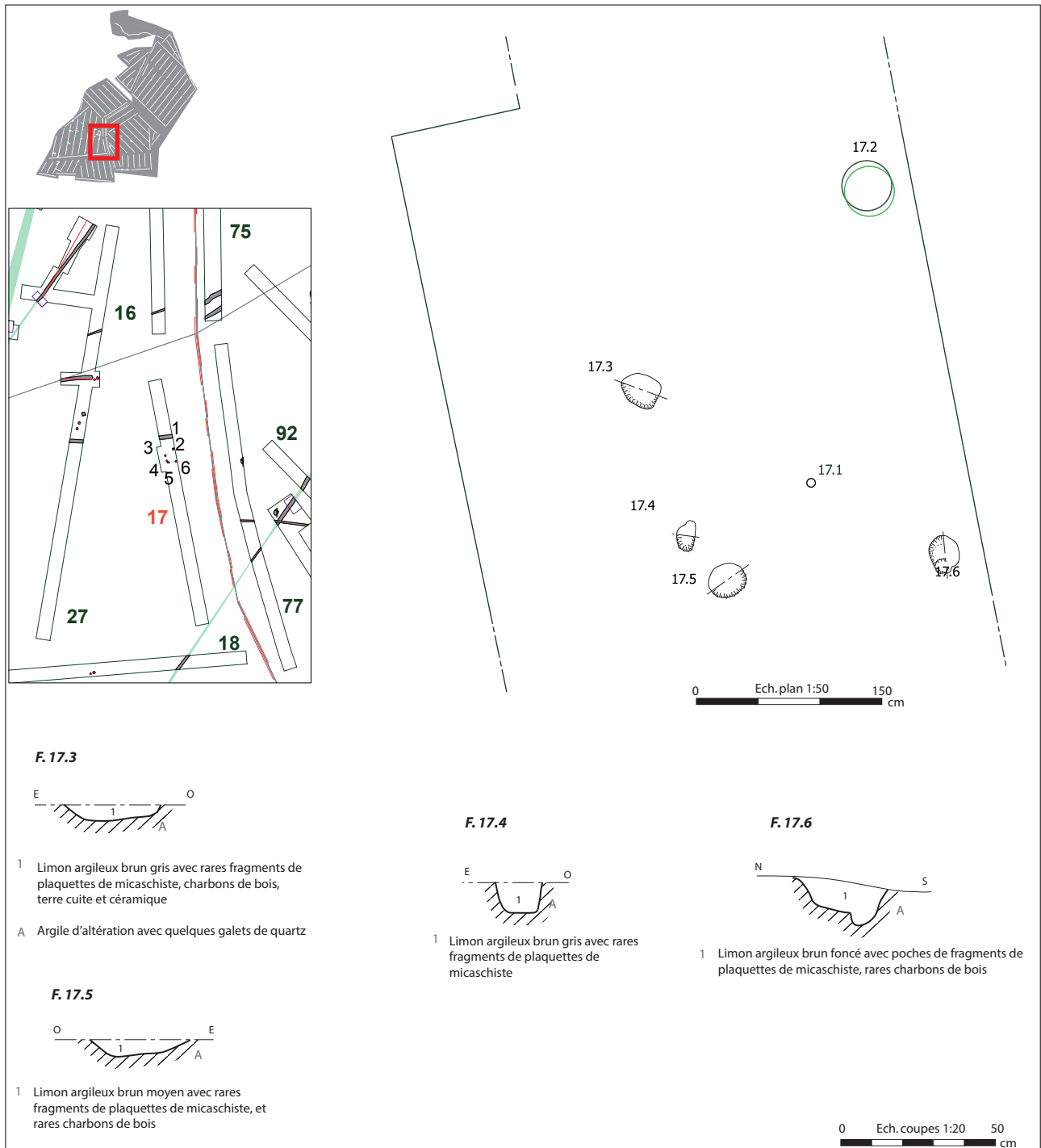


Fig. 11 Relevé des anomalies de la tranchée 17
(DAO : E. Collado)

fragmentation et un bon état de conservation général qui présupposent un faible déplacement et donc, l'existence d'une occupation ancienne dans l'environnement immédiat de leur découverte.

La deuxième phase du diagnostic est venue confirmer l'hypothèse d'une occupation ancienne par la découverte de quelques tessons isolés situés à l'interface entre la terre végétale et le substrat au niveau des parcelles CK 63 et CK 67 (tranchées 75, 76, 81, 82, 83, 89 et 94), ainsi que par la découverte de plusieurs tessons de céramique dans les niveaux de colluvion situés au sud-est de l'emprise, au niveau des tranchées 79 et 80. Ce niveau, épais de 0,2 m au niveau de la tranchée 79, est constitué de limon argilo-sableux brun clair hétérogène et compact incluant quelques charbons de bois (Fig. 12). Les tessons, très fragmentaires et érodés, n'ont pas pu être datés précisément. Leur attribution au Néolithique ou à l'âge du Bronze est probable.

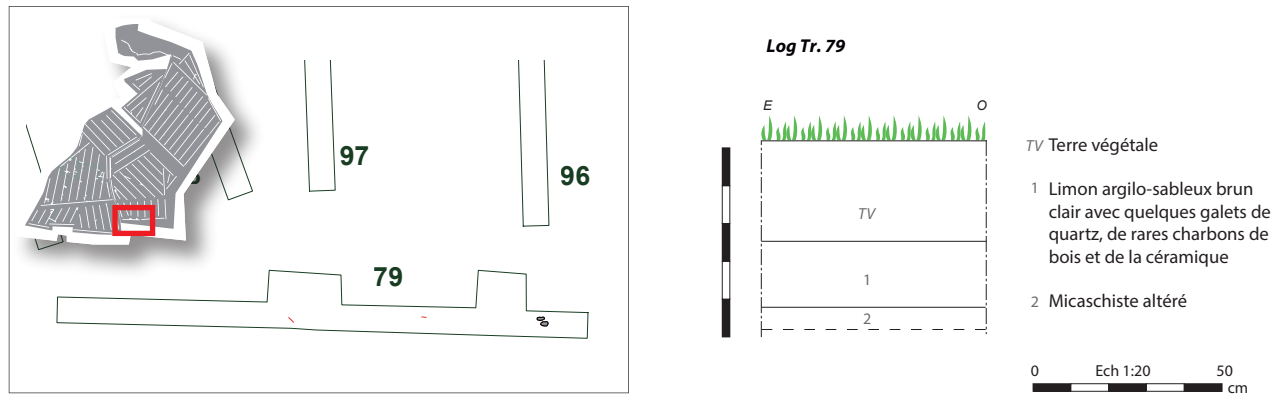


Fig. 12 Log de la tranchée 79

(DAO : E. Collado)

2.2. Une occupation de La Tène moyenne

Au niveau de l'extrémité ouest de la tranchée 18 et de l'extrémité sud de la tranchée 19, au sud de la parcelle cadastrale CK 130, plusieurs aménagements forment un ensemble original qui a livré du mobilier céramique daté du V^e siècle avant notre ère (Fig. 13). Il s'agit de sept segments de fossé ne montrant aucune organisation cohérente, associés à sept fosses ou excroissances de fossé. Les orientations suivies par ces sections de fossé divergent les unes des autres. Les extensions réalisées au nord de la tranchée 18 et à l'est de la tranchée 19 ont permis de circonscrire trois segments de fossé dans leur intégralité. Plusieurs ont fait l'objet de sondages manuels et mécaniques. Si l'étendue de ces aménagements a pu être cernée précisément au nord, la présence d'une ligne électrique au sud de la tranchée 18 ne nous a pas permis d'en reconnaître ses limites méridionales. Toutefois, aucun aménagement similaire n'a été mis en évidence au nord des tranchées 34 et 35, ce qui permet d'estimer la surface maximale concernée par ces aménagements à environ 1 000 m².

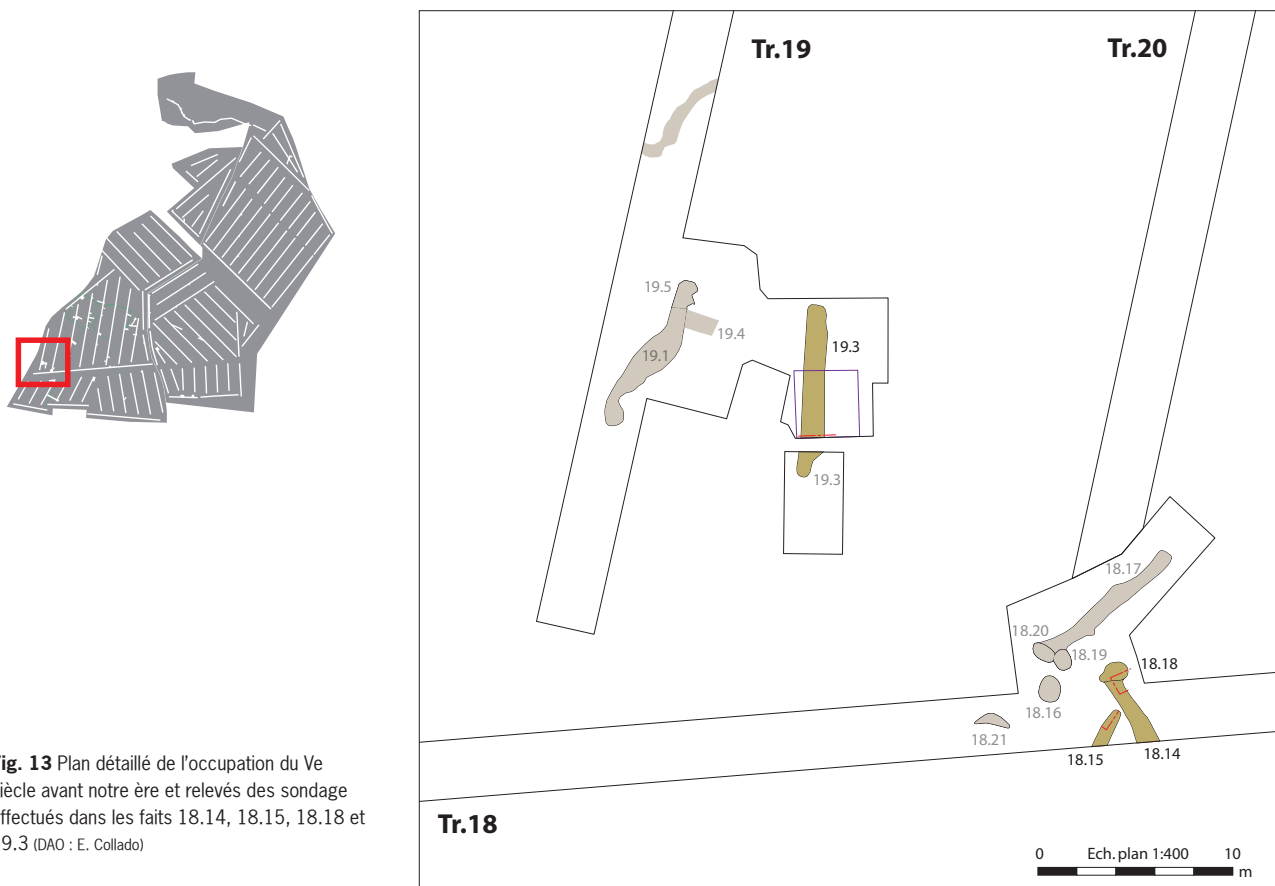


Fig. 13 Plan détaillé de l'occupation du Ve siècle avant notre ère et relevés des sondage effectués dans les faits 18.14, 18.15, 18.18 et 19.3 (DAO : E. Collado)

2.2.1 Les fait 18.14 et 18.18

Le fait 18.14 a été suivi sur 3 m de long et se poursuit vers le sud sous la ligne électrique (Fig. 14). Il adopte un profil en cuvette avec un fond plat et sa largeur oscille entre 0,66 et 1 m. Au nord, au niveau de son extrémité, une excroissance a été observée en plan (18.18). De forme ovale, elle mesure 1,46 sur 1 m et montre un profil en cuvette peu régulière. Le sondage manuel effectué ne montre aucune relation entre ces deux faits, indiquant probablement leur fonctionnement synchrone (Fig. 13). Leur comblement est constitué de limon argileux brun moyen avec quelques inclusions de substrat remanié (altérite de micaschiste brun orangé). On observe pour le fait 18.18 la présence de quelques charbons de bois, ainsi qu'une densité plus importante de cailloux que ce qui a été observé pour le fait 18.14. Aucun mobilier céramique n'y a été découvert.

2.2.2 Le fait 18.15

Le fait 18.15 a été suivi sur 2 m de long et se poursuit vers le sud sous la ligne électrique (Fig. 14). Un sondage manuel a été effectué au niveau de son extrémité (Fig. 13). Son profil montre un fond plat et des bords évasés. Sa largeur maximale est de 0,6 m au niveau de la berme sud de la tranchée. Elle va en se rétrécissant pour atteindre 0,4 m au niveau de son extrémité. Le comblement observé est unique, il est constitué de limon argileux brun moyen avec quelques inclusions de substrat remanié (altérite de micaschiste brun orangé). Au total, 5 tessons de céramique appartenant à un même vase ont été récoltés dans le sondage. L'un d'eux présente un décor en marguerite qui permet d'avancer une datation au début du V^e siècle avant notre ère.

Fig. 14 Vue d'ensemble vers le nord des faits 18.14, 18.15, 18.17, 18.18, 18.19 et 18.20
(© équipe du diagnostic, Inrap)



2.2.3 Le fait 18.17

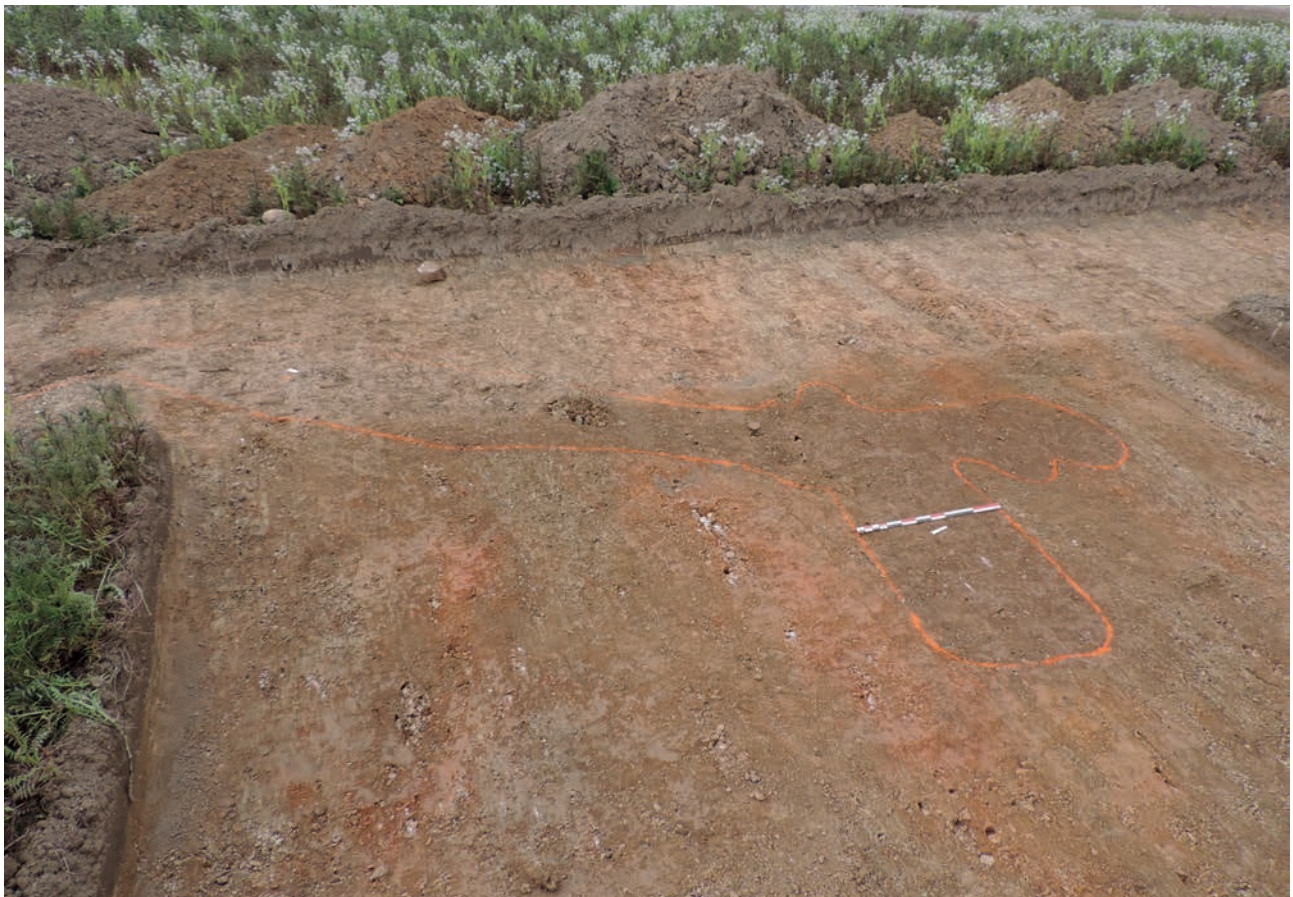
Le fait 18.17 a été observé en intégralité dans l'extension nord de la tranchée 18 (Fig. 13 et 14). Il a été suivi sur 8 m de long et suit une orientation SE/NO. Sa largeur oscille entre 0,6 et 0,8 m. Au nord, son extrémité est régulière ; en revanche, deux excroissances ont été observées en plan au niveau de son extrémité sud (18.19 et 18.20). De forme circulaire, elles mesurent entre 0,8 et 1 m de diamètre. Aucun sondage n'a été réalisé dans ces faits, et les observations de surface n'ont pas permis d'observer des relations entre le fossé et ces deux excroissances. Leur comblement de surface est constitué de limon argileux brun moyen avec quelques inclusions de substrat remanié (altérite de micaschiste brun orangé). Sept tessons de céramique ont été découverts en surface du comblement du fait 18.17, ainsi qu'un fragment de meule en granite.

2.2.4 Les fait 19.1, 19.4 et 19.5

Le fait 19.1 a été observé sur la totalité de son tracé (Fig. 13 et 15). Long de 6 m, il suit une orientation SE/NO, légèrement divergente de l'orientation suivie par le fait 18.17. Sa largeur oscille entre 1 et 1,2 m. Au nord, son extrémité est irrégulière. Il n'a pas fait l'objet de sondage. Les observations de surface indiquent un comblement constitué de limon argileux brun moyen avec quelques inclusions de substrat remanié (altérite de micaschiste brun orangé). Une excroissance a été observée au niveau de son extrémité sud (19.5). Elle est ovalaire et mesure 1,5 sur 1 m. On notera pour ce fait la présence de plusieurs gros blocs bruts de granite et la découverte de douze tessons de céramique. Le comblement de ce fait étant similaire à celui de 19.1, il n'a pas été possible d'observer des relations entre le fossé F 19.1 et cette excroissance.

Fig. 15 Vue d'ensemble vers le nord-ouest des faits 19.1, 19.4 et 19.5

(© équipe du diagnostic, Inrap)



Le fait 19.4 dessine un rectangle à angles arrondis de 3 m sur 1 m. Il est perpendiculaire à 19.1 qu'il chevauche de part et d'autre. Ici encore, aucune relation n'est visible en plan entre ces deux structures. Cinq tessons de céramique ont été récoltés en surface de décapage.

2.2.5 Le fait 19.3

Le fait 19.3 a été observé sur toute sa longueur (Fig. 16). Il mesure 9 m de long pour une largeur comprise entre 1 et 1,4 m. Il suit une orientation N/S. Au nord, son extrémité est régulière et au sud, une excroissance a été observée. Un sondage mécanique a été effectué à proximité de l'extrémité sud du fossé. A cet endroit, le fossé apparaît sous la terre végétale à une profondeur de 0,3 m et mesure 1,38 m de large pour une profondeur conservée de 0,68 m. Son profil montre un fond plat et des bords verticaux (Fig. 17). Trois comblements distincts ont été observés dans la coupe du sondage. A la base, on observe contre la paroi est du creusement un niveau composé de limon très argileux brun beige et de substrat remanié (US 3), pouvant correspondre à l'érosion de la paroi du creusement. Les deux autres niveaux (US 1 et 2) sont composés de limon plus ou moins argileux brun moyen incluant de nombreux cailloux centimétriques et décimétriques (quartz et granite), ainsi que quelques inclusions de charbon de bois (Fig. 13). L'US 1 a livré au total vingt-neuf tessons de céramique, appartenant pour partie à un récipient haut bitronconique à carène haute datable du V^e siècle avant notre ère.



Fig. 16 Vue d'ensemble vers le nord-est du fait 19.3 (© équipe du diagnostic, Inrap)

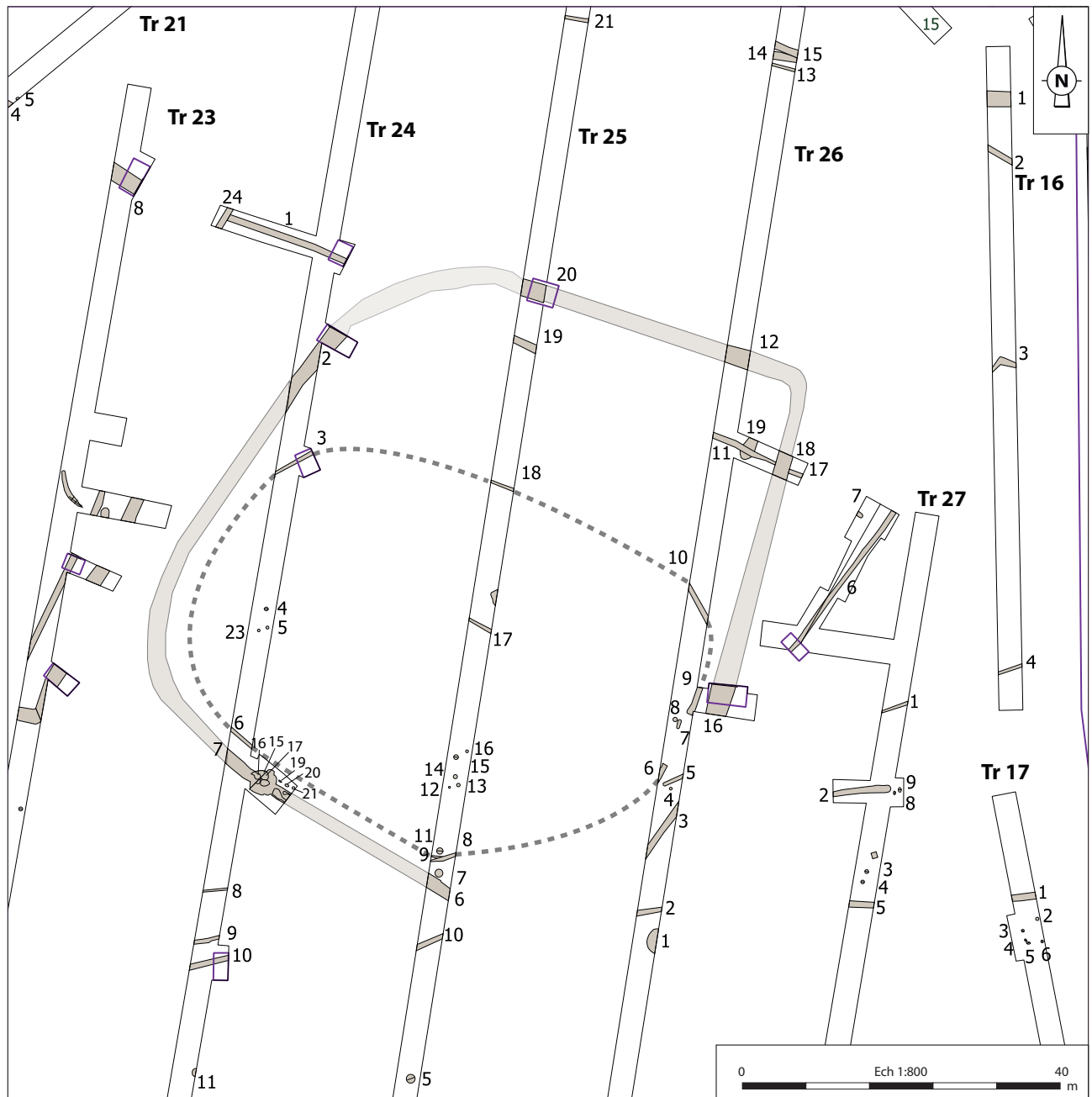


Fig. 17 Vue de la coupe sud du fait 19.3 (© équipe du diagnostic, Inrap)

Fig. 18 Cliché aérien des deux enclos du Mourillon (© Bertrand R., 1991)



Fig. 19 Plan détaillé de l'enclos gaulois et de ses abords immédiats (DAO : E. Collado)



2.2.6 Les autres faits associés à l'occupation de La Tène moyenne

Quatre autres faits non testés au cours du diagnostic peuvent être associés à cette occupation. Les faits 18.13 et 19.2 montrent certaines analogies avec les fossés 18.17, 18.14, 19.1 et 19.3 (Fig. 13). Le premier a été observé sur une longueur de 1 m pour une largeur de 0,65 m, et le second, au tracé sinueux et irrégulier, a été perçu sur une longueur de 5 m pour une largeur oscillant entre 0,6 et 0,8 m. Ils n'ont livré aucun mobilier en surface de décapage.

Le fait 18.16 pourrait correspondre à une fosse. Il mesure 1 m de diamètre et a livré deux tessons de céramique en surface de décapage. Quant au fait 18.21, son origine anthropique est douteuse du fait de son comblement de surface, plus clair que ce qui a été observé pour les autres structures.

2.3. Un enclos fossoyé de La Tène finale

2.3.1 Présentation générale

La seconde occupation est datée de la fin de La Tène, entre le III^e siècle et le milieu du I^e siècle avant notre ère. Située au niveau des parcelles cadastrales CK 50 et CK 62, elle se caractérise par un enclos subtrapézoïdal d'environ 80 m sur 60 m, intégralement sis dans l'emprise du diagnostic (enclos n° 1, Fig. 7). Il se situe à une altitude comprise entre 44 et 45 m NGF, sur le haut d'un versant exposé à l'ouest. Cet enclos était connu par prospection aérienne (Bertrand 1991) mais restait non daté jusqu'à ce jour. Son entrée, située sur sa façade orientale, est visible sur les clichés aériens (Fig. 18). Cet enclos couvre une surface d'environ 4 500 m². Dans la surface enclose, une autre enceinte de forme ovale délimite un espace d'environ 3 000 m². Divers autres aménagements ont été reconnus : fossés, trous de poteau, fosses, structures de combustion. Ils s'organisent principalement dans l'enclos, mais également en périphérie (Fig. 19). Aucun parcellaire associé n'a été mis en évidence. Le mobilier recueilli en surface de décapage et dans les sondages effectués est assez abondant et varié. La céramique comporte de nombreux fragments d'amphore, le macro-outillage est bien représenté, et quelques scories sont également attestées.

2.3.2 Le fossé d'enclos

L'enclos est de forme subtrapézoïdal. Il mesure 75 m de long sur 60 m de large environ, couvrant une superficie de près de 4 500 m². Au total, trois sondages ont été effectués au niveau de ses côtés nord, ouest et est, permettant un premier aperçu du processus de comblement et de l'évolution du fossé d'enclos au cours de ses trois siècles de fonctionnement (Fig. 20). Sur le cliché aérien de 1991, on observe une entrée sur la façade orientale de l'enclos matérialisée par une interruption dans le tracé du fossé (Fig. 18). L'emplacement de cette entrée a été confirmée par l'absence du fossé d'enclos entre les faits 26.3 et 26.9 (Fig. 19). Par ailleurs, c'est à ce niveau qu'a été observé l'interruption des fossés 26.6 et 26.9, interprétée comme l'entrée de l'enclos ovale interne.

2.3.2.1 Le côté nord

Le fossé 25.20 et 26.12 se développe sur le côté nord de l'enclos. Reconnu sur une longueur de 30 m, on peut restituer sa longueur totale à environ 50 m. Il suit une orientation ENE/OSO. Un sondage a été effectué au niveau de la tranchée 25 où il apparaît en coupe à une profondeur d'environ 0,25 m sous le niveau de sol actuel (Fig. 20 et 21). Son niveau d'apparition en plan se situe lui légèrement plus bas, au niveau de l'apparition du substrat sain, à une profondeur de 0,4 m.

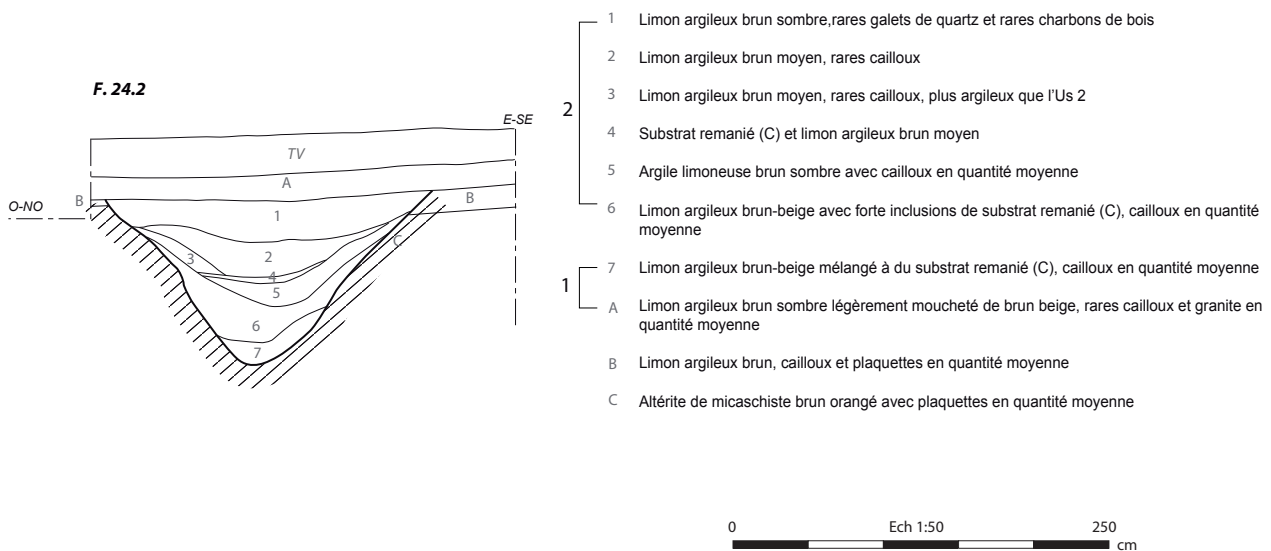
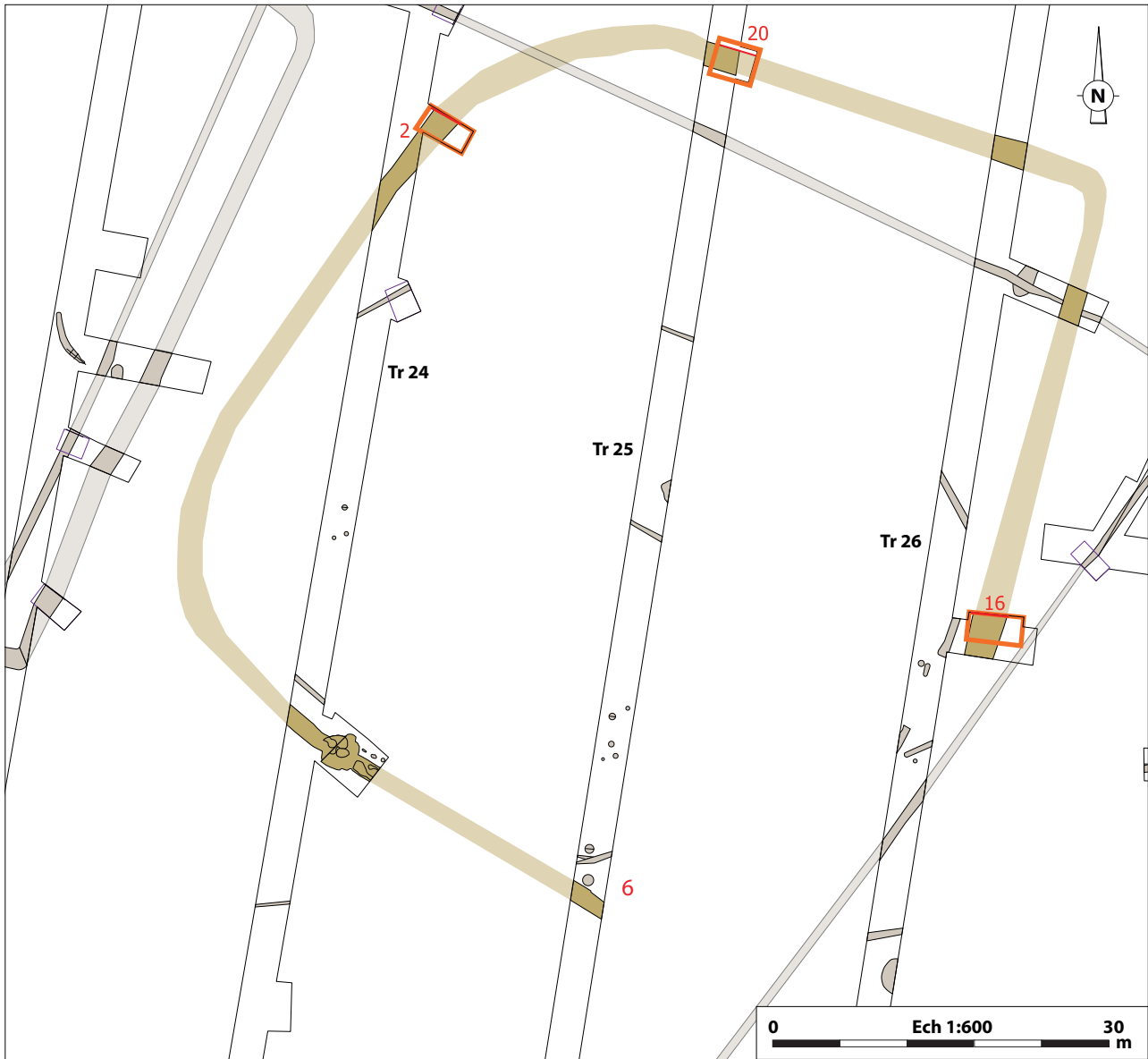
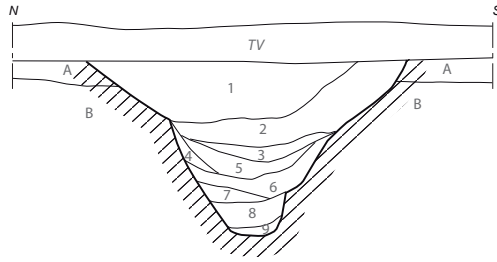


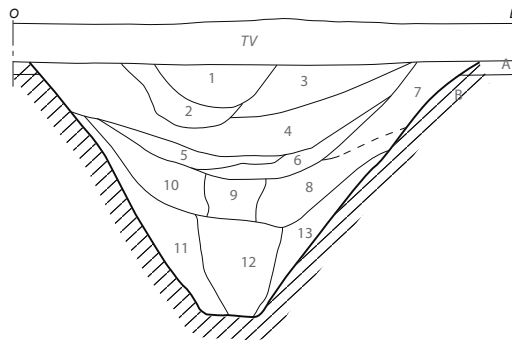
Fig. 20 Localisation des sondages mécaniques réalisés dans le fossé d'enclos gaulois et relevé des coupes (DAO : E. Collado)

F. 25.20



- 4 [1 Limon argileux brun-gris sombre avec inclusions de charbon de bois, de cailloux et de graviers de micaschiste, céramique
- 3 [2 Limon argileux brun sombre, plus compact que l'Us1, avec des inclusions de cailloux, de nombreux graviers et plaquettes de micaschiste
- 3 [3 Limon argileux brun moyen (sédimentation fine), avec présence de charbons de bois et de graviers de micaschiste
- 2 [4 Limon argileux moyen avec inclusions de substrat remanié (B)
- 2 [5 Limon argileux brun moyen avec inclusions moins importantes que dans l'Us 4
- 2 [6 Limon argileux brun clair avec nombreuses inclusions de substrat remanié (B)
- 2 [7 Limon argileux brun clair moucheté brun-orangé avec rares inclusions de substrat remanié (B)
- 1 [8 Limon argileux brun clair avec inclusions moyennes de substrat remanié, céramique
- 1 [9 Limon argileux brun clair moucheté de brun orangé (même comblement que l'Us7)
- A Limon argilo-sableux brun hétérogène et compact, nombreux fragments de plaquettes de micaschiste centimétrique et galets de quartz
- B Plaquettes de micaschiste altérées

F. 26.16



- 4 [1 Limon argileux brun sombre, poches humifères, rares cailloux de quartz et quelques nodules de schiste
- 4 [2 Limon argileux brun-beige, quelques graviers de micaschiste, rares charbons de bois
- 3 [3 Limon argileux brun moyen hétérogène, fortes inclusions de graviers de micaschiste
- 3 [4 Limon argileux brun moyen, inclusions de graviers de micaschiste
- 3 [5 Limon argileux brun moyen, inclusions de plaquettes centimétriques de micaschiste
- 3 [6 Limon argileux brun-beige, homogène, quelques graviers et cailloux centimétriques à décimétriques de micaschiste
- 2 [7 Limon argileux brun, quelques inclusions moyennes de graviers de micaschiste
- 2 [8 Limon argileux brun, inclusions de nodules de micaschiste et quelques rares plaquettes centimétriques
- 2 [9 Limon argileux brun, inclusions de galets de quartz et de micaschiste en plaquettes
- 2 [10 Limon argileux brun, inclusions de graviers de micaschiste
- 1 [11 idem à l'US 10 en plus hétérogène, céramique
- 1 [12 Substrat remanié : plaquettes de micaschiste, avec quelques cailloux centimétriques à décimétriques, un peu de limon argileux brun
- 1 [13 idem à l'US 10 en plus hétérogène, céramique
- A Limon argilo-sableux brun orangé très fin, très rares inclusions de plaquettes de micaschiste
- B Limon argileux brun

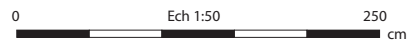




Fig. 21 Vue de la coupe est du fossé d'enclos 25.20 (© équipe du diagnostic, Inrap)

Son profil est irrégulier. Il résulte d'une succession de curage et de réfection qui ont entraîné des évolutions tant dans son profil que dans sa largeur ou même sa position (déplacement du tracé pour la dernière séquence). Son comblement stratifié - neuf couches ont été individualisées - indique l'existence de quatre états distincts pour ce fossé, avec trois curages successifs.

La première séquence (phase 1) montre un profil en V avec un fond en cuvette et une profondeur conservée de 1,2 m. Elle comporte des niveaux limoneux à argileux brun clair mouchetés de taches oranges et comportant une composante importante d'altérite de micaschiste, résultant probablement de l'érosion naturelle des parois du fossé (US 8 et 9). Un tessou de céramique de facture laténienne mais non datable précisément provient de l'US 8.

La deuxième séquence montre un élargissement du profil, avec des bords abrupts et un fond en cuvette. La profondeur du fossé pour ce deuxième état est conservée sur 0,98 m. Le comblement est constitué d'une alternance de quatre couches distinctes (US 4, 5, 6 et 7) constituées de limon argileux brun clair à brun moyen comportant des apports plus ou moins importants d'altérite de micaschiste. Il semble que ces dépôts proviennent en partie de l'effritement des parois du fossé, mais il est possible que certains apports, plus particulièrement l'US 6, résulte de l'érosion d'un talus interne.

La troisième séquence indique un élargissement conséquent du fossé. La largeur du fossé pour ce troisième état peut-être estimée à 2 m pour une profondeur conservée de 0,7 m. Son comblement est constitué de deux couches (US 2 et 3). A sa base, l'US 3 est constitué d'un limon argileux brun moyen incluant quelques charbons de bois. Ces dépôts fins peuvent correspondre à des dépôts liés au fonctionnement du fossé. L'US 2 est composée de limon argileux brun sombre comportant de nombreuses pierres et graviers. En appui contre la paroi sud du fossé, cette couche pourrait correspondre à l'érosion d'un talus interne.

La dernière séquence indique un léger déplacement du tracé du fossé vers le nord, ce qui pourrait s'expliquer par l'étalement du talus interne dans le fossé (US 1). Le fossé est alors large de 1,86 m pour une profondeur de 0,44 m. Le profil est en cuvette et le fond est irrégulier. Le comblement est constitué de limon argileux brun gris sombre comportant quelques cailloux et des inclusions de charbon de bois (US 1). Cette US de surface a livré plusieurs éléments céramiques et amphoriques, tant au niveau du sondage dans 25.20 qu'en surface de 26.12, permettant une datation de son comblement entre les dernières décennies du Ier siècle avant notre ère et le début du Ier siècle

de notre ère. A noter également la découverte en surface de 25.20, d'un fragment de meule à va-et-vient en granite et d'un fragment de marteau en dolérite.

2.3.2.2 Le côté est

Le fossé 26.16 se développe sur le côté est de l'enclos. Observé au niveau des deux extensions effectuées à l'est de la tranchée 26, sa longueur peut-être restituée à 65 m environ. Plus au sud dans cette même tranchée, entre les faits 26.3 et 27.7, on note l'absence du fossé d'enclos, permettant de confirmer l'existence à cet endroit de l'entrée de l'enclos détectée en prospection aérienne.

Le fossé de la façade orientale suit une orientation N-NE/S-SO. Un sondage a été effectué au niveau de l'extension sud de la tranchée 26, où il apparaît en coupe à une profondeur d'environ 0,3 m sous le niveau de sol actuel. Il mesure 3,1 m de large pour une profondeur conservée de 1,72 m (Fig. 20 et 22).



Fig. 22 Vue de la coupe nord du fossé d'enclos 26.16 (© équipe du diagnostic, Inrap)

Son comblement stratifié - treize couches ont été individualisées - indique l'existence d'au moins cinq états distincts pour ce fossé, avec 4 curages successifs.

La première séquence (phase 1) montre un profil en V avec un fond plat et une profondeur conservée de 1,7 m. Elle comporte des niveaux limoneux à argileux brun mouchetés de taches oranges et comportant une composante importante d'altérite de micaschiste, résultant probablement de l'érosion naturelle des parois du fossé (US 11 à 13). Plusieurs tessons de céramique ont été découverts dans l'US 11.

La deuxième séquence montre des bords plus évasés et un fond en cuvette. La profondeur du fossé pour ce deuxième état est conservée sur 1,04 m. Le comblement est constitué de quatre couches distinctes (US 7 à 10) constituées de limon argileux brun moyen comportant des apports plus ou moins importants d'altérite de micaschiste. Il semble que ces dépôts proviennent en partie de l'effritement des parois du fossé, mais il est possible que certains apports, plus particulièrement l'US 7 et 8, résulte de l'érosion d'un talus externe. Ceci reste à vérifier, car les autres sondages effectués dans les fossés de l'enclos indiquent l'existence d'un talus interne. La proximité de l'entrée de l'enclos, située quelques mètres plus au sud, pourrait peut-être expliquer cette singularité.

La troisième séquence indique un léger rétrécissement du fossé. Sa largeur

est de 2,66 m pour une profondeur conservée de 0,78 m. Son comblement est constitué de quatre couches (US 3 à 6), constituées de limon argileux brun moyen à brun beige comportant une densité variable de fragments de plaquettes de micaschiste. Notons la découverte d'une scorie et d'un clou en fer dans l'US 3.

Les deux dernières séquences indiquent un changement de module du fossé. Il indique une largeur de 1,1 m pour une profondeur conservée de 0,44 m (US 1 et 2). Ce faible gabarit pourrait indiquer un changement de statut du fossé (fossé de type parcellaire).

2.3.2.3 Le côté sud

Le fossé 24.7 et 25.6 se développe sur le côté sud de l'enclos. Reconnu sur une longueur de 35 m, on peut restituer sa longueur totale à environ 60 m. Il suit une orientation O-NO/E-SE (Fig. 20). Sa largeur à l'ouverture est de 1,6 m. Un sondage a été commencé au niveau de la tranchée 24, mais la découverte d'une sole de four ne nous a pas permis de le terminer. Cette découverte nous a amené à décaper une fenêtre pour mieux distinguer la nature de cet aménagement et sa relation avec le fossé d'enclos, ce qui a conduit à la découverte d'une aire de travail comportant au moins trois fours installés dans le comblement du fossé d'enclos. Aucun sondage n'a été réalisé au niveau de ces fours dans le but de préserver l'intégrité de ces aménagements pour une éventuelle fouille à venir. Leur description sera menée plus bas (voir partie II.3.3.4). A l'est de ces fours, de nombreux blocs de granite ont été observé en surface de comblement du fossé d'enclos (Fig. 23).

Le comblement de surface du fossé sud de l'enclos a livré plusieurs tessons de céramique. Au niveau de la tranchée 25, des fragments de panses ornées de cannelures fines horizontales et de filets verticaux réalisés au lissoir, ainsi qu'un épaulement recouvert d'un aplat graphité indiquent des modes d'ornementation fréquemment utilisés entre le III^e et le I^{er} siècle avant notre ère. Au niveau de la tranchée 24, en surface du fossé d'enclos et au sud des fours, un élément céramique indique une production du I^e siècle avant notre ère.



Fig. 23 Vue vers le nord-ouest du fossé d'enclos 24.7 et de la zone des fours
(© équipe du diagnostic, Inrap)

2.3.2.4 Le côté ouest

Le fossé 24.2 se développe sur le côté ouest de l'enclos. Sa longueur peut-être restituée à environ 60 m. Il suit une orientation SO/NE. Au niveau du sondage, il apparaît en coupe à une profondeur de 0,4 m sous le niveau de sol actuel (Fig. 20 et 24).

Son comblement stratifié - sept couches ont été individualisées - indique l'existence d'au moins deux états distincts pour ce fossé, avec un seul curage visible.

Le premier état montre un profil en V et un fond en cuvette. La profondeur du fossé pour cet état est de 1,1 m et sa largeur peut-être restituée à environ 2 m. Son comblement (US 6 et 7) est constitué de limon argileux brun beige mélangé à du substrat remanié (altérite de micaschiste et fragments de plaquettes de schiste), provenant de l'effritement des parois du fossé.

Le deuxième état (US 1 à 5) montre une succession de niveaux avec alternance entre des horizons assez caillouteux et d'autres de limon argileux brun à brun sombre. Le profil du fossé est en cuvette à bords évasés, il indique une largeur de 2,2 m pour une profondeur conservée de 0,7 m sous la terre végétale.

Aucun indice de talus n'a pu être appréhendé dans la coupe observée.

Plusieurs scories de fer proviennent de la surface du fossé.

2.3.3 Les aménagements observés dans l'enclos

2.3.3.1 les fossés de partition interne

Les segments de fossé 25.9 – 24.6 – 24.3 – 25.18 – 26.10 – 26.9 dessinent un petit enclos ovalaire de 60 m de long sur 50 m de large, orienté est/ouest. Une interruption dans son tracé a été observée dans la tranchée 26.



Fig. 24 Vue de la coupe nord du fossé d'enclos 24.2 (© équipe du diagnostic, Inrap)

Large de 7 m, elle matérialise son entrée. Cette entrée se situe dans l'axe de l'entrée de l'enclos principal. Les observations de surface indiquent un fossé dont la largeur varie entre 0,4 et 0,6 m et dont le comblement est constitué d'un limon argileux brun moyen (Fig 19). Un sondage mécanique réalisé au niveau de la tranchée 24 a permis d'observer un creusement en cuvette conservé sur une profondeur de 0,25 m (coupe non relevée, Fig. 25).



Fig. 25 Vue de la coupe nord-est du fossé 24.3
(© équipe du diagnostic, Inrap)

Le fossé 25.17 est orienté ENE/OSO. Il n'a pas été observé dans les tranchées 24 et 26. Son orientation reste cohérente par rapport au fossé d'enclos sud avec lequel il est strictement parallèle (Fig. 19). Il apparaît sous la terre végétale à une profondeur de 0,3 m. Le sondage manuel effectué montre un profil à fond plat et des bords évasés (Fig. 26). Il mesure 0,75 de large pour une profondeur conservée d'environ 0,15 m. Son comblement unique est constitué d'un limon argileux brun gris moyen incluant quelques graviers de micaschiste. A l'issue du diagnostic, l'interprétation de ce segment de fossé reste délicate. Il pourrait s'agir d'un élément structurant l'espace interne de l'enclos. Aucun mobilier n'a été découvert dans le comblement ou en surface de ce fossé.

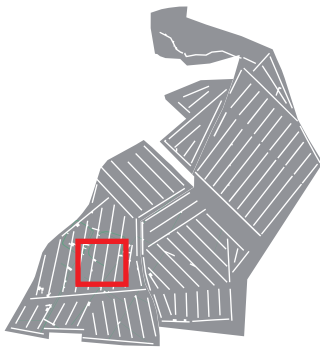
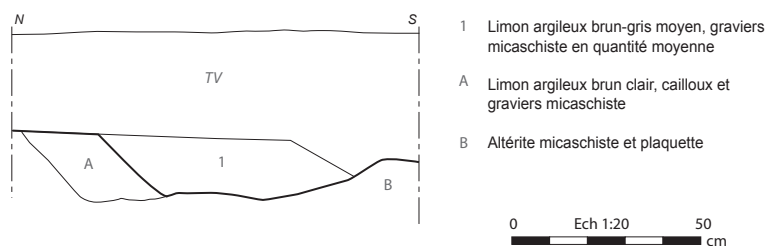


Fig. 26 Relevé de la coupe sud-est du fossé 25.17 (DAO : E. Collado)

F. 25.17



Les fossés 25.8, 25.9 et 25.10 forment une intersection qui se situe sur le tracé de l'enclos ovalaire décrit ci-dessus. Cette intersection n'a pas été traitée au cours du diagnostic.

2.3.3.2 Des concentrations de trous de poteau

Les trous de poteau mis au jour sont principalement concentrés dans l'enclos, au niveau des tranchées 24, 25 et 26. On note également l'existence de deux regroupements de trous de poteau plus à l'est, en dehors de la zone enclose (tranchée 27). La surface réduite décapée au cours du diagnostic ne nous permet pas de restituer le plan et l'orientation du ou des probable(s) bâtiment(s) correspondant(s) à ces trous de poteau.

L'ensemble 1 (24.4, 24.5 et 24.23)

Le premier ensemble, localisé dans l'angle sud-ouest de l'enclos (Fig. 27), comporte trois trous de poteau de plan circulaire (24.4, 24.5 et 24.23). Ils apparaissent à une profondeur de 0,35 m sous le niveau de sol actuel. Leur comblement observé en surface est composé de limon argileux brun moyen incluant quelques charbons de bois. Le trou de poteau 24.4 a été sondé manuellement (Fig. 28). Il mesure 0,6 m de diamètre pour une profondeur conservée sous décapage de 0,18 m. Ce trou de poteau adopte un profil régulier en cuvette et son remplissage montre la présence d'un remblai de calage et d'un négatif de poteau. Ce dernier mesure 28 cm de large. Les trous de poteau 24.5 et 24.23 n'ont pas été sondés. Leur module est plus petit, ils mesurent respectivement 0,55 m et 0,35 m de diamètre. Aucune extension n'a été effectuée au niveau de ces trois faits, et aucun mobilier céramique n'y a été découvert.

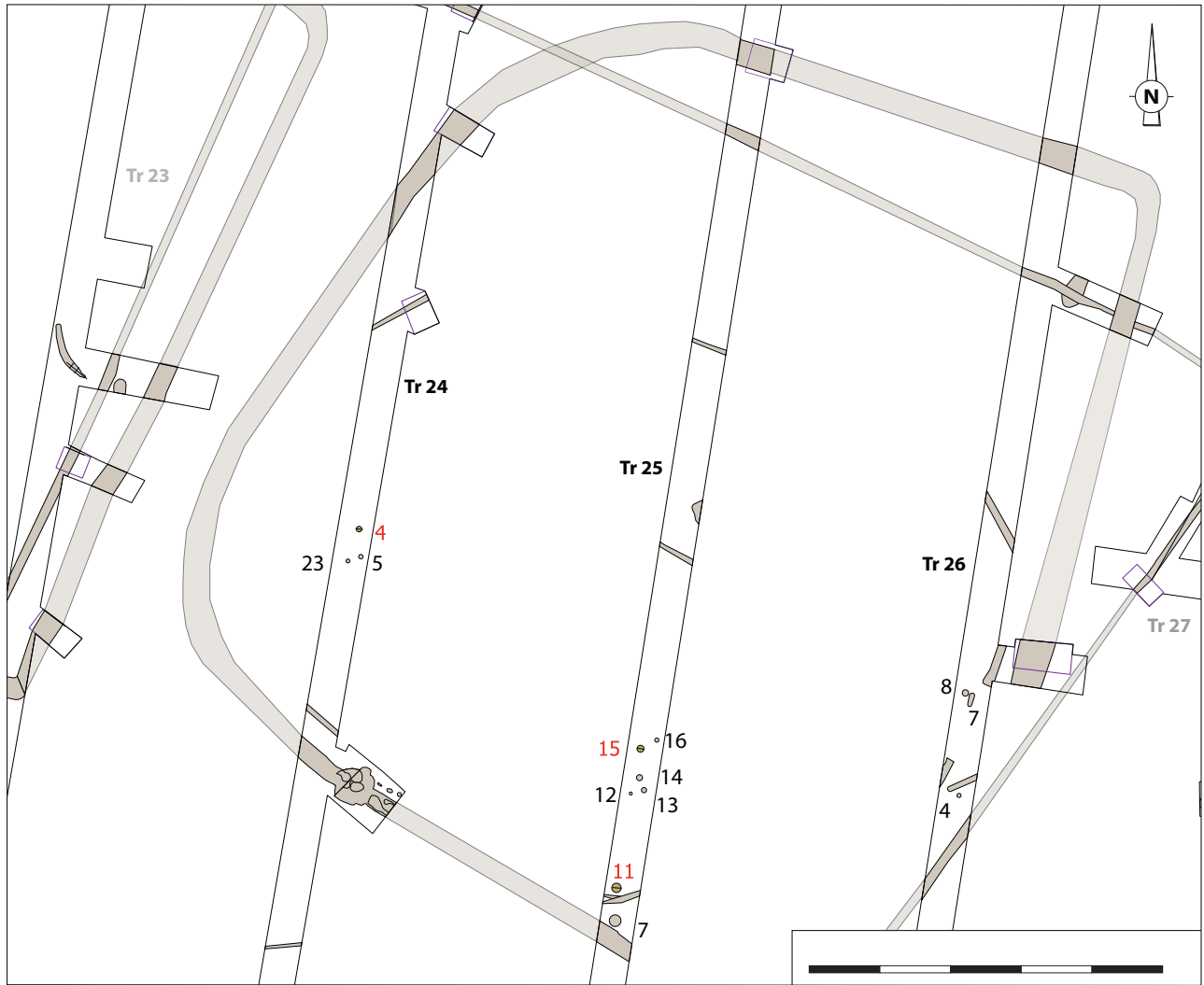
L'ensemble 2 (25.12 à 25.16)

Le deuxième ensemble se situe au sud de l'enclos, à 15 m au nord du fossé d'enclos 25.6 (Fig. 27). Il est composé de cinq trous de poteau de plan circulaire (25.12 à 25.16). Ils apparaissent à une profondeur de 0,3 m sous le niveau de sol actuel. Leur comblement observé en surface est composé de limon argileux brun foncé incluant quelques charbons de bois. Le trou de poteau 25.15 a été sondé manuellement (Fig. 29). Il mesure 0,56 m de diamètre pour une profondeur conservée sous décapage de 0,24 m. Ce trou de poteau adopte un profil régulier avec des bords abrupts et un fond plat. Un calage constitué de quelques blocs de quartz a pu être observé. Les autres trous de poteau de cet ensemble n'ont pas été sondés. Leurs modules oscillent entre 0,35 et 0,6 m de diamètre. Deux groupes se distinguent ainsi, un premier comprend deux trous de poteau de petit module (0,35 m de diamètre pour les faits 25.12 et 25.16), et le second trois trous de poteau de module supérieur (0,55 à 0,6 m de diamètre pour les faits 25.13 à 25.15).

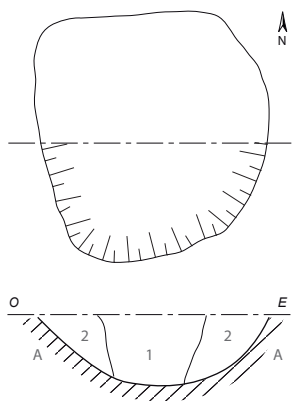
Aucune extension n'a été effectuée au niveau de ces cinq faits. La surface décapée réduite ne nous permet pas de restituer le plan et l'orientation du possible bâtiment correspondant à ces trous de poteau. Cet ensemble n'a livré aucun mobilier.

L'ensemble 3 (25.7 – 25.11)

Le troisième ensemble se situe à proximité du fossé d'enclos sud, à 8 m au sud de l'ensemble précédent (Fig. 27). Il comporte deux trous de poteau de plan circulaire (25.7 et 25.11) qui apparaissent à une profondeur de 0,3 m sous le niveau de sol actuel. Leur comblement observé en surface est composé de limon argileux brun moyen à brun foncé incluant quelques charbons de bois. Le trou de poteau 25.11 a été sondé manuellement (Fig. 30). Il mesure 0,68 m de diamètre pour une profondeur conservée sous décapage de 0,23 m. Ce trou de poteau adopte un profil régulier avec un fond plat et des bords abrupts. Un ressaut est présent sur son bord est. Son comblement a livré de la céramique datable de la fin de La Tène. Le trou de poteau 25.7 mesure 1 m de diamètre. Il n'a pas été sondé.

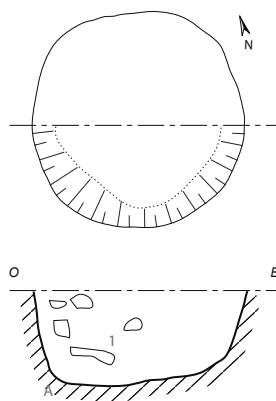


F. 24.4



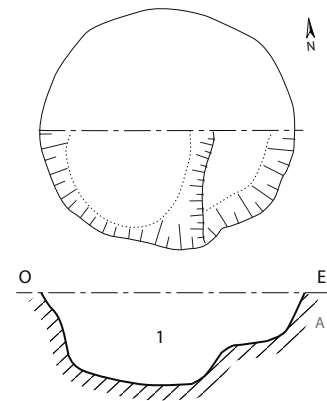
- 1 Limon argileux brun moyen, homogène et meuble, quelques charbons de bois
- 2 Argile sableuse brun clair à orangé, compact et hétérogène
- A Plaquette de micaschiste

F. 25.15



- 1 Limon argilo-sableux brun moyen, assez compact et hétérogène, quelques pierre de calage (quartz) et quelques charbons de bois
- A Micaschiste altéré

F. 25.11



- 1 Limon sableux brun moyen meuble et homogène avec quelques galets de quartz, charbons de bois, céramique
- A Altérite jaunâtre avec quelques galets de quartz



Fig. 27 Localisation et relevé des trous de poteaux identifiés dans l'enclos gaulois (DAO : E. Collado)



Fig. 28 Vue vers le nord du trou de poteau 24.4 (© équipe du diagnostic, Inrap)



Fig. 29 Vue vers le nord du trou de poteau 25.15 (© équipe du diagnostic, Inrap)



Fig. 30 Vue vers le nord du trou de poteau 25.11 (© équipe du diagnostic, Inrap)

L'ensemble 4 (26.4 – 26.7 – 26.8)

Un dernier ensemble se situe à proximité du fossé oriental de l'enclos, au niveau de la tranchée 26 (Fig. 27). Il comporte trois trous de poteau de plan circulaire (F 26.4, 26.7 et 26.8). Ils apparaissent à une profondeur de 0,3 m sous le niveau de sol actuel. Leurs dimensions en plan oscillent entre 0,4 et 0,8 m. Leur comblement observé en surface est composé de limon argileux brun moyen à brun foncé incluant quelques charbons de bois. Aucun d'entre eux n'a été testé. Les observations de surface indiquent un comblement très charbonneux pour 26.4, et la présence possible d'un double poteau pour 26.7. Aucune extension n'a été effectuée au niveau de ces trois structures. Au vu de leur positionnement, il est possible qu'ils participent à l'aménagement de l'entrée de l'enclos.

2.3.3.3 Une fosse ?

Le fait 26.19 a été dégagé partiellement lors de la réalisation de l'extension qui a permis de mettre en évidence le fossé d'enclos 26.16 (Fig 19). Son plan étant incomplet, sa nature exacte reste incertaine. Cette fosse mesure au minimum 2,7 m de long pour une largeur de 1,6 m. Les observations de surface indiquent qu'elle est recoupée par le fossé de parcelle 26.17. En surface, cent-onze tessons ont été recueillis pour un nombre minimum d'individu de deux, appartenant à un type courant dans les habitats laténiens.

2.2.3.4 Des fours

Une extension réalisée au nord du fossé d'enclos 24.7 a permis de mettre en évidence une aire de travail comportant au minimum trois fours (Fig. 31 et 32). Aucun sondage n'a été réalisé au niveau de ces fours dans le but de préserver l'intégrité de ces aménagements pour une éventuelle fouille à venir. Avant rebouchage, ce secteur a été recouvert par du géotextile. Les observations de surface ont permis de mettre en évidence une vaste fosse de 3,5 m de diamètre (fait 24.15) dont le comblement est composé de limon argileux brun beige incluant quelques charbons de bois. Elle vient recouper le comblement terminal du fossé d'enclos 24.7. À l'ouest, cette relation, bien que ténue est visible. À l'ouest en revanche, elle n'a pas été perçue, mais l'interruption de la concentration de blocs de granite dans le comblement du fossé au niveau de l'amorce de la fosse F 24.15 va dans le même sens. Au centre de cette grande fosse, au moins trois fours correspondant à plusieurs états ont été identifiés. Le bord sud-ouest de la fosse indique une légère rubéfaction permettant d'envisager l'existence d'un quatrième four.

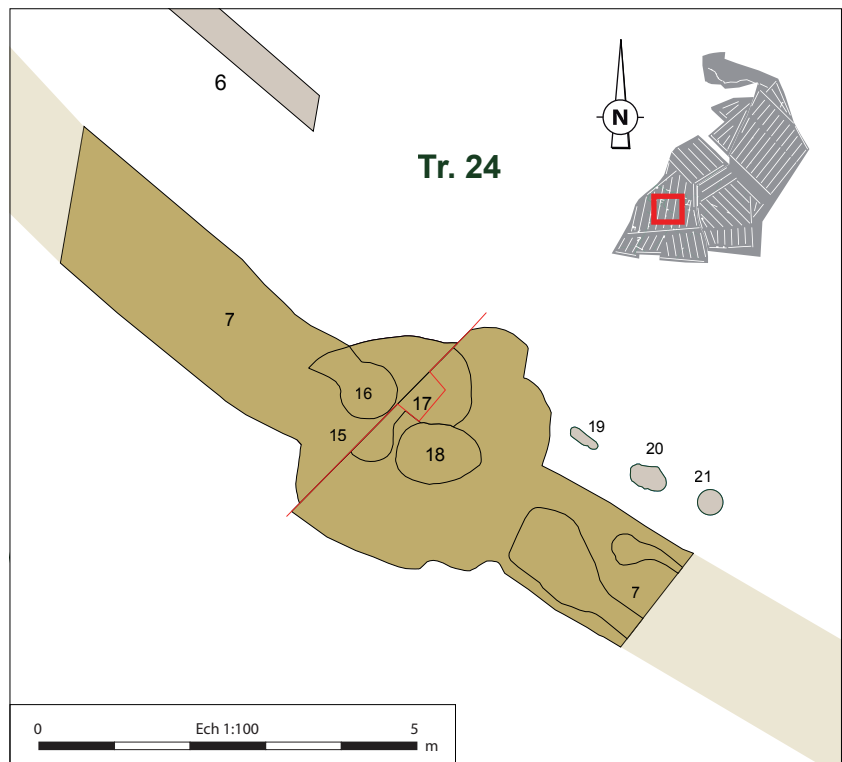
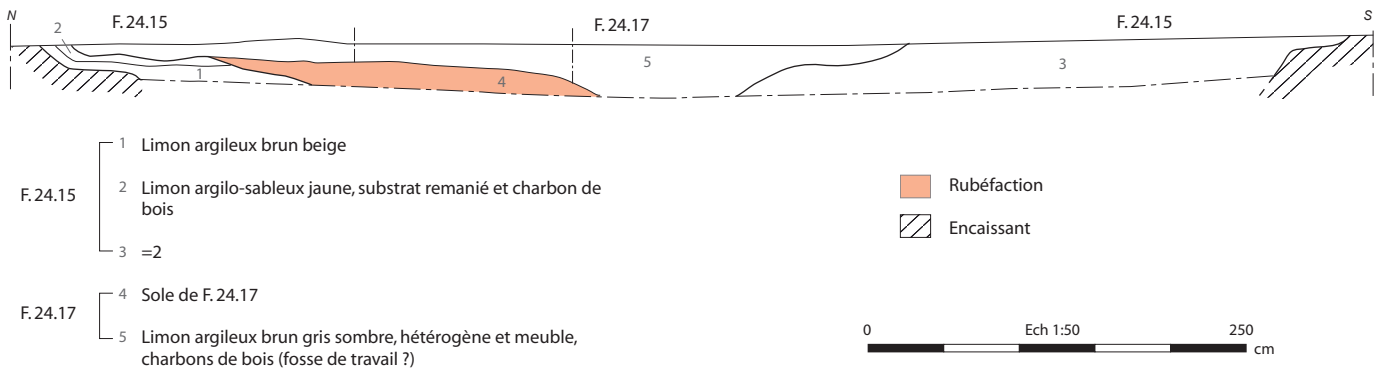
Tr. et F.75.3

Fig. 31 Plan détaillé des fours mis en évidence dans la tranchée 24 (DAO : E. Collado)



Fig. 32 Vue générale vers le sud du secteur des fours (© équipe du diagnostic, Inrap)

Le four 24.17

Le four 24.17 n'a pas été dégagé dans son intégralité. De plan ovale, il mesure 1 m de long au minimum pour une largeur de 0,9 m. Son comblement est constitué d'un limon argileux brun foncé incluant quelques charbons de bois et quelques blocs brûlés. Sa sole a été en partie dégagée (Fig. 33). Elle montre un pendage vers le sud pouvant indiquer que ce four a fonctionné à une période où le fossé d'enclos n'était pas encore intégralement comblé. De ce fait, il est antérieur aux fours 24.16 et 24.18.



Fig. 33 Vue de détail vers le sud-est de la sole du four 24.17 (© équipe du diagnostic, Inrap)

Le four 24.16

Le four 24.16 mesure 0,75 m de diamètre. Il est installé dans le comblement de la fosse 24.15 et recoupe le four 24.17. Ses parois sont rubéfiées sur tout son pourtour sur une épaisseur de 1 à 2 cm (Fig. 34). Son comblement de surface est constitué de limon argileux brun noir très charbonneux incluant quelques blocs de granite et de micaschiste.



Fig. 34 Vue de détail du four 24.16 (© équipe du diagnostic, Inrap)

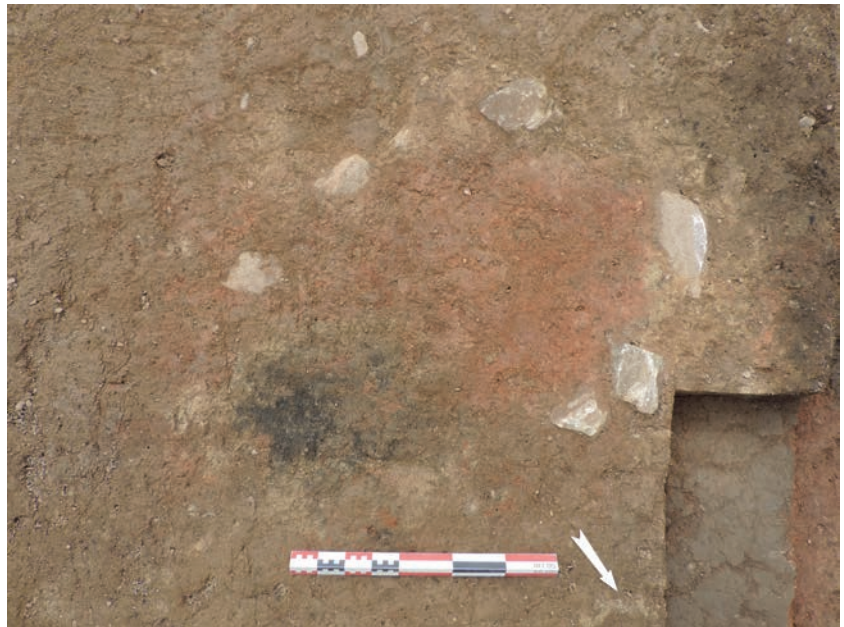


Fig. 35 Vue de détail du four 24.18
(© équipe du diagnostic, Inrap)

Le four 24.18

Le four 24.18 est de plan ovalaire. Il mesure 1,12 sur 0,8 m. On observe un apport d'argile jaune (substrat remanié) qui repose sur la sole du four 24.17. Sur cet apport, un lit de pierre (micaschiste) a été installé servant de base à la sole. Cette dernière est fortement arasée. On observe au nord-est une concentration de charbons de bois pouvant indiquer le cendrier (Fig. 35).

Au nord-est de ces fours, trois probables trous de poteau alignés s'organisant dans l'axe du fossé d'enclos 24.7 ont été observés (24.19 à 24.21). Ils sont distants de 0,5 m du bord interne fossé d'enclos (Fig. 31). Ils n'ont pas été testés. La vision partielle de ce secteur ne permet pas de les mettre en relation avec les fours.

2.3.4 Les aménagements observés en extérieur de l'enclos

Plusieurs aménagements observés en extérieur de l'enclos peuvent être rattachés à l'occupation gauloise.

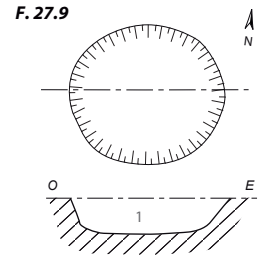
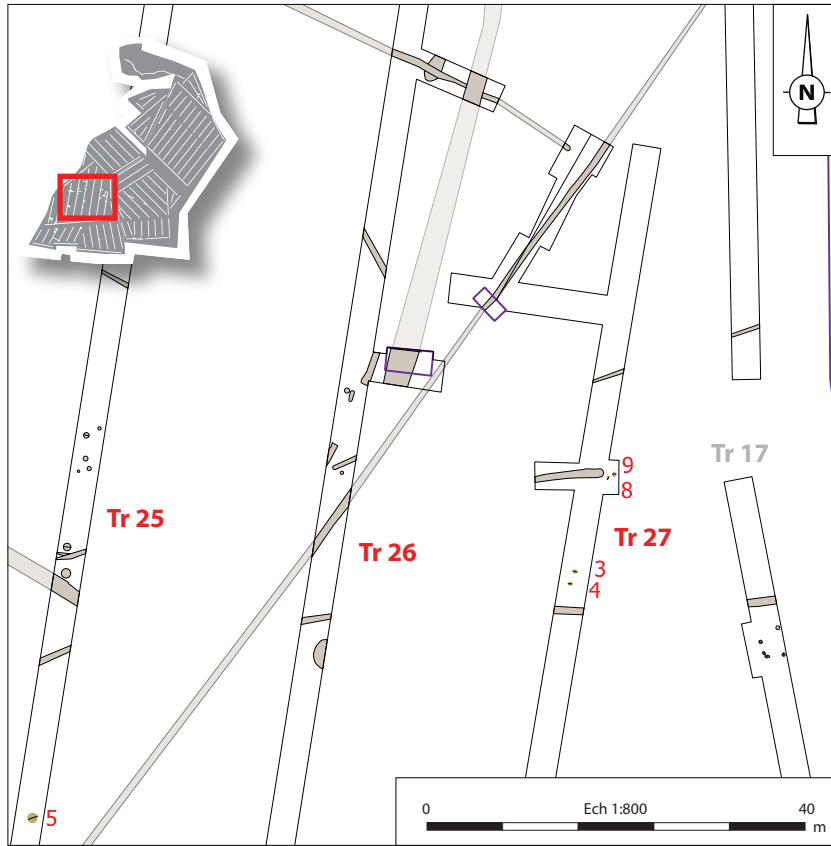
2.3.4.1 des trous de poteau situés à proximité de l'enclos

Quatre trous de poteau ont été observés en dehors de l'enclos, au niveau de la tranchée 27. Ils apparaissent à une profondeur de 0,4 m sous le niveau de sol actuel. Leur comblement, unique, est constitué de limon sableux brun moyen incluant quelques fragments de plaquettes de micaschiste et quelques rares charbons de bois.

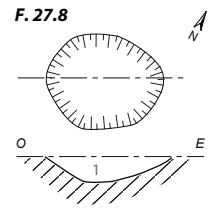
Les faits 27.3 et 27.4 ont été sondés manuellement (Fig. 36 et Fig. 37). Leur diamètre est compris entre 0,3 et 0,4 m pour une profondeur conservée de 0,25 m. Ils adoptent un profil régulier, avec des bords verticaux et un fond plat. Aucun négatif de poteau n'est visible dans les coupes observées.

Les faits 27.8 et 27.9 sont situés dans l'extension effectuée au niveau du fossé moderne 27.2 (Fig. 36 et Fig. 38). Ils sont tout deux très arasés, avec des profondeurs conservées qui oscillent entre 0,06 et 0,1 m. Leur plan est circulaire et leur profil en cuvette.

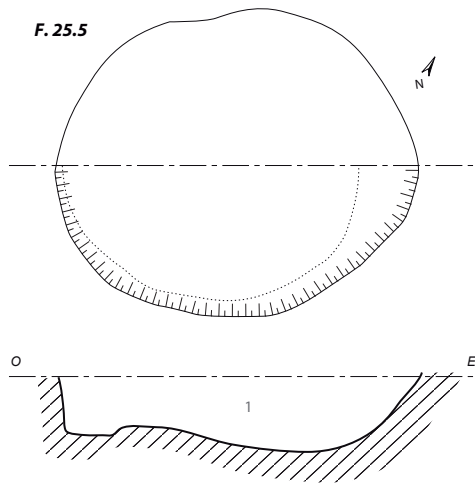
L'interruption du fossé 27.2 visible sur le plan au niveau de l'extension



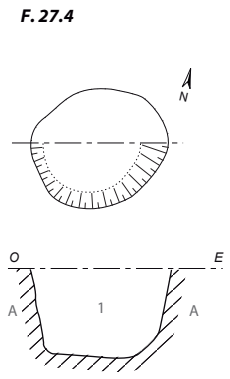
- 1 Limon argileux brun moyen meuble et homogène, rares charbons de bois
- A Limon sableux brun orangé hétérogène et compact, nombreux fragments de plaquettes de micaschiste millimétriques et rares galets de quartz



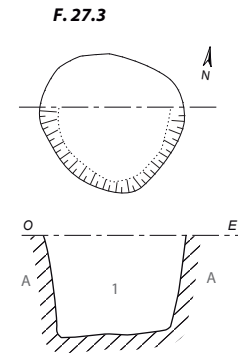
- 1 Limon argileux brun moyen meuble et homogène, rares charbons de bois
- A Limon sableux brun orangé hétérogène et compact, nombreux fragments de plaquettes de micaschiste millimétriques et rares galets de quartz



- 1 Limon argileux brun moyen, homogène et meuble, quelques charbons de bois, un fragments de céramique



- 1 Limon argileux brun moyen, homogène et meuble, quelques charbon de bois
- A Plaquette de micaschiste



- 1 Limon argileux brun moyen, homogène et meuble, quelques charbon de bois
- A Plaquette de micaschiste



Fig. 36 Localisation et relevés de trous de poteau situés en extérieur de l'enclos (tranchées 25 et 27) (DAO : E. Collado)

Fig. 37 Vue vers le nord du trou de poteau 27.3 (© équipe du diagnostic, Inrap)





Fig. 38 Vue vers le nord du trou de poteau 27.9 (© équipe du diagnostic, Inrap)



Fig. 39 Vue zénithale du trou de poteau 25.5 (© équipe du diagnostic, Inrap)

correspond à un état de conservation très médiocre et un arasement total du fossé. Ce fossé n'est pas associé à l'occupation gauloise ; il a livré des fragments de verre contemporain, et est orienté E/O, en adéquation avec le parcellaire contemporain.

Le rattachement de ces quatre trous de poteau à l'occupation de la fin de La Tène n'est pas assurée au vu de la découverte, à une vingtaine de mètres plus à l'est, de plusieurs tessons de céramiques datés de la fin du Bronze final ou du début du 1^{er} âge du Fer.

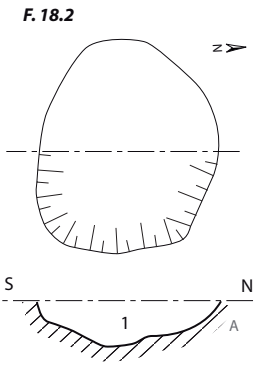
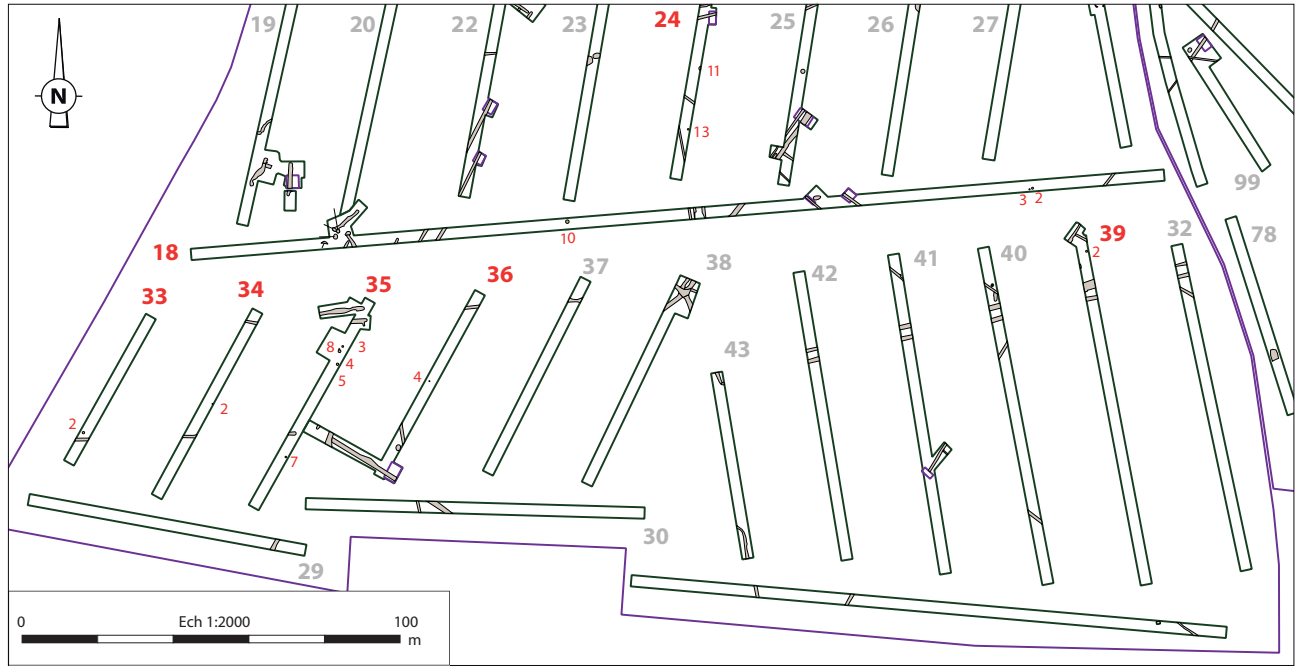
Le fait 25.5 a été sondé manuellement (Fig. 36 et Fig. 39). Il mesure 1 m sur 0,8 m pour une profondeur conservée de 0,2 m. Il adopte un profil régulier, avec des bords verticaux et un fond plat. Son comblement, unique, est constitué de limon argilo-sableux brun moyen homogène et meuble incluant quelques charbons de bois. L'unique tesson de céramique découvert dans son comblement est daté de la fin de La Tène.

2.3.4.2 Des trous de poteau isolés non datés

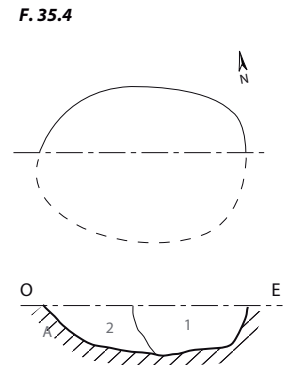
Au sud de l'enclos, plusieurs creusements anthropiques de type fosse ou trou de poteau ont été identifiées. Leurs éparpillements et l'absence de mobilier ne permettent pas de les rattacher à une des occupations en particulier. Il s'agit des faits 18.2, 18.3, 18.10, 24.11, 24.13, 33.2, 34.2, 35.3 à 35.5, 35.7, 35.8, 36.4 et 39.2 (Fig. 40).

2.3.4.3 un parcellaire associé ?

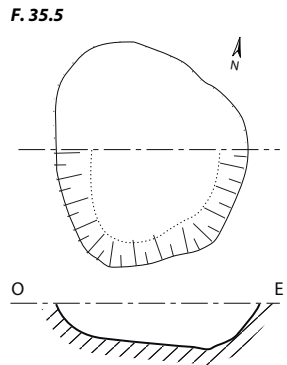
Aucun fossé de parcellaire associé à l'enclos de la fin de La Tène n'a été mis en évidence. La trame parcellaire orthogonale observée sur toute la partie sud de l'emprise du diagnostic (voir partie II.4.5) semble avoir été mise en place après l'abandon de l'enclos. Plusieurs éléments de chronologie relative ainsi que le mobilier céramique vont dans ce sens. On observe que la ligne 15 du parcellaire traverse l'enclos gaulois (Fig. 60). Les observations de surface effectuées au niveau de la jonction entre d'une part 26.11 et le fossé d'enclos 26.16 et d'autre part 26.11 et la fosse 26.19 indiquent la postériorité de la trame parcellaire par rapport à l'occupation de l'enclos n° 1.



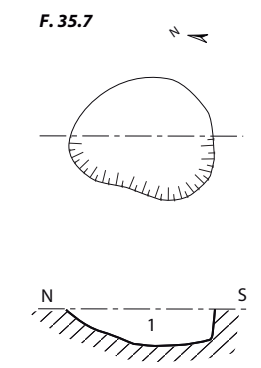
- 1 Limon argileux brun foncé avec des fragments de plaquettes de micaschiste
- A Argile d'altération avec quelques galets de quartz



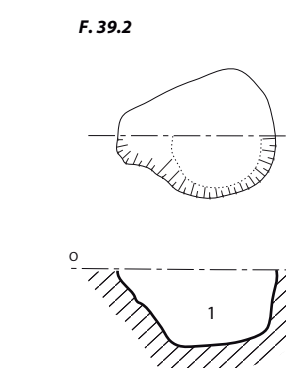
- 1 Limon argileux brun moyen, compact et homogène, quelques cailloux
- 2 Limon argilo-sableux brun clair, hétérogène et compact, quelques cailloux
- A Altérite avec quelques graviers de quartz et rares plaquettes de micaschiste



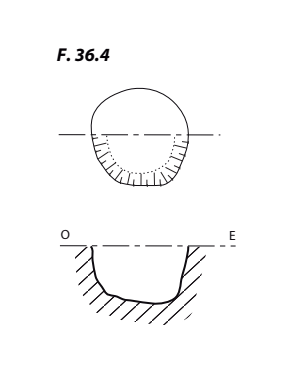
- 1 Limon argilo-sableux brun moyen, hétérogène et compact, quelques poches de substrat remanié
- A Altérite avec quelques graviers de quartz et rares plaquettes de micaschiste



- 1 Limon argileux brun moyen, homogène et meuble, rares charbons de bois
- A Altérite sableuse



- 1 Limon argileux brun foncé, homogène et meuble, nombreux charbons de bois
- Limons argilo-sableux brun hétérogène et compact, nombreux fragments de plaquettes de micaschiste centimétrique et galets de quartz
- A Altérite sableuse



- 1 Limon argileux brun moyen, homogène et meuble avec présence de quelques charbons de bois
- A Altérite sableuse



Fig. 40 Localisation des trous de poteau isolés et relevés des faits 18.2, 39.2, 35.4, 35.5, 35.7 et 36.4 (DAO : E. Collado)

2.3.5 Synthèse sur l'occupation gauloise

Notre opération de diagnostic a permis d'aborder un enclos dont l'existence avait été révélée dès 1991 par prospection aérienne. Intégralement sis dans l'emprise du diagnostic, il dessine un plan subtrapézoïdal et couvre une surface d'environ 4 500 m². Il se situe à une altitude comprise entre 44 et 45 m NGF, sur le haut d'un versant exposé à l'ouest. Le mobilier céramique découvert, assez abondant, indique une occupation s'étalant sur près de trois siècles, entre le III^e et la première moitié du I^{er} siècle avant notre ère. Le fossé d'enclos, sondé à trois reprises, indique plusieurs phases d'entretien et de réfection, et l'existence d'un talus interne est attestée pour ses façades nord et ouest. L'entrée de l'enclos est située sur sa façade orientale. Plusieurs aménagements structurant l'espace interne ont été identifiés : trous de poteau, fosses, structures de combustions, ainsi qu'un possible enclos ovalaire interne dont l'accès se situe dans l'alignement de l'entrée de l'enclos principal. Plusieurs concentrations de trous de poteau localisées en partie sud de l'enclos indiqueraient l'existence de plusieurs bâtiments dont les plans n'ont pas pu être abordés dans le cadre du diagnostic. En périphérie de l'enclos, d'autres trous de poteau indiquent que l'occupation gauloise s'étend hors enclos, plus particulièrement au sud et à l'est de celui-ci. Aucun parcellaire associé à l'enclos n'a été mis en évidence.

Dans l'ensemble, les structures testées sont bien conservées. Le mobilier recueilli en surface de décapage et dans les sondages effectués dans les diverses structures est assez abondant et varié, indiquant le caractère domestique de cette occupation : la céramique comporte de nombreux fragments d'amphore, le macro-outillage est bien représenté (meules rotatives et va-et-vient en granite), et quelques scories sont également attestées.

2.4. Un enclos fossoyé occupé entre la fin du 1^{er} siècle avant notre ère et le 1^{er} siècle de notre ère

2.4.1 Présentation générale

Le second enclos abordé est situé au niveau des parcelles cadastrales CK 50, 130 et 132 (enclos n° 2). Il dessine un plan trapézoïdal d'environ 60 m sur 50 m, couvrant ainsi une surface d'environ 3 000 m². Situé à l'ouest et à proximité immédiate de l'enclos gaulois précédemment décrit, il est intégralement sis dans l'emprise du diagnostic. Il se situe à une altitude comprise entre 42,5 et 44 m NGF, sur un versant exposé à l'ouest. Cet enclos, également connu par prospection aérienne (Fig. 18, Bertrand 1991), restait non daté jusqu'à ce jour. Son entrée se situe au centre de sa façade méridionale. Dans la surface enclose, divers aménagements ont été reconnus. Un bâtiment sur quatre poteaux a été identifié au nord-ouest de la surface enclose, et plusieurs fossés de partition ont été identifiés (Fig 41). Le mobilier céramique découvert dans le comblement du fossé d'enclos et des aménagements internes indique une brève occupation pour cet ensemble, située entre le milieu du I^{er} siècle avant notre ère et la fin du I^{er} siècle de notre ère. En extérieurs de l'enclos, un parcellaire orthogonal couvrant une surface d'au moins 10 hectares a été identifié (voir partie II.4.5). Il est pour partie contemporain de l'enclos n° 2.

2.4.2 Le fossé d'enclos

Les fossés de l'enclos dessinent un trapèze régulier d'environ 65 m sur 50 m, orienté sud-ouest/nord-est. Ils délimitent un espace d'environ 3 200 m². Au

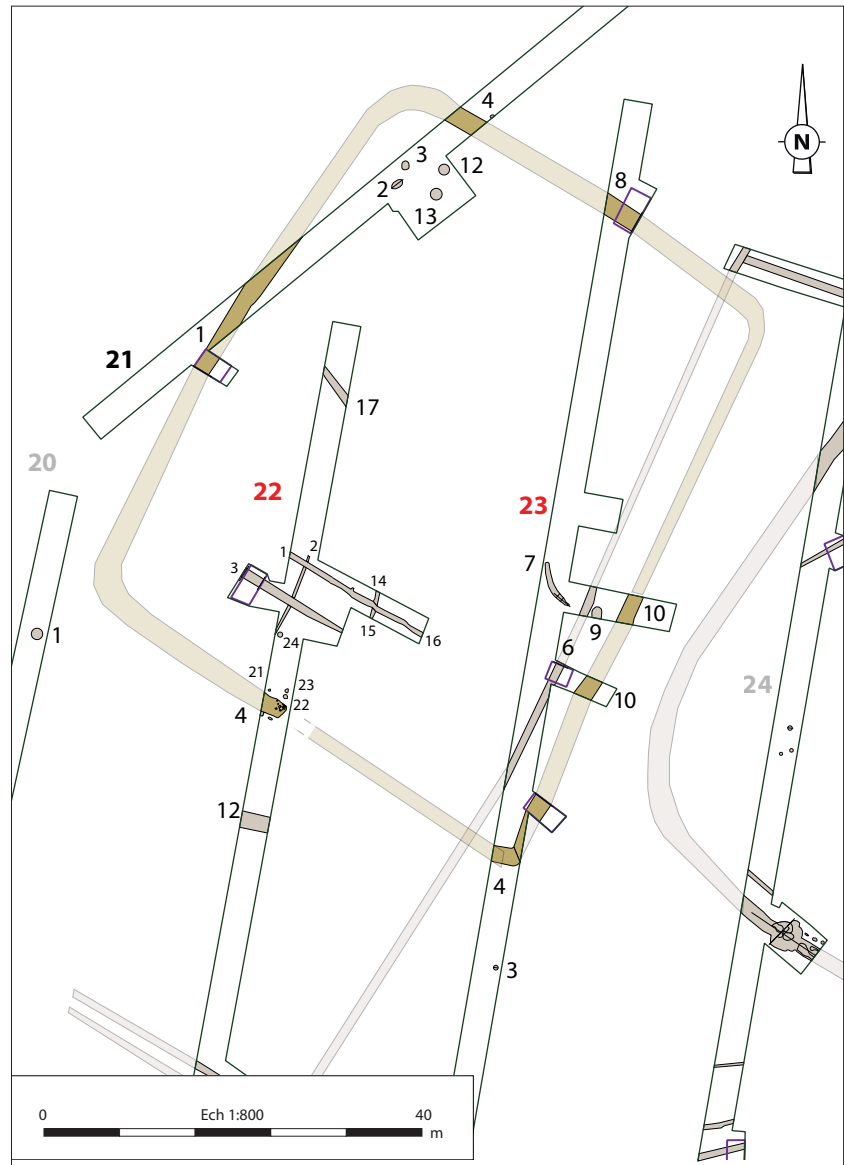


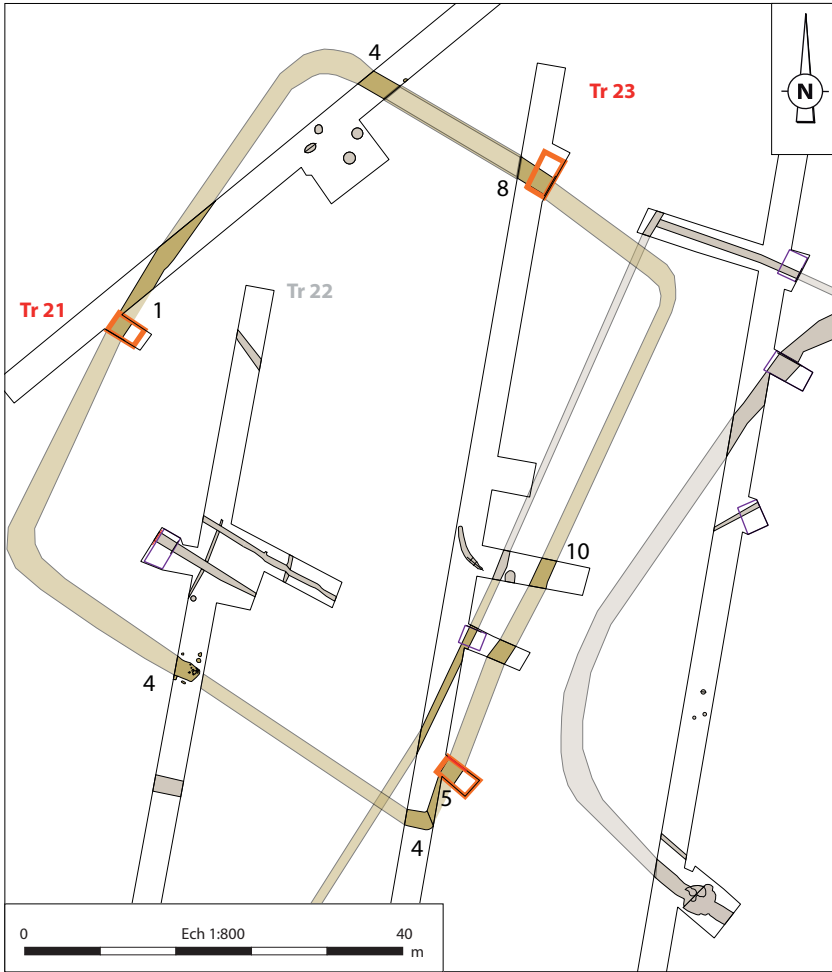
Fig. 41 Plan détaillé de l'enclos antique
(DAO : E. Collado)

total, trois sondages ont été effectués, au niveau de ses côtés nord, ouest et est (Fig. 42). Son entrée a été mise en évidence sur son côté sud.

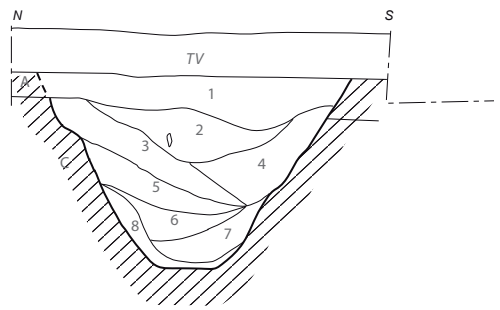
2.4.2.1 Le côté nord

Le fossé 21.4 / 23.8 se développe sur le côté nord de l'enclos. Reconnu sur une longueur de 25 m, sa longueur totale restituée est d'environ 45 m. Il suit une orientation ENE/OSO. Au niveau du sondage mécanique réalisé dans la tranchée 23, il apparaît en coupe à une profondeur d'environ 0,3 m sous le niveau de sol actuel. Sa largeur à l'ouverture est de 2,1 m et sa profondeur conservée est de 1,26 m. Son profil est en V et son fond en cuvette (Fig. 42 et Fig. 43).

Son comblement stratifié - huit couches ont été individualisées - indique l'existence d'au moins deux états distincts pour ce fossé, avec un curage bien visible à la base des US 3 et 4 qui a entraîné un léger élargissement. La première séquence (phase 1) montre à sa base un dépôt fin composé de limon argileux mêlé de micaschiste altéré pouvant provenir de l'érosion des parois du fossé (US 8). Les niveaux sus-jacents (US 5 à 7) sont composés d'argile limoneuse brun moyen à brun gris incluant de nombreux cailloux de petit module, principalement des fragments de plaquettes de micaschiste. Ces apports pourraient résulter de l'érosion des sols périphériques ou

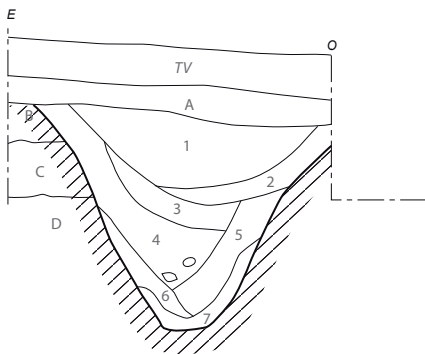


F. 23.8



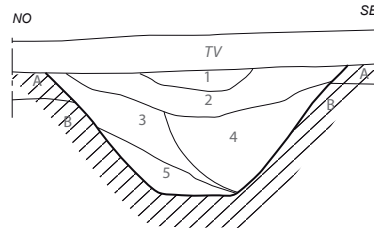
- 3 1 Limon argileux brun moyen et inclusions de A en quantité moyenne, rares charbons de bois
- 2 2 Limon argileux brun moyen, avec gravier de micaschiste (quantité variable de rare à moyenne), céramique
- 3 Argile limoneuse brun gris, plaquettes de micaschiste (quantité variable de rare à moyenne)
- 4 Limon argileux brun gris sombre, peu d'inclusion lithique
- 5 Argile limoneuse gris sombre, avec graviers de micaschiste (quantité variable de rare à moyenne)
- 1 6 Limon argileux brun moyen avec graviers et cailloux de micaschiste (quantité variable de rare à moyenne)
- 7 Limon argileux brun moyen avec rares graviers
- 8 Limon argileux brun moyen avec inclusions de plaquettes de micaschiste
- A Interface TV/substrat : limon argileux brun clair, avec poches de terre végétale
- B Limon argileux brun jaunâtre avec inclusions importantes de galets de quartz et plaquettes de micaschiste
- C Plaquettes de micaschiste altérées

F. 21.1



- 2 1 Argile limoneuse brun moyen avec plaquettes de micaschiste et galets de quartz en quantité moyenne
- 2 Argile limoneuse brun clair avec rares inclusions de plaquettes de micaschiste et galets de quartz
- 3 Argile limoneuse brun moyen (inclusions plaquettes et quartz idem que l'us 1), avec rares charbons de bois
- 4 Argile brun-gris, avec inclusions de galets de quartz et granite altéré en quantité rare, et plaquettes de micaschiste en quantité importantes, quelques charbons de bois
- 1 5 Argile limoneuse brun moyen peu d'inclusions lithiques et rares charbons de bois
- 6 Limon argileux brun gris hétérogène avec inclusions de nodules de micaschiste jaunâtre et rares charbons de bois
- 7 Limon argileux brun-gris hétérogène avec inclusions de nodules de micaschiste jaunâtre et rares charbons de bois
- A Limon argileux brun moyen, inclusions moyennes de cailloux
- B Limon argileux brun jaunâtre, plaquettes des micaschiste et rares galets de quartz
- C Niveau sableux avec plaquettes et cailloux de micaschiste (en quantité moyenne à importante)
- D Limon argileux brun orangé avec veinage de micashiste altéré

F. 23.5



- 2 1 Limon argileux brun moyen avec inclusions de graviers de micaschiste en quantité variable (de moyen à important)
- 2 Idem à l'US 1 mais moins d'inclusions de graviers de micaschiste
- 3 Argile limoneuse brun moyen à brun clair, légèrement sableuse, avec de rares cailloux
- 1 4 Argile limoneuse, idem à l'Us 3, avec inclusions de galets de quartz et de rares petites plaquettes de micaschiste
- 5 Idem à l'Us 4 avec inclusions de substrat remanié (B)
- A Interface TV/substrat : limon argileux brun clair, avec poches de terre végétale
- B Micaschiste en plaquette altérées

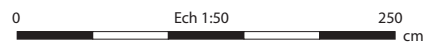


Fig. 42 Localisation des sondages mécaniques réalisés dans le fossé d'enclos antique et relevé des coupes (DAO : E. Collado)



Fig. 43 Vue de la coupe sud-est du fossé d'enclos 23.8 (© équipe du diagnostic, Inrap)



Fig. 44 Vue de la coupe nord-est du fossé d'enclos 23.5 (© équipe du diagnostic, Inrap)

de l'effritement naturel des parois du fossé. L'US 7 quant à elle pourrait correspondre à une première phase d'érosion d'un talus interne. La seconde séquence montre un léger élargissement du fossé, qui adopte alors un profil plus évasé et un fond en cuvette. La profondeur du fossé pour ce deuxième état est conservé sur 0,85 m. Le comblement est constitué par une alternance de 3 couches distinctes (US 2, 3 et 4). Les US 2 et 3 sont constituées de limon argileux brun moyen à brun gris incluant de nombreux fragments de plaquettes de micaschiste. Il semble que ces dépôts se sont mis en place rapidement et correspondrait à l'arrêt de l'entretien du fossé consécutif à l'abandon du site. L'US 4, en appui contre la paroi sud du fossé, pourrait quant à elle correspondre à l'érosion d'un talus interne. Du mobilier céramique daté du I^{er} siècle de notre ère a été découvert dans l'US 2.

2.4.2.2 Le côté est

Le fossé 23.5 / 23.10 se développe sur le côté est de l'enclos. Il a été observé dans les deux extensions réalisées à l'est de la tranchée 23. On peut restituer sa longueur totale à environ 60 m. Il suit une orientation SOS/NEN. Au

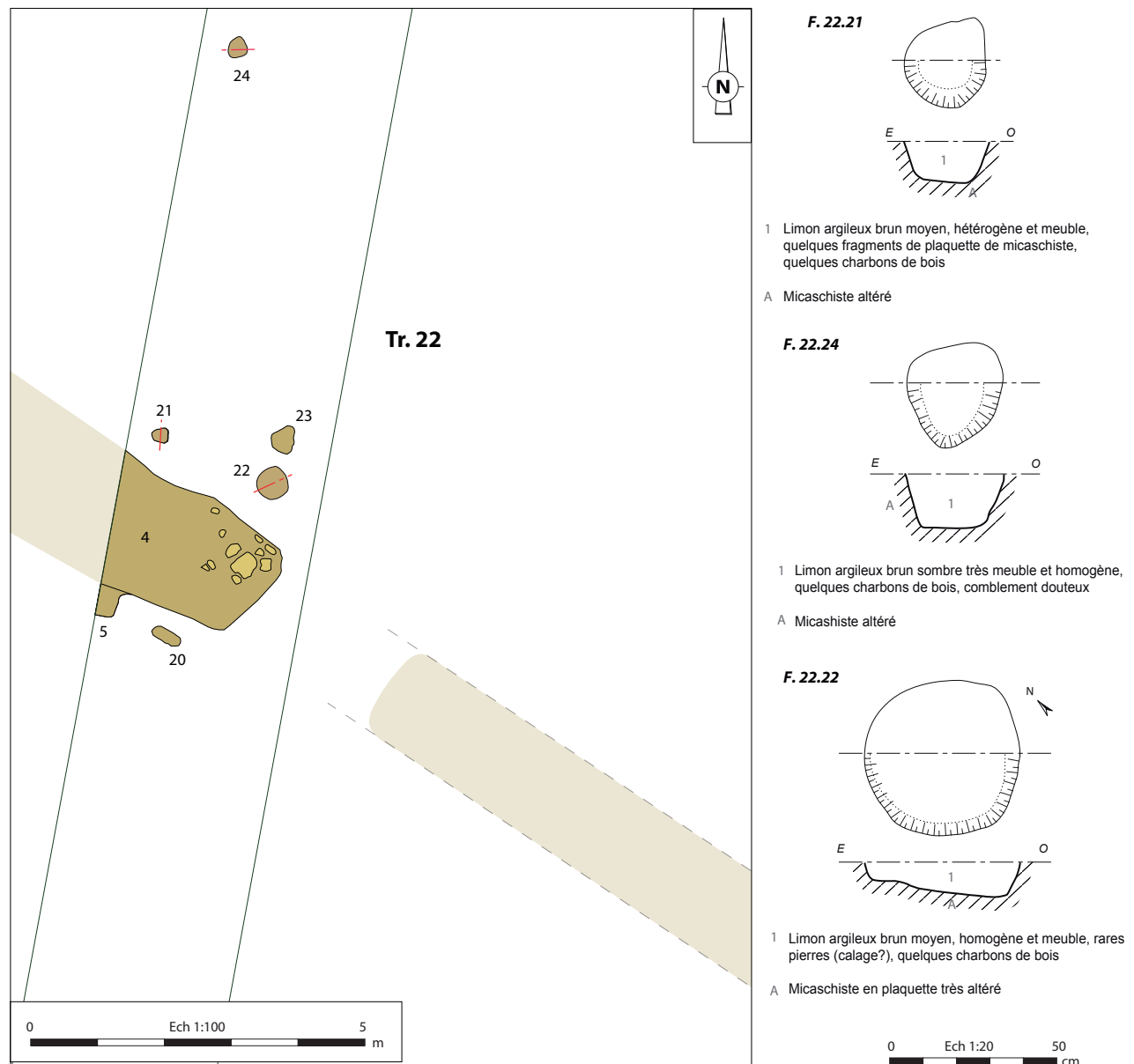


Fig. 45 Plan de détail de l'interruption du fossé d'enclos 22.4 et des aménagements associés et relevé des faits 22.21, 22.23 et 22.24 (DAO : E. Collado)

niveau du sondage mécanique réalisé à proximité de l'angle sud-est de l'enclos, il apparaît en coupe à une profondeur d'environ 0,24 m sous le niveau de sol actuel. Sa largeur à l'ouverture est de 2 m et sa profondeur conservée est de 0,82 m. Son profil est en cuvette (Fig. 42 et Fig. 44). Son comblement stratifié - cinq couches ont été individualisées - indique un comblement simple. Une première couche, en appui sur la paroi sud du fossé (US 5) et constituée principalement de fragments de plaquettes de micaschiste altéré pourrait provenir de l'érosion d'un talus interne. Les couches sus-jacentes (US 3 et 4) sont constituées d'argile limoneuse brun clair à brun moyen dans laquelle les fragments de plaquettes de micaschiste sont beaucoup plus rares.

L'US 2, constituée de limon argileux brun moyen plus organique que les couches sous-jacentes correspondrait au colmatage du fossé après son abandon.

2.4.2.3 Le côté sud

Le fossé 22.4 / 23.4 se développe sur le côté sud de l'enclos. On peut restituer la longueur de cette façade à environ 50 m. L'interruption du fossé 22.4, matérialisant l'entrée de l'enclos, a été observée (Fig. 45). Cette entrée, repérée en prospection aérienne, et dont la largeur exacte reste



Fig. 46 Vue d'ensemble vers le nord-ouest de l'interruption du fossé d'enclos 22.4 (© équipe du diagnostic, Inrap)



Fig. 47 Vue vers le nord du trou de poteau 22.22 (© équipe du diagnostic, Inrap)

inconnue à l'issue du diagnostic, se situe à équidistance des angles sud-ouest et sud-est de l'enclos. Aucun sondage n'a concerné ce côté de l'enclos, mais un nettoyage de surface a été réalisé au niveau de l'interruption de 22.4 (Fig. 46). Au niveau de l'angle intérieur de l'extrémité du fossé, notons l'existence d'une concentration de gros blocs de granite. Plusieurs tessons de céramique antique ont été récoltés en surface du fossé.

Cinq trous de poteau ont été mis en évidence au niveau de l'interruption du fossé 22.4 (Fig. 45). Ils pourraient pour certains correspondre à des aménagements liés à un aménagement d'entrée (porche ?). Quatre d'entre eux sont situés à l'intérieur de l'enclos (22.21 à 22.24). Le fait 22.22 a été sondé manuellement (Fig. 47). De plan circulaire, il mesure 0,8 m de diamètre pour une profondeur conservée de 0,1 m. Il est rempli par un sédiment brun moyen incluant quelques charbons de bois et conserve quelques pierres de calage. Un autre trou de poteau montre un plan et un comblement similaire avec également des pierres de calage (22.23). Il est situé à proximité immédiate et au nord du fait 22.22. Un troisième ancrage de poteau se situe 2 m plus à l'ouest (22.21). De plan circulaire, son module est plus modeste avec 0,25 m de diamètre. Le dernier est localisé à environ 6 m au nord de l'entrée de l'enclos (22.24). Son plan, proche du carré, mesure 0,3 m de côté. Il est conservé sur une profondeur de 0,17 m. Son profil adopte un fond plat et des bords évasés. Son comblement est constitué d'un limon argileux brun très foncé incluant quelques charbons de bois.

Une anomalie dont l'origine anthropique n'est pas assurée a également été observée à 0,3m du bord extérieur du fossé d'enclos (22.20). Elle adopte un plan ovale de 0,5 sur 0,25m. Son comblement de surface, plus clair que le comblement observé pour les trous de poteau 22.21 à 22.23 comprend une composante de substrat remanié plus importante.

2.4.2.4 Le côté ouest

Le fossé 21.1 se développe sur le côté ouest de l'enclos. On peut restituer sa longueur totale à environ 60m. Il suit une orientation NEN/SOS. Au niveau du sondage mécanique réalisé dans la tranchée 21, il apparaît en coupe à une profondeur d'environ 0,45m sous le niveau de sol actuel. Sa largeur à l'ouverture est d'environ 2,2m et sa profondeur conservée est de 1,44m. Son profil est en V et son fond en cuvette (Fig. 42 et Fig. 48). Son comblement stratifié – sept couches ont été individualisées - indique l'existence d'au moins deux états distincts pour ce fossé, avec un curage bien visible à la base de l'US 2.

La première séquence (phase 1) montre une succession d'apports pouvant provenir de différents processus érosifs (US 3 à 7). L'US 4, qui comporte une part importante de galets de quartz et de plaquettes de micaschiste pourrait correspondre à l'érosion d'un talus interne. L'US 3, dont le comblement est assez charbonneux, a livré un lot important de tessons de céramique caractéristique d'un assemblage de la seconde moitié du Ier siècle de notre ère.

La seconde séquence adopte un profil plus évasé et un fond en cuvette. La



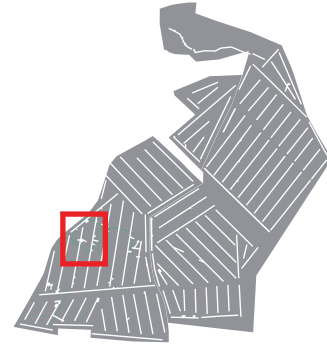
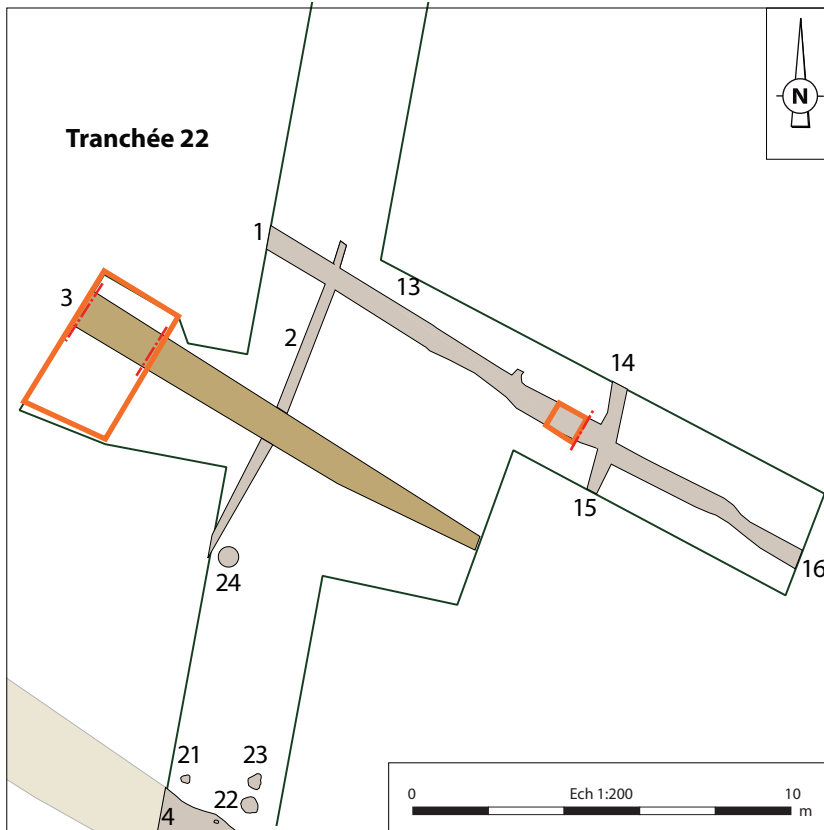
Fig. 48 Vue de la coupe sud-ouest du fossé d'enclos 21.1 (© équipe du diagnostic, Inrap)

profondeur du fossé pour ce deuxième état est conservé sur 0,6m. Il est comblé par deux niveaux distincts qui pourraient correspondre à l'arrêt de l'entretien du fossé consécutif à l'abandon du site.

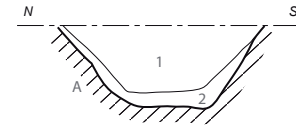
2.4.3 Les aménagements observés dans l'enclos

2.3.3.1 Les fossés de partition de l'enclos

Plusieurs fossés ont été observés à l'intérieur de la surface enclose. Une extension a été réalisée au niveau de la tranchée 22, à 6m au nord de l'entrée de l'enclos. Le fossé 22.3 a été sondé mécaniquement et le fossé 22.13 a fait l'objet d'un sondage manuel (Fig. 49).

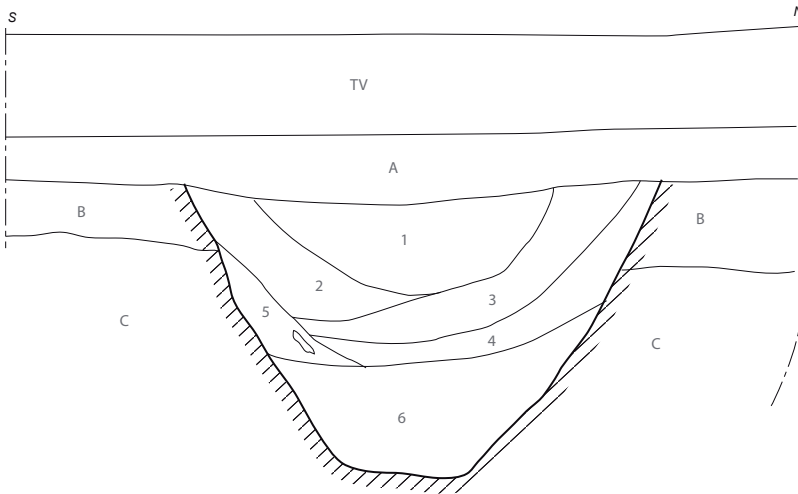


F. 22.13



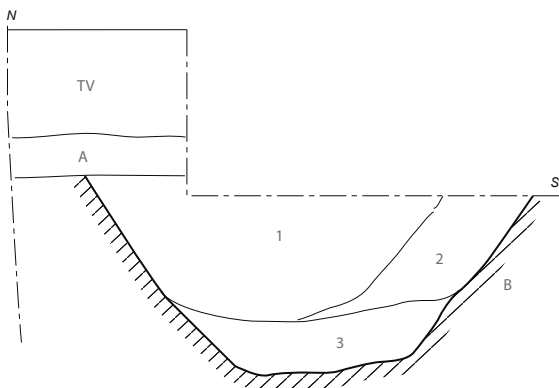
- 1 Limon argileux brun moyen, homogène et meuble, quelques charbons de bois, graviers et rares cailloux, céramique
- 2 Substrat remanié, limon brun clair, nombreuses pierres
- A Limon sableux brun gris avec de nombreuses plaquettes de micaschiste

F. 22.3 - coupe ouest



- 1 Limon argileux brun sombre mélangé à des nodules brun beige (de B) meuble et hétérogène, quelques fragments de plaquettes de micaschiste
- 2 Limon argileux brun beige avec fragments de plaquettes de micaschiste mélangé à quelques nodules brun sombre (similaire à l'US 1)
- 3 Limon argileux brun moyen avec quelques pierres (proche de A)
- 4 Limon argileux brun moyen avec nombreux graviers et plaquettes de micaschiste
- 5 Limon argileux brun moyen avec quelques pierres, céramique
- 6 Limon argileux brun moyen avec graviers, plaquettes de micaschiste et galets de quartz
- A Limon argileux brun moyen avec nombreux cailloux
- B Limon argileux brun sombre avec fragments de plaquettes de micaschiste
- C Altérite de micaschiste brun orangé avec taches d'oxydation

F. 22.3 - coupe est



- 1 Limon argileux brun moyen mélangé à des nodules brun beige
- 2 Limon argileux brun moyen avec quelques pierres (proche de A)
- 3 Limon argileux brun moyen avec nombreux graviers de micaschiste
- A Limon argileux brun moyen avec nombreux cailloux
- B Altérite de micaschiste brun orangé avec taches d'oxydation

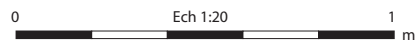


Fig. 49 Plan de détail des aménagements fossoyés de la tranchée 22 et relevé des coupes des fossés 22.3 et 22.13 (DAO : E. Collado)

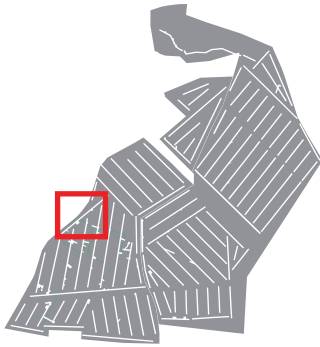


Fig. 50 Vue de la coupe ouest du fossé 22.3
(© équipe du diagnostic, Inrap)

Le fossé 22.3 est parallèle au fossé sud de l'enclos. Il apparaît à une profondeur de 0,44 m sous le niveau de sol actuel. Le sondage mécanique effectué montre un profil régulier à fond plat et bords évasés. Il mesure 1,26 m de large pour une profondeur conservée de 0,74 m au niveau de la coupe ouest du sondage (Fig. 50), et 0,54 m au niveau de la coupe est. Une marche créant un ressaut a été observé lors de la réalisation du sondage, expliquant cette variation de profondeur. Son comblement stratifié indique plusieurs curages successifs. A l'issue du diagnostic, la fonction de ce fossé reste indéterminée. Il pourrait s'agir d'un élément structurant l'espace interne de l'enclos. Le mobilier céramique provenant de son comblement est daté des dernières décennies du I^{er} siècle avant notre ère au début du I^{er} siècle de notre ère. Notons la découverte d'un tesson de céramique daté du haut-Moyen-âge (VIII-IX^e siècles) en surface de décapage du fait 22.1 (voir partie II.6.5). La proximité de l'occupation alto-médiévale de Kerlébaut (Fig. 4, n° 12), abordé récemment lors d'un diagnostic archéologique (Crowch 2012), pourrait expliquer la présence de ce tesson.



Fig. 51 Vue de la coupe sud-est du fossé 22.13 (© équipe du diagnostic, Inrap)



Le fossé 22.13 est parallèle au fossé 22.3. Il est situé à 3,5 m au nord de ce dernier. Le sondage manuel réalisé à proximité de son intersection avec le fossé 22.14 / 22.15 indique un profil régulier à fond plat et bords évasés. Il mesure 0,55 m de large pour une profondeur conservée sous décapage de 0,21 m (Fig. 51). Son comblement est constitué de limon argileux brun moyen et a livré des tessons de céramique datés du dernier quart du I^{er} siècle à la première moitié du II^e siècle de notre ère.

Aucun sondage n'a été réalisé au niveau des trois intersections de fossés observées dans cette fenêtre. En plan, tous ces fossés présentent le même remplissage, indiquant probablement la contemporanéité de leur abandon. Plus au nord, le fossé 22.17 pourrait participer de l'occupation gallo-romaine (partition interne ?).

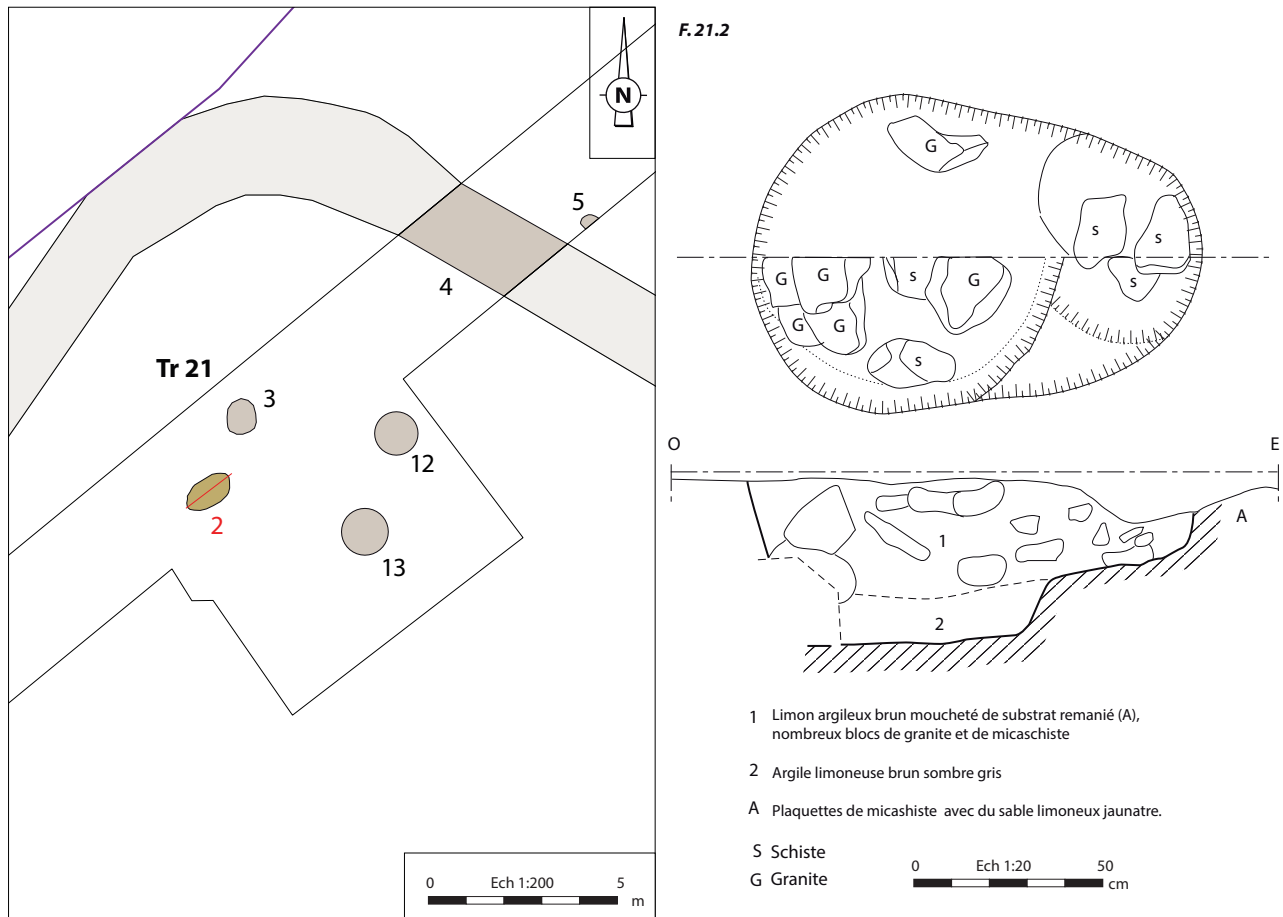


Fig. 52 Plan de détail du bâtiment sur quatre poteaux de la tranchée 21 et relevé du fait 21.2 (DAO : E. Collado)

2.4.3.2 Un possible grenier

Un bâtiment sur quatre poteaux a été mis au jour à proximité de l'angle interne nord-ouest de l'enclos. Il concerne les faits 21.2, 21.3, 21.12 et 21.13 (Fig. 52). Ils apparaissent à une profondeur de 0,3 m sous le niveau du sol actuel. Leurs dimensions sont massives : 21.3 et 21.13 sont circulaires et mesurent environ 1 m de diamètre, alors que 21.2 et 21.12 sont ovales et mesurent environ 1 m sur 1,2 m. Des gros blocs de calage sont visibles en surface de leurs comblements.

Leur espacement calculé à partir du centre de chaque poteau est de 2 m, matérialisant au sol un plan carré couvrant une surface de 4 m² (Fig. 53).

Le trou de poteau 21.2 a été sondé manuellement sur sa moitié ouest (Fig. 54). Il mesure 1,2 m de long sur 0,84 m de large et conserve une profondeur



Fig. 53 Vue d'ensemble vers le sud-est du bâtiment de la tranchée 21 avant extension du décapage (© équipe du diagnostic, Inrap)



Fig. 54 Vue de détail vers le sud-est du trou de poteau 21.2 (© équipe du diagnostic, Inrap)

de 0,46 m. Son profil indique un fond plat et des bords abrupts. Un avant-trou a été observé au sud. Son comblement est constitué de limon argileux brun moyen et de petits fragments de plaquettes de micaschiste altéré mêlé à de nombreux blocs centimétriques et décimétriques de granite et de micaschiste, correspondant à des pierres de calage de poteau. Aucune empreinte de poteau n'est visible en coupe.

Aucun mobilier n'a été trouvé dans le comblement de F. 21.2 ou en surface des autres trous de poteau, mais la localisation de ce bâtiment à l'intérieur de l'enclos antique et son orientation en adéquation avec les fossés d'enclos 21.1 et 21.4 permettent de l'associer à l'occupation antique.

2.4.3.3 des structures isolées dans l'enclos

La fosse 23.9 a été décapée pour partie seulement (Fig. 41). Elle mesure 1 m de large pour une longueur minimale de 1 m. Les observations de surface ne permettent pas de déterminer la chronologie relative de cette fosse avec le fossé de parcelle 23.6. Son comblement, assez charbonneux, a livré quelques fragments de granite brûlé.

Le segment de fossé 23.7, légèrement courbe et long d'environ 5 m, a été dégagé dans son intégralité. Un sondage manuel a été effectué au niveau de son extrémité sud-est (Fig. 55 et 56). Son profil est en cuvette. Sa largeur est de 0,55 m et sa profondeur est conservée sur 0,08 m. Le comblement est constitué de limon argileux brun moyen à brun sombre incluant quelques pierres et des charbons de bois. Il a livré des tessons de céramique datables du I^e siècle de notre ère.

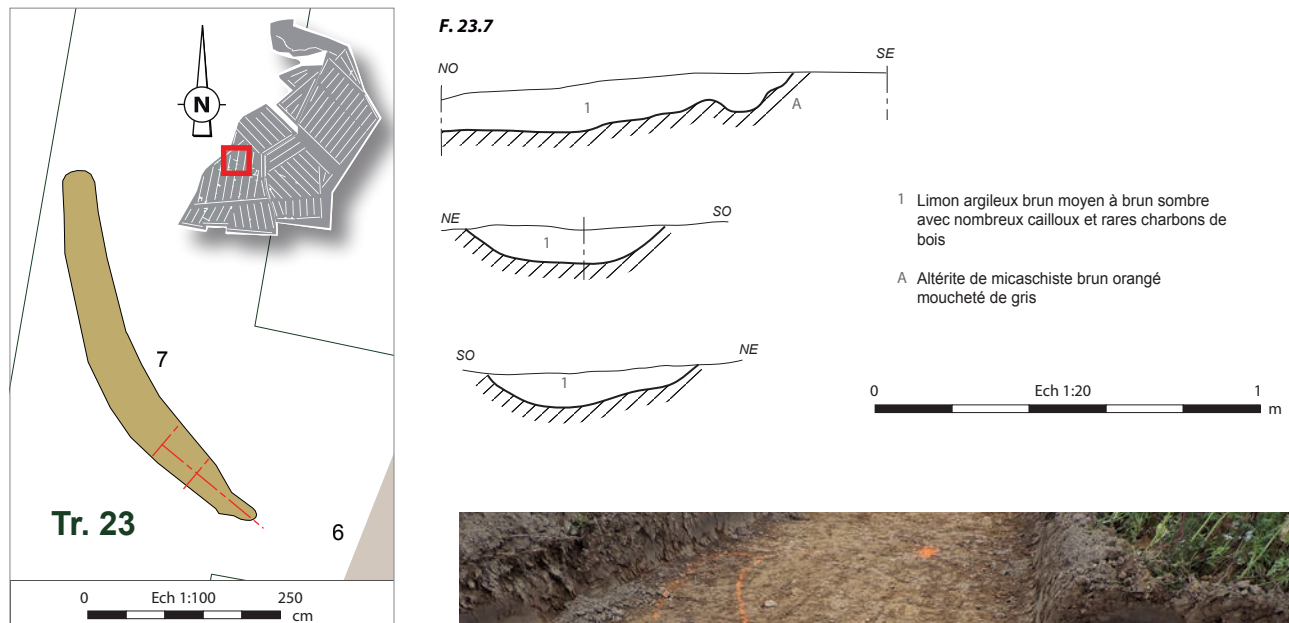


Fig. 55 Relevé du segment de fossé 23.7 (DAO : E. Collado)



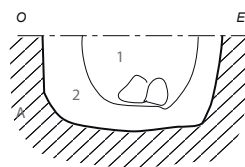
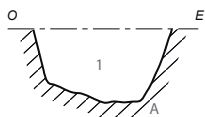
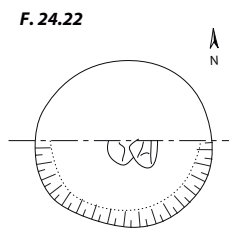
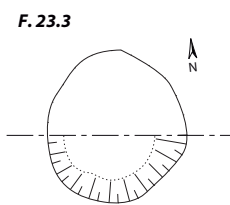
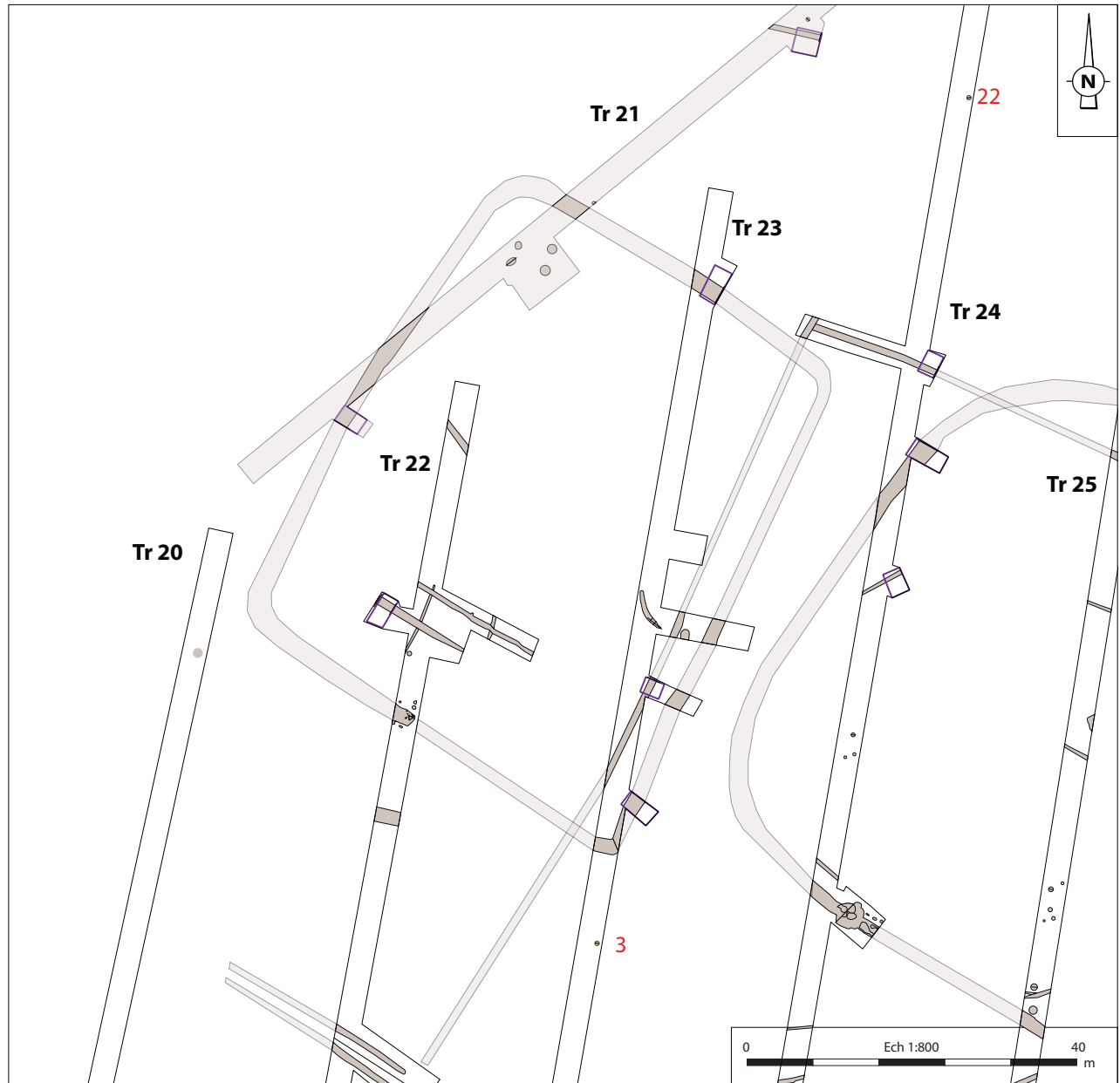
Fig. 56 Vue d'ensemble vers le nord du segment de fossé 23.7 (© équipe du diagnostic, Inrap)

2.4.4 Les aménagements observés en extérieur de l'enclos

Cinq trous de poteau ont été identifiés en dehors de l'enclos n° 2 (Fig. 57). Etant donné leur localisation à distance des deux enclos et l'absence de mobilier dans leur comblement, il n'est pas possible à l'issue du diagnostic de les rattacher à l'une des deux occupations.

Le trou de poteau 23.3 est situé à 10 m au sud de l'angle sud-est de l'enclos n° 2. Creusé dans le micaschiste altéré, son plan est circulaire et atteint un diamètre de 0,4 m. Il est conservé sur une profondeur de 0,2 m. Son profil adopte un fond en cuvette et des bords obliques. Son comblement est constitué d'un limon argileux brun très foncé incluant des charbons de bois (Fig. 58).

Le trou de poteau 24.22 est situé à environ 40 m au nord des deux enclos. Son plan est circulaire et atteint un diamètre de 0,48 m. Il apparaît à une profondeur de 0,35 m sous le niveau de sol actuel et montre un bon état de conservation, avec une profondeur conservée de 0,25 m. Son profil adopte un fond plat et des bords obliques. Son comblement indique un remblai de calage composé d'altérite de micaschiste brun orangé (US 2), et un négatif de poteau au comblement plus sombre renfermant quelques charbons de bois (Fig. 59).



1 Limon argilo-sableux brun moyen, assez meuble et homogène et quelques charbons de bois

A Micaschiste altéré

1 Limon argileux brun verdâtre, rares charbons de bois

2 Limon argilo-sableux mélangé à du substrat remanié

A Limon argilo-sableux brun hétérogène et compact, nombreux fragments de plaquettes de micaschiste centimétrique et galets de quartz

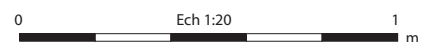


Fig. 57 Localisation des trous de poteaux isolés découvert en extérieur de l'enclos antique, et relevé de 23.3 et 24.22 (DAO : E. Collado)



Fig. 58 Vue vers le nord du trou de poteau 23.3 (© équipe du diagnostic, Inrap)



Fig. 59 Vue vers le nord du trou de poteau 24.22 (© équipe du diagnostic, Inrap)

2.4.5 Une trame parcellaire orthogonale

Le diagnostic mené à la Croix du Mourillon a permis de mettre en évidence une trame parcellaire globalement orthogonale et particulièrement bien lisible. Les fossés la constituant sont principalement orientés nord-ouest / sud-est et sud-ouest / nord-est. Ils divergent franchement des tronçons de fossés modernes et contemporains qui sont orientés selon les points cardinaux. Ce parcellaire antique se développe sur toute la partie sud de l'emprise du diagnostic, au niveau des parcelles cadastrales 47, 48, 49, 50, 63, 67 et 130 et a été reconnu sur une superficie d'environ 10 hectares. Ses limites nord et ouest ont pu être observées sur l'emprise du diagnostic. Au sud, le parcellaire se poursuit hors emprise, et vers l'est, ses limites restent incertaines (Fig. 60).

Au total, 18 sondages et 11 extensions de décapage permettent de mieux caractériser et de dater ce parcellaire, qui délimite au moins 9 parcelles, dont au moins 3 ont été intégralement observées dans l'emprise du diagnostic. Par commodité de lecture et pour faciliter les descriptions qui suivent, nous avons attribué aux fossés apparaissant dans plusieurs tranchées un numéro de ligne distinct des numéros de faits ; au total, 20 lignes ont été observées, elles sont numérotées de L1 à L20.

Les fossés sont de taille variable ; leur largeur est comprise entre 0,4 et 1,4 m. Au sud-ouest de l'emprise, ils sont particulièrement bien conservés avec jusqu'à 0,77 m de profondeur au niveau du fait 36.1 (ligne 7). Plus au nord, au niveau de l'enclos gaulois, les fossés conservent jusqu'à 0,5 m de profondeur (au niveau du fait 23.6, ligne 6), et à l'est, les fossés, moins bien conservés, atteignent jusqu'à 0,35 m de profondeur. Plusieurs extensions ont permis de renseigner certaines jonctions de fossés et ont permis de mettre en évidence des interruptions matérialisant plusieurs passages entre les parcelles. Par ailleurs, les lignes 4 et 5 pourraient indiquer l'existence d'un ancien chemin.

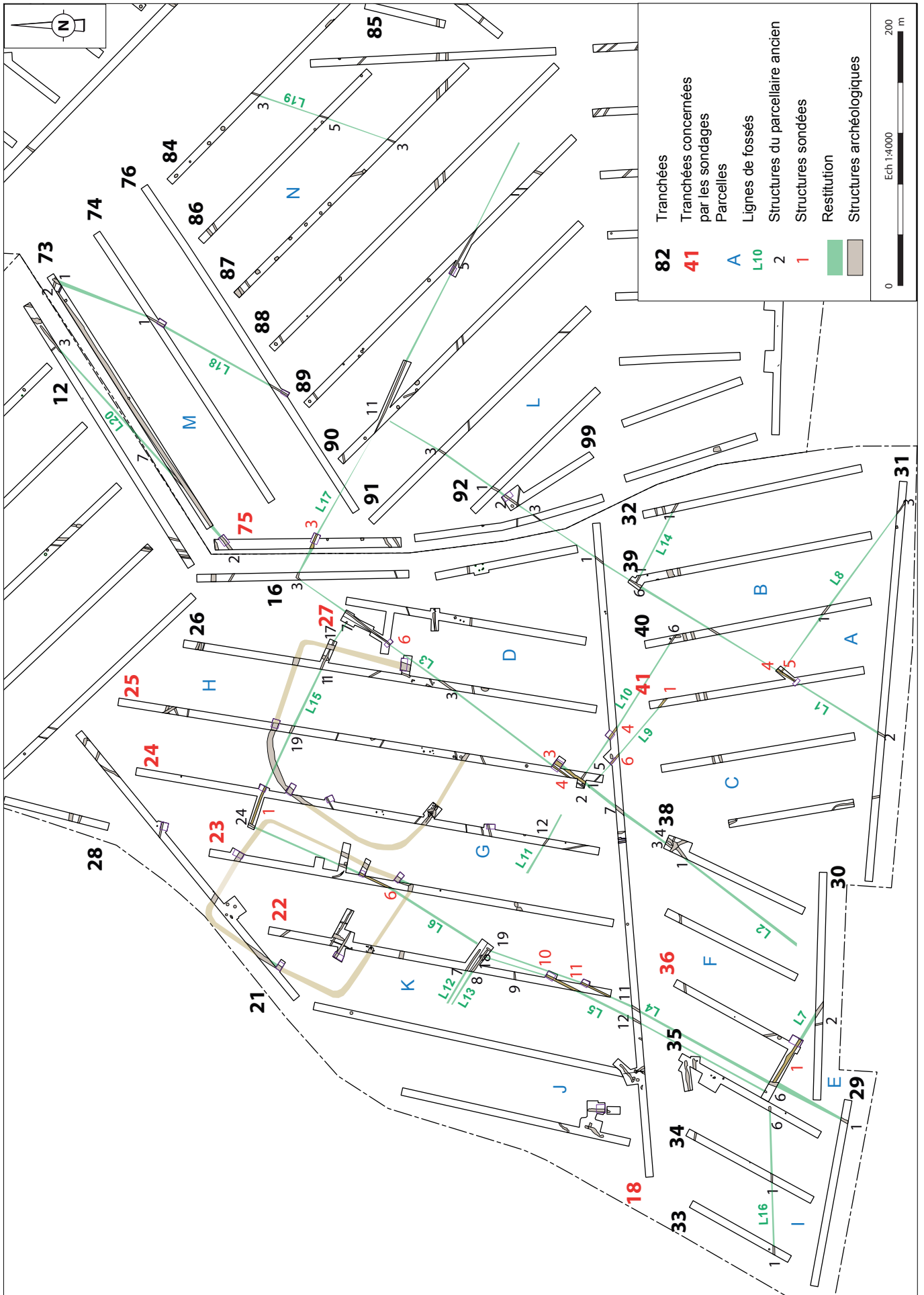
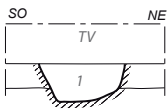


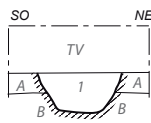
Fig. 60 Plan général du parcellaire antique mis en évidence au sud de l'emprise du diagnostic, et relevé des coupes des fossés 18.4, 18.6, 22.10, 22.11, 23.6, 24.1, 25.3, 25.4, 27.6, 36.1, 41.4, 41.5, 75.3 et 75.2 (DAO : E. Collado)

F. 18.4



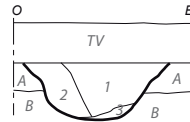
- 1 Limon argileux brun moyen, homogène et meuble, quelques rares fragments de galets de quartz et plaquettes de micaschiste
- A Limon argileux brun orangé, homogène et compact, rares galets de quartz
- B Substrat altéré sableux, nombreux fragments de plaquettes de mica-shiste en décomposition

F. 18.6



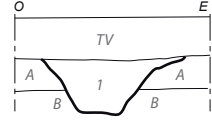
- 1 Limon argileux brun moyen, homogène et meuble, quelques rares fragments de galets de quartz et plaquettes de micaschiste
- A Limon argileux brun orangé, homogène et compact, rares galets de quartz
- B Substrat altéré sableux, nombreux fragments de plaquettes de mica-shiste en décomposition

F. 22.10



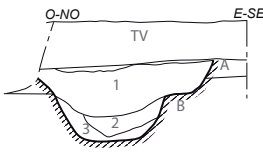
- 1 Limon argileux moyen, homogène et meuble avec quelques charbons de bois
- 2 Limon argilo-sableux brun moyen, plus clair que l'Us 1, avec quelques inclusions de substrat remanié (B)
- 3 idem que l'Us 2 avec plus d'inclusions de substrat remanié
- A limon argilo-sableux brun hétérogène et compact, nombreux fragments de plaquettes de micaschiste centimétrique et galets de quartz
- B Limon sableux beige à orangé très sableux

F. 22.11



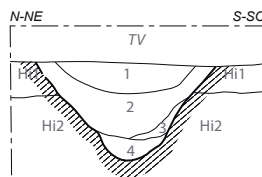
- 1 Limon argileux brun gris moyen, hétérogène et meuble, quelques charbons de bois, très rares inclusions de plaquettes de micaschiste, éramique
- A Limon argilo-sableux brun hétérogène et compact, nombreux fragments de plaquettes de micaschiste centimétrique et galets de quartz
- B Limon sableux beige à orangé très sableux

F. 23.6



- 1 Limon argileux brun moyen avec rares cailloux et charbons de bois, céramique
- 2 Limon argileux brun moyen avec rares pierres
- 3 Limon argileux brun verdâtre oxydé couleur rouille
- A Limon argileux brun moyen à brun beige avec fragments de galets de quartz
- B Altérite de micaschiste brun orangé moucheté de gris

F. 24.1



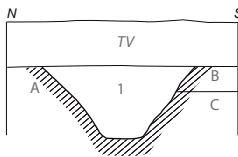
- 1 Limon argileux brun moyen avec quelques nodules de limon argileux brun beige et quelques cailloux
- 2 Limon argileux brun moyen à brun sombre avec quelques cailloux
- 3 Limon argileux brun beige, érosion de parois gris sombre avec quelques cailloux
- 4 Limon argileux brun moyen avec inclusions de cailloux et d'altérite de micaschiste Substrat :
- A Limon peu argileux brun moyen avec quelques nodules de limon argileux brun beige et rares
- B Altérite de micaschiste brun orangé avec nombreuses plaquettes de micaschiste en décomposition, quelques galets de quartz

F. 25.3 et 25.4



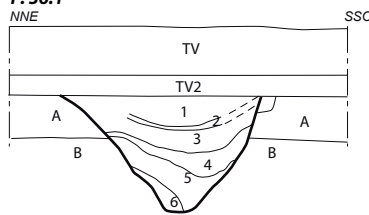
- F. 25.4** 1 Limon argileux brun moyen homogène et meuble
- F. 25.3** 1 Limon argileux brun moyen hétérogène et meuble, quelques rares poches de substrat remanié, charbons de bois, un tesson de céramique
- 2 Limon argileux brun moyen hétérogène et meuble
- 3 Limon argileux gris bleuté hétérogène, tache d'oxydation orange
- A limon argilo-sableux brun hétérogène et compact, nombreux fragments de plaquettes de micaschiste centimétrique et galets de quartz
- B idem à A avec plus de plaquettes de micaschiste décomposées
- C Limon sableux fin multicolore (rouge à gris)
- D Quartz, avec plaquettes de micaschiste

F. 27.6



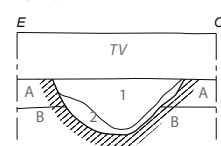
- 1 Limon argileux brun gris, homogène et meuble, quelques rares graviers de micaschiste et quelques charbons de bois
- A Limon argileux brun beige, homogène et meuble, rares quartz et quelques charbons de bois
- B Limon argileux brun, hétérogène et compact, nombreux graviers de quartz et de micaschiste
- C Limon sableux brun orangé, hétérogène et compact, nombreux fragments de plaquettes de micaschiste et rares quartz

F. 36.1



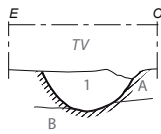
- 1 Limon argileux brun moyen hétérogène et compact, quelques quartz et quelques charbons de bois
- 2 Limon argileux brun moyen avec poches de limon sableux jaune, quelques quartz, rares charbons de bois
- 3 Limon argileux brun gris, homogène et meuble, rares quartz, charbons de bois et céramique
- 4 idem à l'US 2 avec plus de sable jaune
- 5 Limon argileux brun gris homogène et meuble, quelques quartz, quelques charbons de bois
- 6 Limon sableux beige à verdâtre, rares charbons de bois et très rares plaquette de micaschiste
- A limon argilo-sableux brun hétérogène et compact, nombreux fragments de plaquettes de micaschiste centimétrique et galets de quartz
- B Sable multicolore (rouge/verdâtre -beige)

F. 41.4



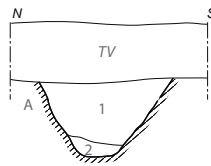
- 1 Limon argileux brun foncé, homogène et meuble, quelques quartz, quelques charbons de bois
- 2 Mélange de Us 1 et de substrat remanié (A)
- A Limon sableux beige jaunâtre, quelques quartz
- B Altérite de micaschiste

F. 41.5



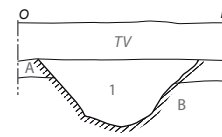
- 1 Limon argileux sombre
- A Limon argilo-sableux brun clair, cailloux et graviers en quantité moyenne
- B Aléitirte micaschiste

F. 75.3



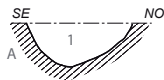
- 1 Limon argileux brun tâché de gris, compact et hétérogène avec quelques poches de substrat remanié et des inclusions de granite altéré, sableux et quelque quartz
- 2 Limon argilo-sableux gris-jaune, compact et homogène
- A Limon argilo-sableux brun hétérogène et compact, nombreux fragments de plaquettes de micaschiste centimétrique et galets de quartz

F.75.2 - Coupe nord



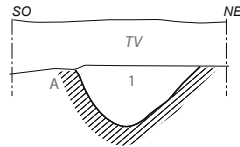
- 1 Limon sablo-argileux brun-beige, hétérogène et peu compact, avec quelques galets de quartz, quelques fragments de micaschiste altérés et rares charbons de bois
- A Interface : limon sablo-argileux clair perturbé et peu végétalisé
- B Micaschiste altéré

F. 99.2



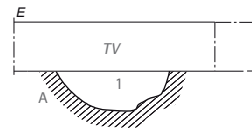
- 1 Comblement argilo-sableux brun moyen, compact et homogène, avec inclusions de charbons de bois et de nombreux quartz
- A Limon argilo-sableux brun hétérogène et compact, nombreux fragments de plaquettes de micaschiste centimétrique et galets de quartz

F. 89.5



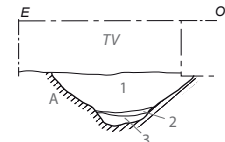
- 1 Limon argileux brun moyen avec quelques cailloux de micaschiste, céramique
- A Limon argilo-sableux brun hétérogène et compact, nombreux fragments de plaquettes de micaschiste centimétrique et galets de quartz

F.76.1 - Coupe sud



- 1 Limon sablo-argileux brun-gris, homogène et compact, avec charbons de bois et quelques galets quartz
- A Argile sableuse jaune

F.74.1 - Coupe sud



- 1 Limon sablo-argileux brun foncé, homogène et compact, avec quelques galets de quartz quelques fragments de micaschiste altérés
- 2 Fragments de micaschiste altérés Limon argilo-sableux brun-gris, homogène et meuble
- 3 Limon argilo-sableux gris homogène et meuble
- A Argile sableuse jaune

0 Ech. coupes 1:50 250 cm

2.4.5.1 Les fossés SO/NE, d'est en ouest :

- ligne 1 :

Ce premier fossé a été reconnu sur une longueur de 200 m. Il concerne les faits 31.2, 41.4 (jonction avec 41.5), 40.2, 39.6 (jonction avec 39.1), 18.1, 77.3, 99.2, 92.1 et 91.3. Sa largeur oscille entre 0,6 et 0,85 m. Les extensions réalisées au niveau des tranchées 39 et 41 indiquent que les fossés L6 et L12 viennent se greffer sur son tracé (Fig. 61 et Fig. 62). Il a été sondé dans les tranchées 41 (Fig. 60 et Fig. 63) et 99, où il mesure respectivement 0,85 et 0,7 m de large pour une profondeur conservée de 0,35 et 0,28 m. Au niveau de la tranchée 90, cette ligne est absente, ce qui pourrait indiquer l'existence d'un passage entre les parcelles D et L.

- ligne 2 :

Ce fossé a été reconnu sur une longueur de 70 m environ. Il concerne les faits 38.1, 18.7 et 25.3. Sa largeur oscille entre 0,65 et 1,4 m. Au niveau du nœud de fossé qui a été mis en évidence au sud de la tranchée 25, L9 vient se greffer sur L2 (Fig. 64). Il a été sondé au nord de cette jonction, où il est conservé sur une profondeur de 0,5 m (Fig. 60 et Fig. 65). Son profil montre alors un fond plat et des bords évasés peu réguliers. Son comblement a livré un tessou de céramique datable des dernières décennies du I^e siècle avant notre ère ou du début du I^e siècle de notre ère.



Fig. 61 Vue de l'intersection entre les fossés 39.1 et 39.6 (© équipe du diagnostic, Inrap)



Fig. 62 Vue de l'intersection entre les fossés 41.4 et 41.5 (© équipe du diagnostic, Inrap)



Fig. 63 Vue de la coupe du fossé 41.4 (© équipe du diagnostic, Inrap)



Fig. 64 Vue des fossés 25.2, 25.3 et 25.4 (jonction entre L9, L10, L2 et L3) (© équipe du diagnostic, Inrap)



Fig. 65 Vue de la coupe des fossés 25.3 et 25.4 (© équipe du diagnostic, Inrap)

- ligne 3 :

Ce fossé a été reconnu sur une longueur de 140 m environ. Il concerne les faits 25.4, 26.3, 27.6, et 16.3. Sa largeur oscille entre 0,6 et 1 m. Au sud de son tracé, il est parallèle et distant de seulement 0,5 m du fossé L2.

L'extension réalisée au niveau de la tranchée 27 indique l'existence d'un passage entre les parcelles G et H (Fig. 66). Ce passage est large de 2,8 m. Au niveau de la tranchée 16, la jonction entre L3 et L17 forme un angle droit.

La ligne 3 a été sondée à deux reprises, dans les tranchées 25 (Fig. 60 et Fig. 65) et 27 (Fig. 60 et Fig. 67), où elle est conservée respectivement sur profondeur de 0,26 et 0,48 m. Son creusement est régulier, avec un fond plat et des bords évasés.



Fig. 66 Vue des fossés 27.6 et 27.7 (interruption entre L3 et L15) (© équipe du diagnostic, Inrap)



Fig. 67 Vue de la coupe du fossé 27.6 (© équipe du diagnostic, Inrap)

- ligne 4 :

Cette ligne a été reconnue sur une longueur de 160 m environ. Elle concerne les faits 29.1, 36.6 (jonction avec 36.1), 18.11, 22.11 et 22.19 son extrémité. Sa largeur oscille entre 0,7 et 1,5 m. Son tracé est parallèle et distant de seulement 4 m de L5. Il pourrait correspondre à un fossé bordier de chemin.

L'extension réalisée au niveau de la tranchée 22 a permis de mettre en évidence son extrémité. Elle se situe au même niveau que l'angle de L5 / L13 (Fig. 68).

La ligne 4 a été sondée dans la tranchée 22, où elle est conservée sur une profondeur de 0,36 m (Fig. 60 et Fig. 69). Son creusement est régulier, indiquant un fond plat et des bords évasés. Les tessons de céramique provenant de son comblement sont datables des dernières décennies du I^e siècle avant notre ère ou du début du I^e siècle de notre ère.



Fig. 68 Vue des fossés 22.7, 22.8, 22.18 et 22.19 (jonction entre L4, L5, L12 et L13) (© équipe du diagnostic, Inrap)



Fig. 69 Vue de la coupe du fossé 22.11 (© équipe du diagnostic, Inrap)

- ligne 5 :

Ce fossé, reconnu sur une longueur de 122 m, concerne les faits 36.7, son extrémité sud (Fig. 70), 18.12, 22.10 et 22.18, sa jonction avec L13 (Fig. 68). Sa largeur oscille entre 0,7 et 1 m. Son tracé est parallèle et distant de seulement 4 m de L4. Il pourrait correspondre à un fossé bordier de chemin. La ligne 5 a été sondée dans la tranchée 22 (Fig. 60 et Fig. 71) où elle est conservée sur une profondeur de 0,4 m. Son creusement est régulier, avec un fond en cuvette et des bords évasés.



Fig. 70 Vue des fossés 36.1, 36.6 et 36.7 (intersection entre L4 et L7 et interruption de L5) (© équipe du diagnostic, Inrap)



Fig. 71 Vue de la coupe du fossé 22.10 (© équipe du diagnostic, Inrap)

- ligne 6 :

Elle a été reconnue sur une longueur minimale d'environ 110 m. Elle concerne les faits 23.6 et 24.24 (jonction avec 24.1). Sa largeur oscille entre 0,8 et 1,3 m. Son tracé se situe dans l'alignement de L5. Ce fossé est absent de l'extension réalisée au niveau de la tranchée 22, ce pourrait indiquer l'existence d'un passage entre les parcelles G et K face à l'extrémité est

de L12. Il traverse l'enclos n° 2. Au niveau de l'extension réalisée dans la tranchée 24, on note que L15 vient se greffer sur L6 (Fig. 72).

La ligne 6 a été sondée dans la tranchée 23 (Fig. 60). Deux séquences ont été observées dans la coupe. La première est conservée sur une profondeur de 0,5 m pour une largeur restituée de 0,9 m et présente un fond plat et des bords évasés, et la seconde est conservée sur 0,34 m de profondeur pour une largeur de 1,2 m et son profil dessine une cuvette irrégulière. Le comblement du fossé du deuxième état a livré de la céramique datable des dernières décennies du Ier siècle avant notre ère au Ier siècle de notre ère, ainsi qu'un fragment de meule à va-et-vient en granite.



Fig. 72 Vue de l'intersection entre les fossés 24.1 et 24.24 (jonction entre L6 et L15)

- ligne 19 : 87.3 – 86.5 – 84.3

Ce fossé a été observé sur une longueur de 70 m. Il concerne les faits 87.3, 86.5 et 84.3. Au nord, il ne semble pas se poursuivre au-delà de la route départementale, et au sud, il pourrait rejoindre L17 entre les tranchées 88 et 89, mais leur jonction n'a pas été observée.

Les observations de surface indiquent un fossé large d'environ 0,5 m.

2.4.5.2 Les fossés SE/NO, du sud vers le nord

- ligne 7 :

Ce fossé a été reconnu sur une longueur minimale d'environ 50 m. Il concerne les faits 30.2 et 36.1, sa jonction avec L4. Sa largeur oscille entre 1,1 et 1,4 m. Il se poursuit vers le sud-est hors emprise du diagnostic. Au niveau de l'extension réalisée dans la tranchée 36, il vient se greffer sur L4 (Fig. 70).

La ligne 7 a été sondée dans la tranchée 36 (Fig. 60 et Fig. 73), où elle est conservée sur une profondeur de 0,77 m. Son creusement est régulier, avec un fond en cuvette et des bords obliques. Son comblement est stratifié. L'US 3 a livré 19 tessons de céramique dont des fragments d'amphore de Tarraconaise et plusieurs fragments d'une coupelle en sigillée italique datable entre 20 avant notre ère et 20 de notre ère.



Fig. 73 Vue de la coupe du fossé 36.1
(© équipe du diagnostic, Inrap)

- ligne 8 :

Ce fossé a été suivi sur une longueur minimale de 90 m. Il concerne les faits 31.3, 40.1 et 41.5. Il se poursuit vers le sud-est hors emprise du diagnostic. Sa largeur oscille entre 0,4 et 0,7 m. L'extension réalisée au niveau de la tranchée 41 indique qu'il vient se greffer sur L1 (Fig. 62). Il a été sondé dans la tranchée 41, où il mesure 0,65 m de large pour une profondeur conservée de 0,28 m (Fig. 60). Il possède un profil en cuvette.

- ligne 9 :

Ce fossé a été reconnu sur une longueur minimale de 70 m. Il concerne les faits 41.1, 18.6 et 25.1. Il est plus ou moins parallèle à L10 avec lequel il est distant d'environ 7 m. Sa largeur oscille entre 0,4 et 0,6 m. Il a été sondé dans la tranchée 18, où il mesure 0,56 m de large pour une profondeur conservée de 0,26 m (Fig. 60). Son creusement est régulier, avec un fond plat et des bords évasés. Aucune relation en plan n'a été observée pour ce fossé, mais son absence dans les sondages réalisés à l'ouest de la tranchée 25, ainsi que la similitude de son profil et de son comblement avec L3 pourrait indiquer leur jonction formant un angle droit.

- ligne 10 :

Ce a été suivi sur une longueur minimale de 100 m. Il concerne les faits 40.6, 18.4 et 25.2, sa jonction avec 25.3. Il est aligné sur le même axe que L.11 et L12. Sa largeur oscille entre 0,50 et 0,7 m. Au sud de la tranchée 25, il vient se greffer sur L2 (Fig. 64). Il a été sondé dans la tranchée 18, où il mesure 0,56 m de large pour une profondeur conservée de 0,25 m (Fig. 60). Son creusement est régulier, avec un fond plat et des bords évasés.

- ligne 11 :

Ce fossé n'a été observé à qu'une seule reprise (24.12) et n'a pas été sondé. Il est aligné sur le même axe que L.10 et L12 (Fig.60). Sa largeur est de 0,5 m. Au sud-est, il n'est pas en contact avec L3, ce qui pourrait indiquer l'existence d'un passage reliant les parcelles F et G. Il en va de même au nord-ouest, ou plusieurs accès permettent de circuler entre au moins trois parcelles (K, G et F).

- ligne 12 :

Ce fossé n'a également été observé qu'à une seule reprise (22.7) et n'a pas été sondé. Il est aligné sur le même axe que L.10 et L11 et sa largeur est de 0,7m. Son tracé est parallèle à L13 qui est distant de 1,7m (Fig. 60). Il pourrait donc correspondre à un fossé bordier d'une petite voirie.

Au sud-est, on note que son extrémité fait face à l'angle formé par la jonction entre L5 et L13, formant ainsi un accès entre les parcelles G et K, et un accès vers le probable chemin délimité par les lignes L12 et L13 (Fig. 68). L12 est absent des tranchées situées plus à l'ouest.

- ligne 13 :

Ce fossé n'a été observé qu'à une seule reprise (22.8) et n'a pas été sondé. Sa largeur est de 0,8 m. Son tracé est parallèle à L12 qui est distant de 1,7m (Fig.60). Il pourrait donc correspondre à un fossé bordier d'une petite voirie.

La fenêtre ouverte au niveau de la tranchée 22 indique sa jonction avec L5 (Fig. 68). Il se termine juste avant l'extrémité de L4. En surface de son comblement, le tesson de céramique découvert est typique des productions gallo-romaines précoces.

- ligne 14 :

Ce a été reconnu sur une longueur minimale de 40III. Conclusionm. Il concerne les faits 32.1 et 39.1 et n'a pas été sondé. Il se poursuit vers le sud-est hors emprise du diagnostic. Sa largeur oscille entre 0,5 et 0,6III. Conclusionm. L'extension réalisée au niveau de la tranchée 39 indique qu'il vient se greffer sur L1 (Fig. 61).

- ligne 15 :

Ce fossé a été reconnu sur une longueur de 88 m. Il concerne les faits 27.7 (son extrémité), 26.11, 25.19 et 24.1. Sa largeur va en s'élargissant vers l'ouest et oscille entre 0,5 et 1,2m. A l'ouest, il se greffe sur L6 (Fig. 72), et à l'est, au niveau de la tranchée 27, son extrémité fait face à L3, indiquant l'existence d'un passage entre les parcelles G et H (Fig. 66). Ce passage est large de 2,8m.

La ligne 15 a été sondée dans la tranchée 24 (Fig. 60 et Fig. 74), où elle est conservée sur une profondeur de 0,62m. Son creusement est régulier avec un fond en cuvette et des bords évasés et son comblement est stratifié. Les



Fig. 74 Vue de la coupe du fossé 24.1
(© équipe du diagnostic, Inrap)

observations de surface indiquent que ce fossé recoupe le fossé d'enclos gaulois au niveau de l'extension nord de la tranchée 26. Il s'agit, à l'issue du diagnostic, de la seule intersection abordée qui indique la mise en place de ce parcellaire après l'abandon et le remblaiement du fossé de l'enclos n°1.

- ligne 17 :

Ce fossé a été suivi sur une longueur de 160 m. Il concerne les faits 89.5, 90.11, 75.3 et 16.3, où il forme un angle avec L3. Sa largeur oscille entre 0,85 et 1 m.

La ligne 17 a été sondée à deux reprises, dans les tranchées 75 et 89 (Fig. 60 et Fig. 75), où il est conservé sur une profondeur de 0,45 m. Son creusement est régulier, il indique un fond en cuvette et des bords évasés.



Fig. 75 Vue de la coupe du fossé 89.5
(© équipe du diagnostic, Inrap)

2.4.5.3 des fossés aux orientations divergentes

- ligne 16 :

Ce fossé a été reconnu sur une longueur minimale de 60 m. Il suit une orientation E/O et concerne les faits 33.1, 34.1 et 35.6, son extrémité. Il diverge nettement dans son orientation des autres fossés décrits précédemment (Fig.60). Sa largeur oscille entre 0,5 et 0,6 m. A l'ouest, il se poursuit hors emprise du diagnostic mais n'a pas été observé sur le diagnostic réalisé par le Conseil Général du Morbihan en 2012 sur la liaison entre le Mourillon et Penescluz (Crowch 2012). A l'est, son extrémité a été observée dans la tranchée 35, faisant face à l'interruption de L5. Les interruptions de L5 et de L16 matérialisent un passage de 6 m de large, indiquant un accès entre les parcelles J et I.

- ligne 18 :

La ligne 18 a été reconnue sur une longueur d'environ 60 m. Elle concerne les faits 76.1, 74.1 et 73.1 son extrémité (Fig. 60). Elle est légèrement désaxée par rapports aux autres fossés du parcellaire antique. Sa largeur oscille entre 0,1 et 1 m de large. Au nord de la tranchée 73, au niveau de son extrémité, un fossé perpendiculaire a été observé (73.2). Il n'a pas été observé dans les tranchées adjacentes. Au Sud, L18 n'a pas été observé dans la tranchée 89.

La ligne 18 a été sondée à deux reprises dans les tranchées 74 et 76 (Fig. 60), où il est conservé sur une profondeur de 0,3 m environ. Son creusement diffère d'un sondage à l'autre, il montre un fond plat et des bords évasés pour 74.1 et un fond en cuvette pour 76.1.

- ligne 20 : 75.2 – 73.7 – 12.3

La ligne 20 a été reconnue sur une longueur de 115 m. Il concerne les faits 12.3 (son extrémité), 73.7 et 75.2. Sa largeur va en s'élargissant vers l'ouest et oscille entre 0,7 et 1 m. Son orientation diverge nettement de la trame parcellaire principale, mais la nature de son comblement va dans le sens d'une datation ancienne de son comblement. Au niveau de la tranchée 12, son extrémité a été perçue. Dans la tranchée 73, il est coupé par le fossé de parcellaire moderne 73.4. La ligne 20 a été sondée dans la tranchée 75 (Fig. 60), où il est conservé sur une profondeur de 0,44 m. Son creusement est régulier, il indique un fond en cuvette et des bords évasés.

2.4.5.4 Synthèse sur le parcellaire antique

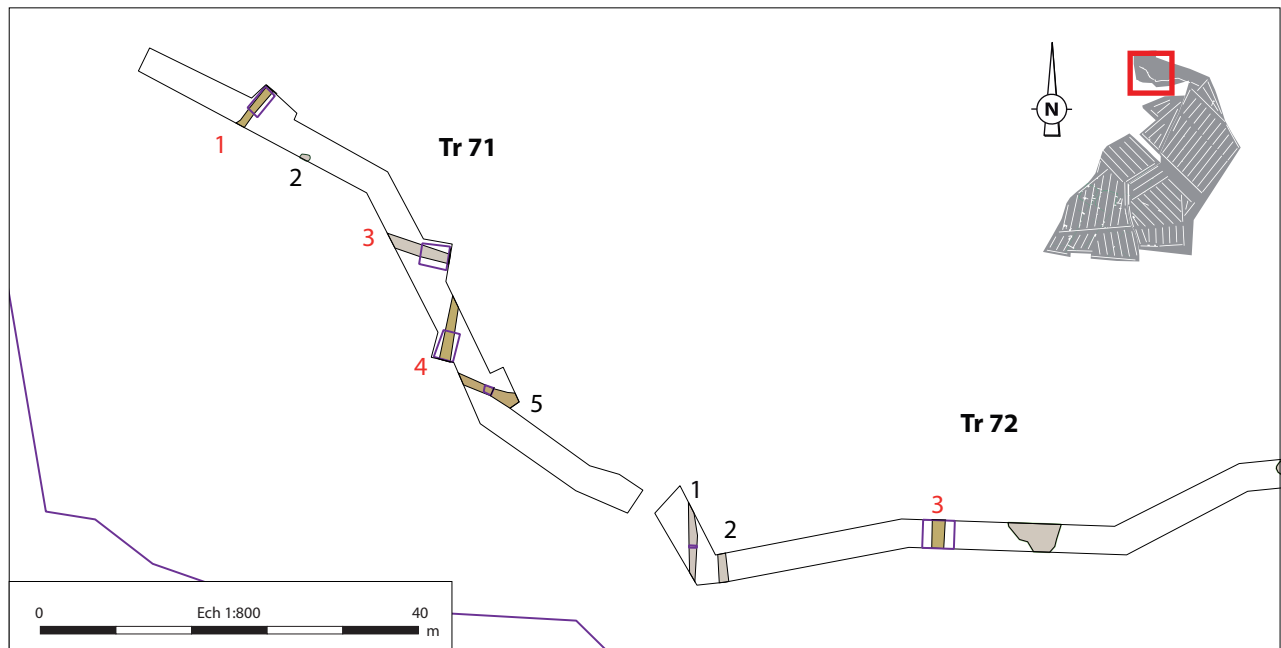
La trame parcellaire orthogonale mise en évidence sur toute la partie sud de l'emprise du diagnostic couvre une surface d'environ 10 hectares. Ses limites nord et ouest ont pu être observées, alors qu'au sud, le parcellaire se poursuit hors emprise. A l'est, ses limites restent incertaines. Les fossés la constituant sont pour la plupart orientés nord-ouest / sud-est et sud-ouest / nord-est ; quelques uns suivent toutefois des orientations légèrement divergentes. Au total, vingt lignes de fossés ont été observées, délimitant au moins treize parcelles (Fig. 60). Les dix-huit sondages réalisés ont permis de récolter quelques tessons de céramique datés principalement de la fin du Ier siècle avant notre ère et du Ier siècle de notre ère. Les onze extensions de décapage ont permis de renseigner certaines jonctions de fossés et ont permis de mettre en évidence des interruptions matérialisant plusieurs passages entre les différentes parcelles. Un possible chemin, délimité par deux fossés espacés de 4 m a également été observé.

Ce parcellaire est postérieur aux aménagements de l'occupation laténienne comme l'indiquent les observations de surface effectuées dans la tranchée 26, au niveau de l'enclos n°1 (voir partie II.3.4.3). Les éléments chronologiques fournis par le mobilier céramique découvert dans les comblements des fossés de ce parcellaire vont dans le sens de sa contemporanéité avec l'enclos n°2. Toutefois, plusieurs questions se posent à l'issue du diagnostic. Au sud de la tranchée 25, un nœud de fossé indique l'existence probable de plusieurs phases distinctes pour ce parcellaire. De même, la ligne 6 traverse l'enclos n° 2 sans le contourner, indiquant que ces deux faits n'ont pas pu fonctionner en même temps.

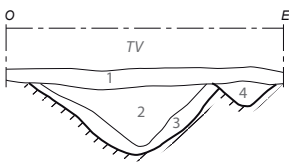
2.4.6 une autre occupation antique au nord de l'emprise ?

En limite nord de l'emprise du diagnostic, au niveau des ouvertures effectuées dans la partie boisée (parcelle CB9), cinq tronçons de fossé pourraient appartenir à une occupation antique distincte de celle précédemment décrite (Fig. 7). La configuration particulière de l'évaluation de cette parcelle, où une unique bande de 6 à 8 m de large a été défrichée avant notre intervention, ne nous a pas permis d'identifier l'étendue et la nature exacte de ces vestiges, car aucune extension n'a pu être réalisée. Le tracé sinueux de cette bande a été décidé par l'entreprise mandaté par l'aménageur dans le but de préserver au mieux les essences arbustives les plus développées (chênes et châtaigner) (Fig.6). De ce fait, lors de l'ouverture des tranchées 71 et 72, nous avons principalement rencontré des racines ligneuses superficielles et peu intrusives appartenant à une végétation de type buissonnante (ronces, aubépine). La réalisation des sondages dans les cinq fossés identifiés a permis d'observer les horizons superficiels qui recouvrent le substrat. En surface a été observée une couche de terre brune sombre très humique, épaisse de 0,25 à 0,3 m comportant un important réseau racinaire. A l'est, ce niveau repose directement sur le substrat, mais à l'ouest, au niveau de la tranchée 71 a été perçu sous cet horizon humique un niveau moins végétalisé d'une dizaine de centimètre

d'épaisseur interprété comme un ancien niveau perturbé par des labours. La consultation des différentes photos aériennes anciennes de l'IGN sur le site internet de Geoportail permet d'expliquer cette différence. A l'ouest, on observe l'existence d'un verger sur les clichés de 1959 et de 1966. Dès 1978, le verger à l'abandon commence par être envahi par une végétation buissonnante. En 2001, ce secteur est intégralement recouvert par la broussaille. A l'est, on observe en revanche un abandon plus tardif de la parcelle, qui est en pâture jusqu'en 2001. L'antériorité du couvert végétal à l'ouest explique l'accumulation d'humus qui a entraîné un rehaussement du niveau du sol, scellant les anciens niveaux de labours. Lors de la réalisation des tranchées, nous avons opté pour sonder systématiquement les faits dès leur découverte, car il aurait été délicat de revenir effectuer des sondages une fois les tranchées ouvertes. Les faits 71.1,



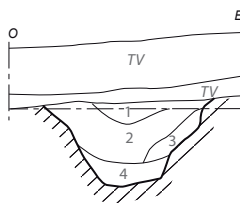
F. 71.1



- 1 Limon brun foncé perturbé avec des racines (ancienne terre végétale), peu compact
- 2 Limon argileux brun moyen, inclusions de quartz, peu compact
- 3 Limon argileux brun gris, homogène avec inclusions de quartz, légèrement sableux
- 4 Terrier ? Limon brun moyen

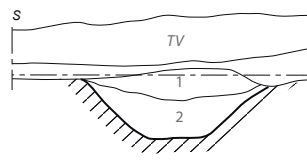
A 2

F. 71.3



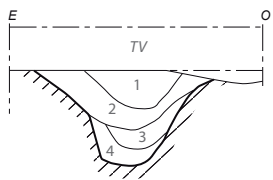
- 1 Limon brun clair, hétérogène, avec éclats de granite, assez compact
- 2 Substrat remanié, argileux gris-jaune clair, avec éclat de granite
- 3 Limon argileux gris clair, compact avec inclusions de charbon de bois et de cailloux de granite
- 4 Limon argileux gris-moyen, compact avec éclats de granite et de la céramique

F. 71.4



- 1 Substrat remanié jaune clair, hétérogène avec des poches de limon gris-brun moyen et des graviers de quartz, une meule en granite
- 2 Limon peu argileux gris avec des cailloux de granule entre 0.5 et 1 cm de granite

F. 72.3



- 1 Substrat remanié et végétalisé
- 2 Limon hétérogène, gris sableux, peu argileux, très compact, avec des inclusions de substrat orangé
- 3 Limon argilo-sableux gris, peu compact et plutôt homogène
- 4 Argile sableuse hétérogène orange, gris beige très compact

substrat argile-sableuse oxydée à dominante orange avec taches beiges, inclusions de quartz et des fragments de granite

Ech 1:50 0 250 cm

Fig. 76 Plan de détail des aménagements fossoyés des tranchées 72 et 73 et relevé des fossés 71.1, 71.3, 71.4, 71.5 et 72.3 (DAO : E. Collado) A FAIRE

71.3, 71.4, 71.5 et 72.3 ont donc été sondés mécaniquement (Fig. 76). Leurs orientations ONO/ESE et SOS/NEN sont proches du parcellaire antique mis en évidence au sud de l'emprise (voir partie II.4.5).

La datation proposée pour cet ensemble repose sur la découverte en fond de comblement de 71.4 d'un seul tesson de céramique (fond de céramique commune de mode B). Au vu de la morphologie de 71.4 (Fig. 77) et de 72.3, profondément creusé et possédant un comblement stratifié et de la découverte d'une meule rotative dans le comblement supérieur de 71.3, l'hypothèse de l'existence à cet endroit d'un enclos antique délimitant un habitat est probable.



Fig. 77 Vue de la coupe du fossé 71.4
(© équipe du diagnostic, Inrap)

2.4.7 Synthèse sur les occupations antiques

L'enclos n° 2, dont l'existence avait été révélée dès 1991 par prospection aérienne, est intégralement sis dans l'emprise du diagnostic. Il dessine un plan trapézoïdal et couvre une surface d'environ 3000 m². Il se situe à une altitude comprise entre 42,5 m et 44 m NGF, sur un versant exposé à l'ouest, juste en contrebas de l'enclos n° 1. Le mobilier céramique découvert dans les comblements du fossé d'enclos et des aménagements internes indique une brève occupation pour cet ensemble, située entre le milieu du Ier siècle avant notre ère et la fin du Ier siècle de notre ère. Le fossé d'enclos, sondé à trois reprises, indique plusieurs phases d'entretien et de réfection ; une entrée située au centre de la façade méridionale de l'enclos a été abordé dans la tranchée 22. Dans la surface enclose, plusieurs aménagements fossoyés ont été repérés (partition interne ?), ainsi qu'un bâtiment sur quatre poteaux (probable grenier) situé au niveau de son angle nord-ouest.

La trame parcellaire orthogonale mise en évidence sur toute la partie sud de l'emprise du diagnostic couvre une surface d'environ 10 hectares. Ses limites nord et ouest ont pu être observées, alors qu'au sud, le parcellaire se poursuit hors emprise. A l'est, ses limites restent incertaines. Les fossés la constituant sont pour la plupart orientés nord-ouest / sud-est et sud-ouest / nord-est ; quelques uns suivent toutefois des orientations légèrement divergentes. Au total, vingt lignes de fossés ont été observées, délimitant au moins treize parcelles. Les sondages réalisés ont permis de récolter quelques tessons de céramique datés principalement de la fin du Ier siècle avant notre ère et du Ier siècle de notre ère. Quelques extensions de décapage ont permis de renseigner certaines jonctions de fossés et ont permis de mettre en évidence des interruptions matérialisant plusieurs passages entre les

différentes parcelles. Un possible chemin, délimité par deux fossés espacés de 4 m a également été observé.

Ce parcellaire est postérieur aux aménagements de l'occupation laténienne comme l'indiquent les observations de surface effectuées dans la tranchée 26, au niveau de l'enclos n°1. Les informations chronologiques fournies par le mobilier céramique découvert dans les comblements de certains de ces fossés indiquent la contemporanéité de ce parcellaire avec l'enclos n°2. Il s'agirait donc d'un système de champs et/ou d'enclos à bestiaux associés à l'habitat rural gallo-romain.

Au nord-ouest de l'emprise du diagnostic, cinq tronçons de fossé pourraient appartenir à une occupation antique distincte de celle mise en évidence plus au sud. La datation proposée pour cet ensemble reste incertaine car elle repose sur la découverte d'un seul tesson de céramique, mais au vu de la morphologie de deux de ces fossés, profondément creusés et possédant un comblement stratifié, l'hypothèse de l'existence à cet endroit d'un autre enclos délimitant un habitat est probable.

2.5. L'organisation du territoire à l'époque moderne et contemporaine

De nombreux fossés correspondant à des limites parcellaires modernes et/ou contemporaines, ainsi que deux anciens chemins comblés récemment ont été observés sur l'emprise du diagnostic. La superposition du cadastre napoléonien (dressé à Quéven en 1814) sur le plan des vestiges fossoyés découverts (Fig. 78) et la consultation de plusieurs photos aériennes anciennes (Fig. 79) permettent de valider leur abandon récent. Leur comblement est le plus souvent brun sombre, assez organique, et livre ponctuellement du mobilier (verre, métal, faïence, plastique) permettant de confirmer leur comblement au cours de la seconde moitié du XX^e siècle. A quelques exceptions près, ces éléments constitutifs du parcellaire contemporain n'ont pas été sondés.

Par ailleurs, cinq fosses dépotoirs contemporaines ont été découverte (26.1, 20.1, 18.5, 23.1 et 23.2) ainsi qu'au moins 90 fosses de plantation d'arbres, principalement situées au nord et à l'est de l'emprise.

2.6. Le mobilier archéologique

2.6.1 une hache polie (S. Blanchet)

D'après les observations macroscopiques, cette lame de hache a été réalisée dans une dolérite à grain fin (Fig. 80). Il s'agit très probablement d'une métadolérite de type A issue des carrières de Plussulien (22). La section de la lame est ovale. Les bords sont arrondis et convexes. Le tranchant est également arrondi, il présente un léger émoussé qui témoigne que la hache a été utilisée. Aucune trace d'affûtage n'est visible. La pièce se distingue par des dimensions relativement importantes et un polissage soigné sur l'ensemble de la surface. En revanche, son profil reste assez irrégulier. Des négatifs d'enlèvement liés à la phase de façonnage n'ont pas été oblitérés par le bouchardage puis le polissage de la lame.

Son profil légèrement plano-convexe indique qu'elle a été utilisée comme herminette.



Fig. 78 Localisation de l'emprise du diagnostic sur fond cadastral de 1814 (DAO : E. Le Goff, Inrap)



Fig. 79 Cliché aérien de 1959 (© Geoportail)

2.6.2 le mobilier céramique de la protohistoire ancienne (T. Nicolas)

2.6.2.1 Méthodes de travail

Les parcelles abordées au cours de cette intervention de diagnostic archéologique ont permis de recueillir un petit lot de mobilier : 240 tessons ou éléments de formes en céramique. Tous ces éléments font l'objet d'une étude organisée par tranchée de découverte.

2.6.2.2 Catalogue par contexte de découverte

Fait 17.3

Il a été mis au jour les fragments d'un récipient biconique dont seul un fragment de la partie médiane est conservée (Fig. 81). Il s'agit d'un récipient en céramique semi grossière à registre d'impressions digitées (de petites tailles) sur l'épaulement. D'un point de vue typologique cet individu-vase peut être attribué au Bronze final voir au début du Premier âge du Fer.

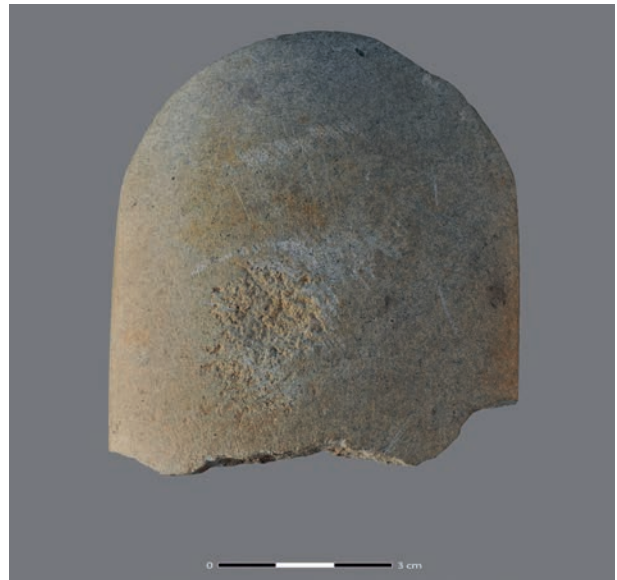


Fig. 80 la hache polie provenant de la surface de la parcelle CK 67 © S. Blanchet, Inrap)

Fait 99.1

Il a été mis au jour les fragments de deux récipients (Fig. 81). Le premier en céramique grossière est de profil biconique à bord rentrant et lèvre arrondi. Il est doté d'un pseudo-cordon suboral anguleux. Du second individu en céramique fine, seule l'encolure est conservée. Cette dernière est légèrement rentrante, le bord éversé et la lèvre arrondie. Ces éléments de formes sont relativement ubiquistes et permettent seulement d'envisager une datation à la transition entre la fin du Néolithique et le début du Bronze ancien.

2.6.3 le mobilier céramique de la protohistoire récente (H. Delnef)

Un ensemble de 211 tessons, pour un NMI de 12, a été recensé lors du diagnostic de Quéven. Ce lot se répartit entre deux secteurs géographiques qui se différencient également par la datation du mobilier céramique. Le secteur nord est centré autour de l'enclos n°1, complété par quelques restes céramiques découverts dans les tranchées 21 et 23. Il totalise 151 fragments pour 8 individus au minimum. Le secteur sud avec 60 restes et un NMI

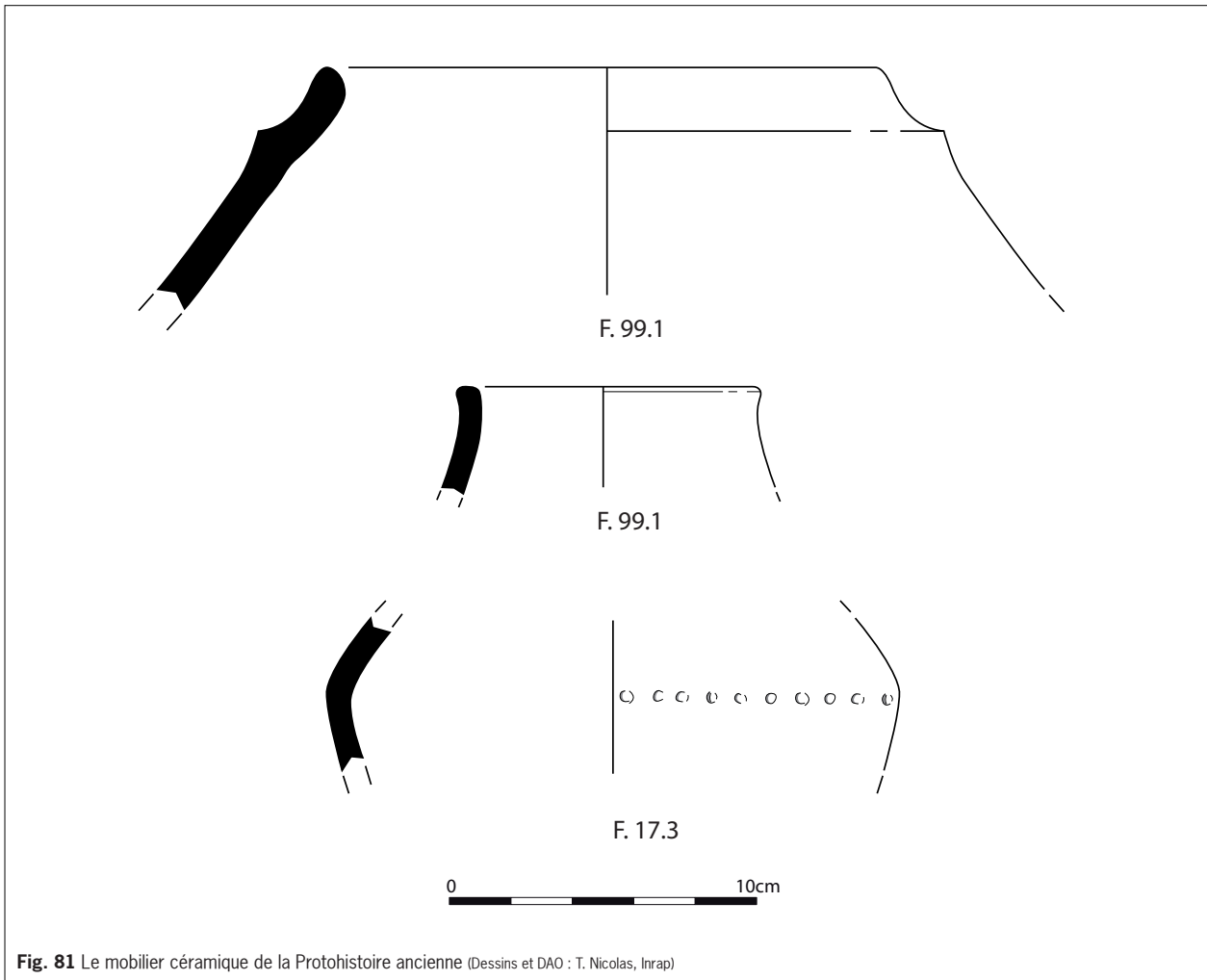


Fig. 81 Le mobilier céramique de la Protohistoire ancienne (Dessins et DAO : T. Nicolas, Inrap)

de 4, se situe autour d'une zone regroupant des structures de différentes natures (tranchées 18 et 19) (voir tableau d'inventaire). Les fragments recueillis sont bien conservés et peu roulés. Plusieurs individus sont attribuables à une forme précise.

Dans le secteur Sud, peu de formes sont caractéristiques. Néanmoins, un récipient haut bitronconique à carène haute (fait 19.3) est remarquable (Fig. 82). Il trouve des comparaisons sur des sites du Ve siècle avant notre ère comme celui de Kerven Teignouse à Inguiniel par exemple. Un vase en céramique fine à panse arrondie a été mis au jour dans le fait 18.15 (Fig. 82). Un décor en marguerite composé de cupules entourées d'ocelles estampées prend place sur son épaulement. Celui-ci est une variante du motif composé uniquement de cupules visible, par exemple, à Kerjaouen durant la première moitié du Ve siècle (Villard *et al.* 2003). L'utilisation d'estampages en ocelle est visible également dans la phase 1 de Kerven Teignouse à Inguiniel (début Ve siècle ; Tanguy *et al.* 2000).

Dans le secteur nord, plusieurs lots sont issus du fossé de façade est de l'enclos n° 1 (Fig. 83). Le fait 25.6 a livré notamment des fragments de panses ornées. Des décors de cannelures fines horizontales et de filets verticaux réalisés au lissage sont ainsi recensés. Un épaulement recouvert d'un aplat graphité est également répertorié. Ces modes d'ornementation sont plus fréquemment en usage du III^e au I^{er} siècle comme sur le site de Châteaugiron « La Perdriots » par exemple (Cattedu 2013). Ces vases sont accompagnés d'une forme haute à panse ovoïde et bord rectiligne évasé. Dans le fait 26.19 se trouve une forme simple à panse rectiligne. Celle-ci appartient à un type courant dans les habitats laténiens.

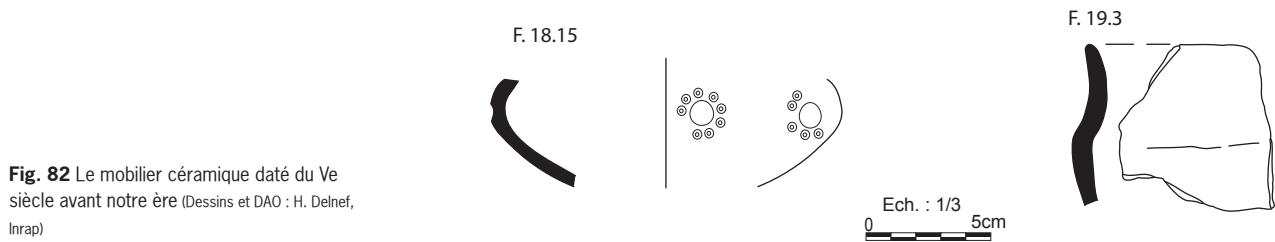


Fig. 82 Le mobilier céramique daté du Ve siècle avant notre ère (Dessins et DAO : H. Delnef, Inrap)

2.6.4 le mobilier céramique antique (R. Delage)

F. 21.1

Fragments de céramique commune de mode A appartenant au même individu que les fragments de l'US 3 ou 4. Une portion de l'anse, trifide, est attestée.

F. 21.1, US 3 ou 4

Lot de 40 fragments de céramique gallo-romaine.

En céramique fine de mode B sont attestés des fragments en pâte blanchâtre à revêtement gris bleuté. Au moins un d'entre eux appartient à une forme fermée.

La céramique commune de mode A ne compte, là encore, que des fragments de panse de cruche en pâte blanchâtre calcaire ou de couleur claire.

La céramique commune de mode B comporte le lot de fragments le plus

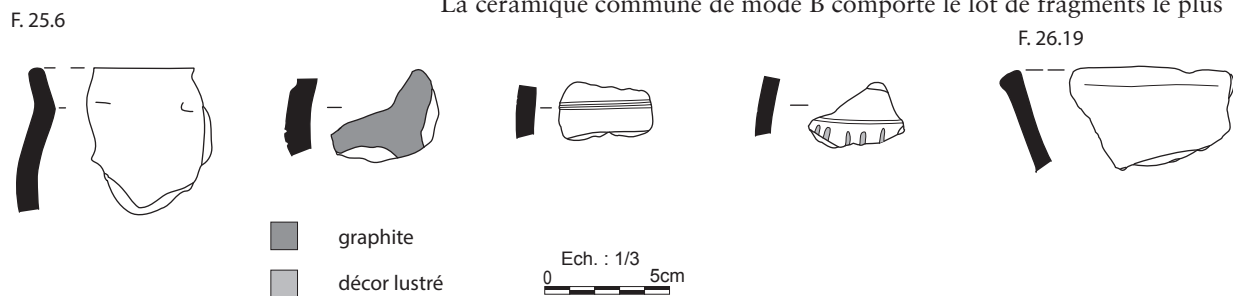


Fig. 83 Le mobilier céramique daté des IIIe au Ier siècle avant notre ère (Dessins et DAO : H. Delnef, Inrap)

important : pot CoB3 (Fig. 84, n°3) en pâte colorée et surface noire et bord de pot CoB7 en pâte blanchâtre (Fig. 84, n°2) ainsi qu'une écuelle archéologiquement complète proche du type Quimper 83 en pâte très dégraissée notamment de mica (Fig. 84, n°1). Il s'agit là, tout de même d'une forme singulière et il n'est pas impossible que l'on soit en présence d'une céramique retaillée dont les bords ont été si bien polis qu'il n'est guère évident de savoir si elle a été conçue initialement comme ça ou non. Datation : ce lot est caractéristique d'un assemblage de la seconde moitié du I^{er} s. ap.

au dessus de F. 21.1

Fragments de céramique médiévale ou moderne.

F. 22.3

Fragments d'amphore de Tarraconaise en pâte jaunâtre peu cuite.

Datation : dernières décennies du I^{er} s. av. – début du I^{er} s. ap.

F. 22.3, US 5 (coupe ouest)

Fragment de céramique commune de mode B correspondant plutôt à une production précoce.

Datation : dernières décennies du I^{er} s. av. – début du I^{er} s. ap.

F. 22.4, nettoyage de surface

Fragments de céramique de datation indéterminée.

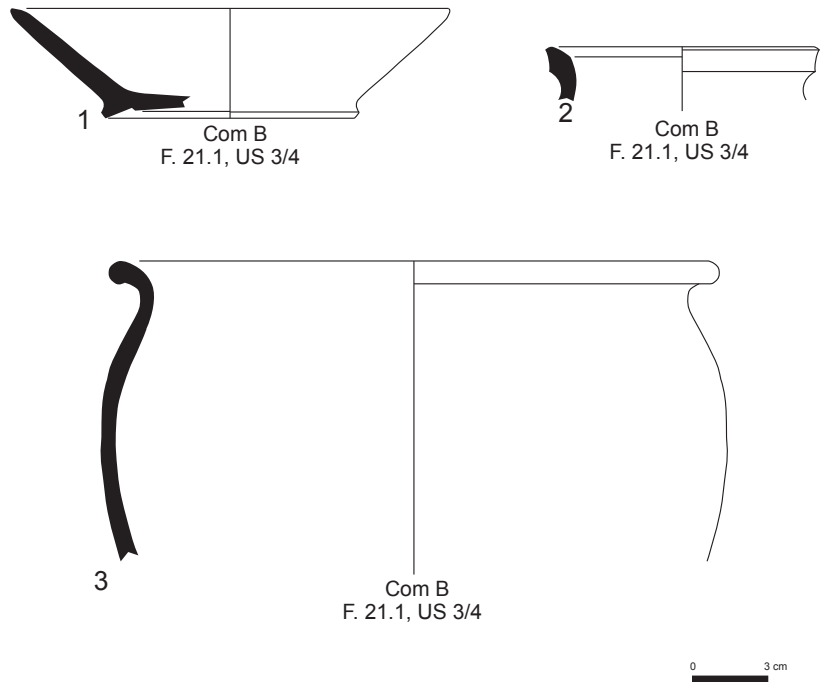


Fig. 84 Le mobilier céramique antique ;
F. 21.1, US 3 / 4 (Dessins et DAO : R. Delage, Inrap)

F. 22.7

Fragments de céramique de l'âge du Bronze/Protohistoire ancienne.

F. 22.8

Fragment de céramique commune de mode B en pâte noire dégraissée typique des productions gallo-romaines précoces.

F. 22.11

Fragments de céramique commune de mode B en pâte grise très dégraissée notamment de mica.

Datation : dernières décennies du I^{er} s. av. - début du I^{er} s. ap.

F. 22.13

Fragments d'une jatte de type Quimper 355 (Fig. 85, n°4).

La datation de ce vase est donc contemporaine de celle des autres céramiques du fait 22.13, US 1.

F. 22.13, US 1

Lot de céramique gallo-romaine.

En céramique commune de mode B figurent deux vases : un pot proche du type Quimper 405 en pâte très dégraissée, noire et lissée dans la partie supérieure et rouge par ailleurs (Fig. 85, n°6). Un autre bord comporte une anse relativement massive à deux sillons, attachée sur la lèvre. Il peut correspondre à une variante de pot à anse Quimper 347 (Fig. 85, n°5). Un fragment d'amphore présente les caractéristiques techniques des productions italiques. Compte tenu de la chronologie des autres formes, il peut s'agir d'une portion de Dr. 2/4 plutôt que de Dr. 1.
Datation : dernier quart du I^{er} s. ap. - première moitié du II^e s. ap.

F. 22.14

Fragments de céramique mi-fine de mode B (ou commune de mode B très peu dégraissée) correspondant certainement à une cruche à bec tréflé.
Datation : deuxième moitié du I^{er} s. ap. – début II^e s. ap.

F. 22.15

Fragments d'une céramique cuite en mode A (pâte saumon) correspondant vraisemblablement à l'embouchure d'un pot à anse de type Quimper 341 (Fig. 86, n°7). La lèvre est plate avec un léger ressaut interne.
Datation : I^{er} s. ap.

F. 23.5

Fragment de céramique fine de mode B sans caractérisation de forme.

F. 23.6, US 1

Fragments de céramique commune de mode B : base d'un pot en pâte noire micacée et fond d'un grand vase de stockage vraisemblablement de type CoB82 en pâte sombre très dégraissée.
Fragments d'amphore de Tarraconaise en pâte blanchâtre peu cuite.
Datation : dernières décennies du I^{er} s. av. – début du I^{er} s. ap.

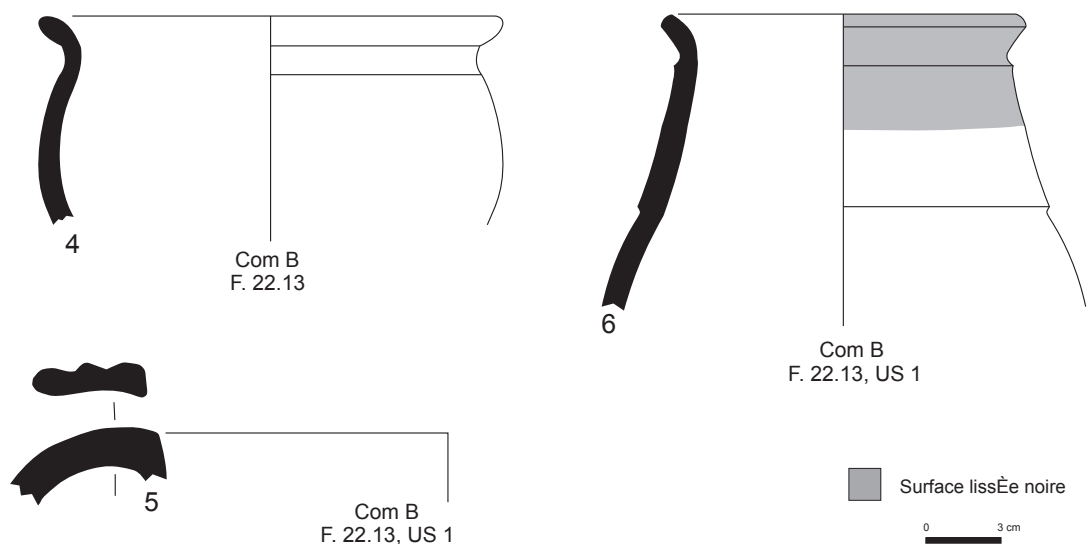


Fig. 85 Le mobilier céramique antique ;
F. 22.13 (Dessins et DAO : R. Delage, Inrap)

F. 23.6, base de l'US 1

Fragments altérés de céramique fine de mode B et col d'amphore Pasc. 1 de Tarraconaise en pâte rouge (Fig. 86, n°8).

Datation : première moitié du I^{er} s.

F. 23.7

Fragments de céramique fine de mode B en pâte blanchâtre à surface gris bleuté comportant notamment un bord de coupe.

Fragment de céramique commune de mode B.

Datation : I^{er} s. ap.

F. 23.8

Fragments de céramique commune de mode B du I^{er} s. ap.

F. 23.8, US 2

Fragments de céramique commune de mode B du I^{er} s. ap.

F. 24.7

Bord d'un pot cuit en mode B. La panse est globulaire marquée de sillons au niveau du diamètre le plus grand. Col concave et petite lèvre en bourrelet. Le col est lissé et sur le haut de la lèvre en interne est tracé un petit sillon (Fig. 86, n°9).

Datation : production du I^{er} s. av. (La Tène finale ou gallo-romain précoce)

Tr. 25, iso. 1

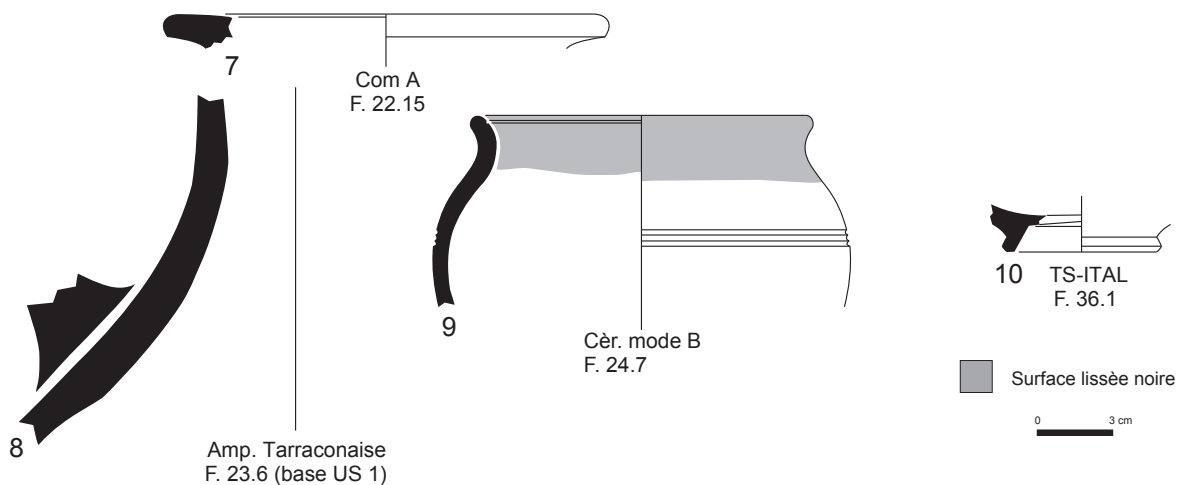
Fragments de céramique de datation indéterminée.

F. 25.3, US 1

Fragment d'un pot en céramique commune de mode B à pâte sombre très dégraissée notamment de mica. Il s'agit d'une lèvre éversée de petit format identique à celle du fait 25.20, US 1 de la même tranchée.

Datation : dernières décennies du I^{er} s. av. – début du I^{er} s. ap.

Fig. 86 Le mobilier céramique antique ; 7 : F. 22.15 ; 8 : F. 23.6 (base US 1) ; 9 : F. 24.7 ; 10 : F.36.1 (Dessins et DAO : R. Delage, Inrap)



F. 25.20

Fragments d'amphore de Tarraconaise appartenant au même individu que celui de l'US 1 du même fait.

F. 25.20, US 1

Le lot de céramique comporte des communes de mode B dont deux fonds en pâte très dégraissée micacée et un bord de pot à lèvre éversée proche du type CoB82 (attesté généralement dans de plus grands formats). Un autre fragment correspond à une céramique non tournée de la Tène finale ou de la période gallo-romaine précoce.

Un fragment d'amphore de Tarraconaise en pâte beige plutôt fine complète cet ensemble.

Datation : dernières décennies du I^{er} s. av. – début du I^{er} s. ap.

F. 26.12

Fragments de céramique commune de mode B en pâte noire très peu dégraissée.

Fragment de céramique modelée de la fin de La Tène ou de la période gallo-romaine précoce.

Fragments d'amphore de Tarraconaise en pâte beige, peu cuite.

Datation : dernières décennies du I^{er} s. av. - début du I^{er} s. ap.

F. 35.5

Fragments de céramique de datation indéterminée.

F. 36.1

La céramique sigillée est représentée par le fond d'une coupelle en sigillée italique (-20/+20 ; Fig. 86, n°10).

En céramique commune de mode A est présent un fond de pot relativement massif en pâte micacée et en céramique commune de mode B, des petits fragments de panse, là encore en pâte très dégraissée notamment de mica comme le sont les productions précoces.

Des fragments d'amphore de Tarraconaise en pâte jaune peu cuite sont également attestés.

Datation : ce lot est caractéristique des céramiques en usage à la fin du I^{er} s. av. et au début du I^{er} s. ap.

F. 36.1, US 3

Fragments de céramique sigillée appartenant au même individu que ceux du fait 36.1 sans mention d'US.

Fragments de céramique fine de mode B et de commune de mode B sans caractérisation de forme.

Datation : fin du I^{er} s. av. - début du I^{er} s. ap.

F. 51.4

Fragments de céramique contemporaine.

F. 48.5

Fragment de céramique de datation indéterminée (médiévale ou moderne ?).

F. 57.2

Fragment de céramique médiévale ou moderne.

F. 71.4

Fragment de céramique commune de mode B correspond probablement au fond d'un grand vase de la période gallo-romaine.

Tr. 79, iso 1

Fragments de céramique de datation indéterminée.

F. 83.1

Fragment de céramique médiévale ou moderne.

2.6.5 un tesson de céramique du haut Moyen Âge (F. Labaune-Jean)

Le diagnostic pratiqué sur la commune de la commune de Quéven, au lieu-dit La Croix du Mourillon, a livré un unique tesson se rattachant au haut Moyen Âge (F. 22.1). Il se compose d'une petite section de panse courbe complétée par la partie basse d'une anse plate de section ovale pincée. La pâte est de teinte brun orangé, de même que la surface. Le dégraissant est assez petit mais perceptible à l'œil, donnant un aspect granuleux à la texture. L'aspect de la forme conjugué à celui de la pâte permet d'envisager un rapprochement de ce tesson isolé avec les productions en usage au cours du haut Moyen Âge, sans doute entre les VIII-IX^e siècles. Cette proposition semble en accord avec l'occupation alto-médiévale recensée à proximité lors d'interventions antérieures sur la commune (Crowch 2012).

2.6.6 le macro-outillage (V. Brisotto)

Un petit lot de 10 éléments macrolithiques a été prélevé lors du diagnostic de Queven. Il comprend trois fragments de meules à va-et-vient et trois meules rotatives dont une entière. Parmi les quatre autres objets retenus pour l'étude, un seul représente avec certitude un outil : il s'agit d'un petit galet poli à cupule.

La matière première sélectionnée pour les outils de mouture est le granite que l'on retrouve sous différents faciès :

- un type à grains grossiers de teinte claire pouvant correspondre à un leucogranite, utilisé pour la meta entière
- un type à grains moyens à grossiers employé pour un fragment de meule à va-et-vient et un fragment de meule rotative
- un type à grains fins riches en biotite utilisé également pour deux fragments de meule à va-et-vient et un fragment de meule rotative

La variabilité des faciès reflète la complexité et la diversité du contexte géologique local, lié au cisaillement sud-armoricain. Il paraît donc difficile de caractériser et de localiser précisément les gisements en l'absence d'analyse pétrographique plus poussée.

Le granite à grains fins massifs pourrait correspondre au granite anatectique de Guidel, qui trouve des similitudes avec celui d'Hennebont ou de Caudan. Les granites plus grossiers et les leucogranites peuvent correspondre au type de Moëlan ou encore à ceux du secteur de Ploemeur.

Description du mobilier par tranchée et par fait

F. 18.17

Ce fait a livré un petit fragment de meule façonnée dans un granite à grains

moyens à grossiers (n° 6). La régularité du flanc de forme convexe ainsi que la rupture de celui-ci avec la surface active évoque une probable meta (Fig. 87, n° 4). Seule l'épaisseur du flanc est connue (9,8 cm). La face active vraisemblablement plane est fortement polie.

La détermination de ce fragment en tant que meule rotative remet en cause la datation de cette structure au sein d'un ensemble daté du Ve siècle avant notre ère. Il n'est donc pas à exclure que ce fragment appartienne à une meule à va-et-vient au façonnage très soigné.

F. 23.6

Il s'agit d'un fragment de meule à va-et-vient (n° 3) établie sur un bloc de granite à grains fins à moyens (Fig. 87, n°1). La texture de la roche ne facilitant par la lecture des stigmates, il ne nous paraît pas évident que les flancs conservés aient subi une quelconque mise en forme. Quelques parties semblent toutefois martelées. De même, quelques négatifs d'enlèvements sont visibles, partant du dos de l'outil, non aménagés. La surface active présente une large plage polie, légèrement concave, bordée d'une zone non usée située dans la continuité de la surface d'utilisation, et correspondant à une surface de diaclase. Il ne semble pas s'agir véritablement d'un rebord mais plutôt d'un geste de travail se limitant au centre de la pièce.

Tout comme pour les flancs, il nous semble difficile d'observer une possible préparation de la surface de travail, même si quelques impacts sous-jacents ont pu être repérés.

F. 23.6

La même structure a livré la moitié d'un petit galet plat de grès fin quartzitique (n°6) montrant différents types de stigmates d'utilisation (Fig. 88). De forme sub-ovale, l'une des faces présente une surface plane fortement polie au centre de laquelle se situe une légère cupule également polie laissant apparaître sous cet état de surface quelques impacts punctiformes. La face opposée, régulièrement plane est de même densément polie. L'usage de ce petit galet pourrait être lié au broyage et au concassage. L'aspect du poli, dense, opaque et légèrement gras, sans traces évidente de percussion évoquent le travail de matière souple.

Fait 25.20

Ce fossé a livré le fragment d'une meule à va-et-vient (n°4) façonnée dans un granite à grains fins à moyens (Fig. 87, n°2). De forme probablement ovale, seule l'épaisseur de la pièce est connue (7,5 cm). Le flanc et l'extrémité conservés sont façonnés par enlèvements et régularisés par martelage. Ils sont rectilignes à légèrement convexes. Le dos est quant à lui martelé, conférant la stabilité de la pièce au sol.

La surface active présente un léger rebord préparé comme le reste de la surface d'utilisation mais non atteint par l'usure. Il semble plutôt du à une réserve qu'à une mise en forme particulière comme c'est le cas pour certaines meules du Néolithique Final (Monchablon, 2014). La surface de travail est quant à elle concave longitudinalement et plane transversalement. S'y développe un poli dense au centre et à proximité de la butée.

F. 25.20

Issu du même fossé, un petit objet en dolérite (n°8) en partie fracturé s'apparente à un petit marteau (Fig. 89). De forme rectangulaire à section carré, l'extrémité conservée semble avoir été aplanie par percussion. Par ailleurs, sur l'une des faces, de fins impacts punctiformes sont également visibles en limite de fracture.

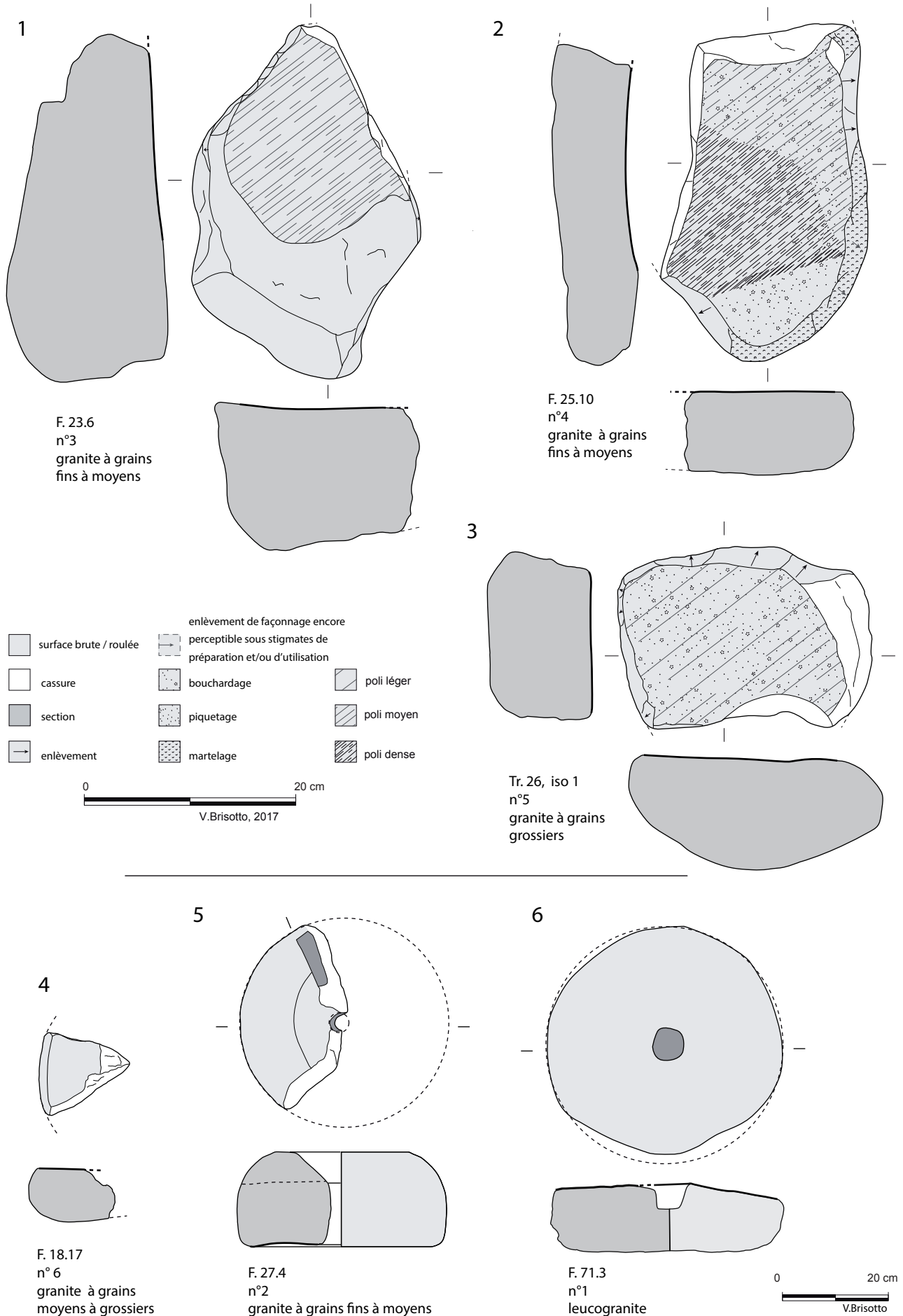


Fig. 87 le macro-outillage : 1, 2, 3 : meules à va-et-vient ; 3 : probable meta ; 5 : catillus ; 6 : meta (Dessins et DAO : V. Brisotto, Inrap)

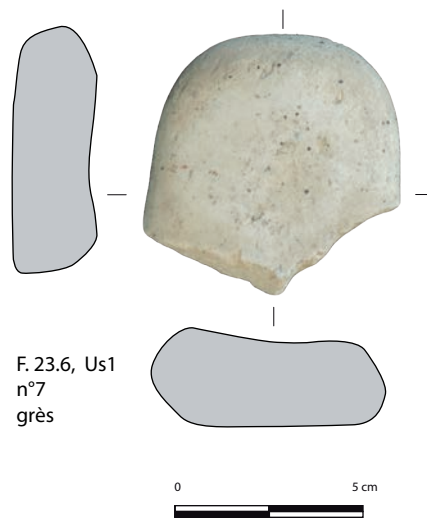


Fig. 88 le macro-outillage : galet poli à cupule utilisé comme broyeur / concasseur (© et dessin : V. Brisotto)

Tranchée 26, isolat 1

Trouvé hors structure, ce fragment de meule à va-et-vient (n°5) est façonné dans un galet de granite à grains grossiers. Large de 23,5 cm et épaisse de 10 cm, elle a conservé à son dos une forme naturellement arrondie (Fig. 87, n°3). Si les deux flancs opposés (dont l'un est en partie fracturé) ne semblent pas façonnés, l'extrémité conservée est « rabattue » par de larges enlèvements. La surface active est plane aussi bien longitudinalement que transversalement. Elle est affectée d'un poli moyen réparti sur l'ensemble de la surface.

F. 27.4

Il s'agit d'un secteur de catillus (n°2) façonné dans un granite fin, comportant de gros cristaux de feldspath. Les biotites y sont relativement nombreuses. D'un diamètre estimé à 39 cm, il présente un flanc convexe d'une hauteur de 18 cm, au sommet duquel part un réceptacle pentu de faible ampleur (Fig. 87, n°5). L'œil semble vraisemblablement circulaire et possède un diamètre estimé à 4 cm. Sa profondeur est de 11 cm.

Ce fragment est muni d'un aménagement correspondant à un emmanchement à ciel ouvert de forme quadrangulaire.

La face active légèrement concave est densément polie et présente en périphérie de l'œil un dépôt sombre semblant correspondre à des résidus métalliques (Fig. 90). S'il est pour l'heure difficile de caractériser et d'interpréter ces traces, leur localisation permet d'exclure un caractère technique lié au fonctionnement de la meule, mais plutôt d'envisager un dépôt résiduel peut-être lié au produit broyé ou encore à des résidus post-dépositionnels.

F. 71.3

Façonnée dans un granite à grains très grossiers de teinte claire (leucogranite ?), cette meule correspond à une meta entière (n°1) d'un diamètre de 45 cm (Fig. 87, n° 6). Les flancs de forme rectiligne (même si quelque peu irréguliers) montrent un façonnage par enlèvements que viennent régulariser des traces de martelage. Le dos est quant à lui grossièrement stabilisé par martelage. L'œil de forme circulaire est non perforant et présente un diamètre de 6 cm pour une profondeur maximale de 4 cm. Il présente un léger bourrelet périphérique. La surface active légèrement dissymétrique présente un pendage allant de 2 à 10°. L'usure y est peu marquée.

Pour finir, deux éléments douteux ont été prélevés dans la terre végétale et bien qu'inventoriés, leurs stigmates semblent peu significatives. Le premier correspond à un petit galet de gneiss (n°9), présentant des plages polies peut-être liées à une action de frottement.

Le second est un fragment d'une plaquette de schiste fortement polie et légèrement esquillée (n°10). Avec toutes les réserves émises précédemment, il pourrait s'agir d'un petit aiguisoir.

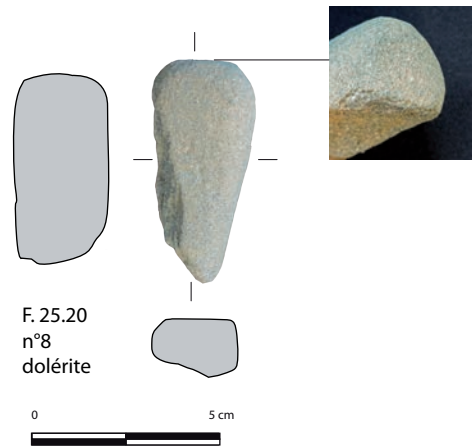


Fig. 89 le macro-outillage : probable petit marteau en dolérite (© et dessin : V. Brisotto)

Bilan

Ce petit ensemble composé essentiellement de matériel de mouture atteste de la vocation domestique des occupations. Les meules à va-et-vient présentent jusqu'à la Tène finale utilisent des blocs préformés pour lesquels le façonnage est limité. Deux exemplaires possèdent des surfaces actives concaves avec la particularité de présenter un rebord ou une réserve, localisé(e) à l'extrémité des pièces. Quant aux meules rotatives, le fragment de catillus issu de la structure 4 Tr 71, trouve des comparaisons dans sa morphologie générale et dans son type d'emmanchement (à ciel ouvert) dans les exemplaires occidentaux de la Bretagne, comme à Quimper « Kergolvez », ou à Paule « St Symphorien », et contrairement à ceux des sites plus septentrionaux comme Bais « Carrière des Vallons » (Durand,) ou les « Vairies » à Saint-Sauveur des Landes (Sicard,) où les emmanchements latéraux aveugles prédominent (Hamon et al. 2011). Par ailleurs, l'absence de bandeau véritablement marqué associé à un flanc haut convexe pourrait marquer un caractère assez ancien.



Fig. 90 le macro-outillage : dépôt (résidus métalliques ?) sur la surface active du catillus n°2 (Tr 18 st 17), (© V. Brisotto)

3 Conclusion

Le diagnostic archéologique mené au préalable de l'extension de la zone industrielle du Mourillon a concerné une surface de 26 hectares. Il a permis de mettre au jour plusieurs occupations humaines anciennes.

Des indices d'une fréquentation des lieux au cours de la Protohistoire ancienne existent au sud-est de l'emprise du diagnostic. Le Néolithique est illustré par la découverte en contexte remanié de plusieurs silex taillés ainsi que d'un fragment de hache polie en dolérite. Une fosse isolée a livré de la céramique datée de la transition entre le III^e et le II^e millénaire avant notre ère. Elle constitue le seul indice probant d'une occupation des lieux entre la fin du Néolithique et le début de l'âge du Bronze. Toujours dans le même secteur, sur le point culminant de l'emprise de notre intervention, plusieurs tessons de céramique découverts hors structure indiqueraient l'existence à cet endroit d'un site arasé du Bronze final voire du début du Premier âge du Fer.

Au sud-ouest de l'emprise, une occupation datée du V^e siècle avant notre ère a été mise en évidence. Elle se caractérise par plusieurs segments de fossé dont l'organisation, peu commune, ne nous renseigne guère sur leur fonction. Quelques fosses sont associées à cet ensemble qui s'étend sur une surface d'environ 1 000 m².

Plus au nord, notre opération a permis d'aborder deux enclos dont l'existence avait été révélée dès 1991 par prospection aérienne. Tous deux sont intégralement sis dans l'emprise du diagnostic.

Le premier dessine un plan subtrapézoïdal, il possède une entrée sur sa façade orientale et couvre une surface d'environ 4 500 m². Son occupation s'étale sur près de trois siècles, entre le III^e et la première moitié du I^{er} siècle avant notre ère. Le fossé d'enclos montre plusieurs phases d'entretien et de réfection et son remplissage atteste de l'existence d'un talus interne. Plusieurs aménagements ont été observés dans la surface enclose, ainsi qu'en périphérie (fossés, trous de poteau, fosses, structures de combustion). Le mobilier recueilli en surface de décapage et dans les sondages effectués dans les diverses structures associées à cette occupation est assez abondant et varié, indiquant le caractère domestique de cette occupation : la céramique comporte de nombreux fragments d'amphore, le macro-outillage est bien représenté (meules rotatives et va-et-vient en granite) et quelques scories sont également attestées.

Le second enclos dessine un plan trapézoïdal et possède une entrée sur sa façade sud. Il couvre une surface d'environ 3 000 m². Il se situe à proximité et en contrebas du premier enclos. Le mobilier céramique découvert dans le comblement du fossé d'enclos et des aménagements internes indique une brève occupation pour cet ensemble, entre le milieu du I^{er} siècle avant notre ère et la fin du I^{er} siècle de notre ère. Le fossé d'enclos indique plusieurs phases d'entretien et de réfection. L'existence d'un talus interne est attestée. Dans la surface enclose, plusieurs aménagements fossoyés ont été repérés (partition interne ?), ainsi qu'un bâtiment sur quatre poteaux (probable grenier).

Associé à cet enclos, une trame parcellaire orthogonale couvrant une surface d'environ 10 hectares a été mise en évidence sur toute la partie sud de l'emprise du diagnostic. Les fossés la constituant sont pour la plupart orientés nord-ouest / sud-est et sud-ouest / nord-est ; quelques uns suivent toutefois des orientations légèrement divergentes. Au total, vingt lignes de fossés ont été observées, délimitant au moins treize parcelles. Les sondages

réalisés ont permis de récolter quelques tessons de céramique datés principalement de la fin du I^{er} siècle avant notre ère et du I^{er} siècle de notre ère. Quelques extensions de décapage ont permis de renseigner certaines jonctions de fossés et ont permis de mettre en évidence des interruptions matérialisant plusieurs passages entre les différentes parcelles. Un possible chemin a également été observé.

Au nord-ouest de l'emprise, cinq tronçons de fossé pourraient appartenir à une occupation antique distincte de celle mise en évidence plus au sud. La configuration particulière de l'évaluation de cette parcelle couverte d'arbres et de broussailles ne nous a pas permis d'identifier l'étendue et la nature exacte de ces vestiges, car aucune extension n'a pu être réalisée. La datation proposée pour cet ensemble reste incertaine car elle repose sur la découverte d'un seul tesson de céramique. Au vu de la morphologie de deux de ces fossés, profondément creusés et possédant un comblement stratifié et de la découverte d'une meule rotative dans le comblement supérieur de l'un d'eux, l'existence à cet endroit d'un autre enclos délimitant un habitat est probable.

4 Bibliographie

Bibliographie générale

Bertrand 1999

BERTRAND (R.), Prospection-inventaire, Finistère ouest et Morbihan sud, rapport de prospection, 1999, 412 p.

Carte archéologique nationale

2013 – *Carte archéologique*. Service régional archéologique de Bretagne, campus de Beaulieu, 35042 Rennes Cedex.

Carte géologique de la France

1/250 000e, feuille de LORIENT, BRGM Editions, 1972.

Carte topographique 1/25 000e de BAUD, 0820 E, IGN Paris, 2006.

Cattedu 2013

CATTEDU I. *Ille-et-Vilaine, Châteaugiron, la Perdrigotais. Archéologie et environnement d'un terroir sur la longue durée et histoire de l'aménagement d'un territoire*. Rapport de fouilles, Cesson-Sévigné : Inrap GO.

Crowch 2012

CROWCH (A.) – RD 163, Liaison Le Mourillon/ Penescluz (Morbihan) : Rapport intermédiaire d'opération - diagnostic archéologique, SRA Bretagne, SDAM, 2012.

Crowch 2013

CROWCH (A.), BRUNIE (I.) – Brec'h, « Rue du stade » (Morbihan) : Rapport d'opération – diagnostic archéologique, SRA Bretagne, SDAM, 2013.

Durand 2016

DURAND (J.-C.), *Occupations laténiennes et gallo-romaines*, Bais, Louvigné-de-Bais, Carrière des Vallons, Etang de Daniel, Ensemble 1, Bretagne,

Ille-et-Vilaine, Rapport final d'Opération, Fouilles archéologiques, Inrap Grand-Ouest, SRA Bretagne.

Hamon et al. 2011

HAMON (C.), ROBIN (B.), DONNARD (K.), BRISOTTO (V.), Produire des meules du néolithique à l'âge du Fer-Economie des matières premières et évolution technologique des meules dans le massif armoricain, in MARCHAND G. et QUERRE G. dir.: *Roches et Sociétés de la Préhistoire entre Massif Cristallins et Bassins Sédimentaires*, PUR, p.221-236.

Le Bihan, Villard 2005

LE BIHAN (J.-P.) et VILLARD (J.-F.), dir., *Archéologie de Quimper. Matériaux pour servir l'histoire, t. 1 : De la chute de l'Empire romain à la fin du Moyen Age*. Centre de recherche archéologique du Finistère- Editions Cloître, 2005.

Leroy, Lotton et al., 2012

LEROY (B.), LOTTON (A.-M.), BRON (G.), BRUNIE (I.), DUCREUX (A.), LE CLEZIO (L.), ROUSSET (G.), TALLUAULT (O.), TORON (S.), 2012, *ZAC de Croizamus*, QUEVEN (56), Rapport final d'opération archéologique : fouille préventive.

Monchablon 2014

MONCHABLON (C.), Les meules de la fin du Néolithique dans le nord de la France : premiers résultats typo-chronologiques. In Louboutin C. et Verjux C. (eds.). *Zones de production et organisation des territoires au Néolithique. Espaces exploités, occupés, parcourus. Actes du 30e colloque interrégional sur le*

Néolithique (2011, Tours), Revue Archéologique du Centre de la France, supplément n° 51, p. 267-278.

Sicard 2016

SICARD (S.), *Un établissement rural gaulois en milieu humide Bretagne*, Ille-et-Vilaine, Saint-Sauveur-des-Landes, ZAC des Vairies, Les Croisés, RFO Fouilles Archéologiques, Inrap Grand-Ouest, SRA Bretagne.

Tanguy et al. 2000

TANGUY D., CHEREL A. F., LE REST G., « Le site d'habitat de l'Age du Fer de Kerven Teignouse à Inguiniel (Morbihan) », *Revue archéologique de l'Ouest*, 17, 1, pp. 143 173.

Villard et al. 2003

VILLARD J.-F., LE BIHAN J.-P., PLUTON S., GAUME É., « La nécropole à crémations du Hallstatt final-La Tène ancienne de Kerjaouen en Quimper (Finistère) », *Revue archéologique de l'Ouest*, 23, pp. 171 198.

Webographie

Relevé cadastral napoléonien numérisé de la commune de Quéven (Morbihan), 1814, Sections B2 et C3

Géoportail (<http://www.geoportail.gouv.fr>)

Liste des figures

Fig. 1 Localisation de l'opération (DAO : E. Collado, Inrap)	30
Fig. 2 Carte du relief (DAO : E. Le Goff, Inrap)	32
Fig. 3 Carte géologique de la région de Lorient, au 50 000 ^e (© Geoportail)	33
Fig. 4 Carte archéologique (DAO : S. Bourne, Inrap)	34
Fig. 5 Inventaire des sites archéologiques répertoriés sur la commune de Quéven	35
Fig. 6 Vues de la parcelle CB 9 (© équipe du diagnostic, Inrap)	36
Fig. 7 Extrait du cadastre communal, localisation des tranchées de diagnostic et répartition des vestiges archéologiques (DAO : E. Le Goff, Inrap)	39
Fig. 8 Plan de densité des faits archéologiques – ont été exclus du plan les éléments constitutif du parcellaire moderne et contemporain (DAO : E. Le Goff, Inrap)	40
Fig. 9 Relevé de la fosse 99.1 (DAO : E. Collado)	42
Fig. 10 Vue vers le sud-est de la fosse 99.1 (© équipe du diagnostic, Inrap)	42
Fig. 11 Relevé des anomalies de la tranchée 17 (DAO : E. Collado)	43
Fig. 12 Log de la tranchée 79 (DAO : E. Collado)	44
Fig. 13 Plan détaillé de l'occupation du Ve siècle avant notre ère et relevés des sondage effectués dans les faits 18.14, 18.15, 18.18 et 19.3 (DAO : E. Collado)	44
Fig. 14 Vue d'ensemble vers le nord des faits 18.14, 18.15, 18.17, 18.18, 18.19 et 18.20 (© équipe du diagnostic, Inrap)	45
Fig. 15 Vue d'ensemble vers le nord-ouest des faits 19.1, 19.4 et 19.5 (© équipe du diagnostic, Inrap)	46
Fig. 16 Vue d'ensemble vers le nord-est du fait 19.3 (© équipe du diagnostic, Inrap)	47
Fig. 17 Vue de la coupe sud du fait 19.3 (© équipe du diagnostic, Inrap)	47
Fig. 18 Cliché aérien des deux enclos du Mourillon (© Bertrand R., 1991)	48
Fig. 19 Plan détaillé de l'enclos gaulois et de ses abords immédiats (DAO : E. Collado)	48
Fig. 20 Localisation des sondages mécaniques réalisés dans le fossé d'enclos gaulois et relevé des coupes (DAO : E. Collado)	50
Fig. 21 Vue de la coupe est du fossé d'enclos 25.20 (© équipe du diagnostic, Inrap)	52
Fig. 22 Vue de la coupe nord du fossé d'enclos 26.16 (© équipe du diagnostic, Inrap)	53
Fig. 23 Vue vers le nord-ouest du fossé d'enclos 24.7 et de la zone des fours (© équipe du diagnostic, Inrap)	54
Fig. 24 Vue de la coupe nord du fossé d'enclos 24.2 (© équipe du diagnostic, Inrap)	55
Fig. 25 Vue de la coupe nord-est du fossé 24.3 (© équipe du diagnostic, Inrap)	56
Fig. 26 Relevé de la coupe sud-est du fossé 25.17 (DAO : E. Collado)	56
Fig. 27 Localisation et relevé des trous de poteaux identifiés dans l'enclos gaulois (DAO : E. Collado)	58
Fig. 28 Vue vers le nord du trou de poteau 24.4 (© équipe du diagnostic, Inrap)	59
Fig. 29 Vue vers le nord du trou de poteau 25.15 (© équipe du diagnostic, Inrap)	59
Fig. 30 Vue vers le nord du trou de poteau 25.11 (© équipe du diagnostic, Inrap)	59
Fig. 31 Plan détaillé des fours mis en évidence dans la tranchée 24 (DAO : E. Collado)	60
Fig. 32 Vue générale vers le sud du secteur des fours (© équipe du diagnostic, Inrap)	60
Fig. 33 Vue de détail vers le sud-est de la sole du four 24.17 (© équipe du diagnostic, Inrap)	61
Fig. 34 Vue de détail du four 24.16 (© équipe du diagnostic, Inrap)	61
Fig. 35 Vue de détail du four 24.18 (© équipe du diagnostic, Inrap)	62
Fig. 36 Localisation et relevés de trous de poteau située en extérieur de l'enclos (tranchées 25 et 27) (DAO : E. Collado)	63
Fig. 37 Vue vers le nord du trou de poteau 27.3 (© équipe du diagnostic, Inrap)	63
Fig. 38 Vue vers le nord du trou de poteau 27.9 (© équipe du diagnostic, Inrap)	64
Fig. 39 Vue zénithale du trou de poteau 25.5 (© équipe du diagnostic, Inrap)	64
Fig. 40 Localisation des trous de poteau isolés et relevés des faits 18.2, 39.2, 35.4, 35.5, 35.7 et 36.4 (DAO : E. Collado)	65
Fig. 41 Plan détaillé de l'enclos antique (DAO : E. Collado)	67
Fig. 42 Localisation des sondages mécaniques réalisés dans le fossé d'enclos antique et relevé des coupes (DAO : E. Collado)	68
Fig. 43 Vue de la coupe sud-est du fossé d'enclos 23.8 (© équipe du diagnostic, Inrap)	69
Fig. 44 Vue de la coupe nord-est du fossé d'enclos 23.5 (© équipe du diagnostic, Inrap)	69
Fig. 45 Plan de détail de l'interruption du fossé d'enclos 22.4 et des aménagements associés et relevé des faits 22.21, 22.23 et 22.24 (DAO : E. Collado)	70
Fig. 46 Vue d'ensemble vers le nord-ouest de l'interruption du fossé d'enclos 22.4 (© équipe du diagnostic, Inrap)	71
Fig. 47 Vue vers le nord du trou de poteau 22.22 (© équipe du diagnostic, Inrap)	71
Fig. 48 Vue de la coupe sud-ouest du fossé d'enclos 21.1 (© équipe du diagnostic, Inrap)	72
Fig. 49 Plan de détail des aménagements fossoyés de la tranchée 22 et relevé des coupes des fossés 22.3 et 22.13 (DAO : E. Collado)	73
Fig. 50 Vue de la coupe ouest du fossé 22.3 (© équipe du diagnostic, Inrap)	74
Fig. 51 Vue de la coupe sud-est du fossé 22.13 (© équipe du diagnostic, Inrap)	74
Fig. 52 Plan de détail du bâtiment sur quatre poteaux de la tranchée 21 et relevé du fait 21.2 (DAO : E. Collado)	75
Fig. 53 Vue d'ensemble vers le sud-est du bâtiment de la tranchée 21 avant extension du décapage (© équipe du diagnostic, Inrap)	75
Fig. 54 Vue de détail vers le sud-est du trou de poteau 21.2 (© équipe du diagnostic, Inrap)	76
Fig. 55 Relevé du segment de fossé 23.7 (DAO : E. Collado)	76
Fig. 56 Vue d'ensemble vers le nord du segment de fossé 23.7 (© équipe du diagnostic, Inrap)	77
Fig. 57 Localisation des trous de poteaux isolés découvert en extérieur de l'enclos antique, et relevé de 23.3 et 24.22 (DAO : E. Collado)	78
Fig. 58 Vue vers le nord du trou de poteau 23.3 (© équipe du diagnostic, Inrap)	79
Fig. 59 Vue vers le nord du trou de poteau 24.22 (© équipe du diagnostic, Inrap)	79
Fig. 60 Plan général du parcellaire antique mis en évidence au sud de l'emprise du diagnostic, et relevé des coupes des fossés 18.4, 18.6, 22.10, 22.11,	

23.6, 24.1, 25.3, 25.4, 27.6, 36.1, 41.4, 41.5, 75.3 et 75.2 (DAO : E. Collado)	80
Fig. 61 Vue de l'intersection entre les fossés 39.1 et 39.6 (© équipe du diagnostic, Inrap)	83
Fig. 62 Vue de l'intersection entre les fossés 41.4 et 41.5 (© équipe du diagnostic, Inrap)	83
Fig. 63 Vue de la coupe du fossé 41.4 (© équipe du diagnostic, Inrap)	83
Fig. 64 Vue des fossés 25.2, 25.3 et 25.4 (jonction entre L9, L10, L2 et L3) (© équipe du diagnostic, Inrap)	84
Fig. 66 Vue des fossés 27.6 et 27.7 (interruption entre L3 et L15) (© équipe du diagnostic, Inrap)	84
Fig. 65 Vue de la coupe des fossés 25.3 et 25.4 (© équipe du diagnostic, Inrap)	84
Fig. 67 Vue de la coupe du fossé 27.6 (© équipe du diagnostic, Inrap)	84
Fig. 68 Vue des fossés 22.7, 22.8, 22.18 et 22.19 (jonction entre L4, L5, L12 et L13) (© équipe du diagnostic, Inrap)	85
Fig. 70 Vue des fossés 36.1, 36.6 et 36.7 (intersection entre L4 et L7 et interruption de L5) (© équipe du diagnostic, Inrap)	85
Fig. 69 Vue de la coupe du fossé 22.11 (© équipe du diagnostic, Inrap)	85
Fig. 71 Vue de la coupe du fossé 22.10 (© équipe du diagnostic, Inrap)	85
Fig. 72 Vue de l'intersection entre les fossés 24.1 et 24.24 (jonction entre L6 et L15)	86
Fig. 73 Vue de la coupe du fossé 36.1 (© équipe du diagnostic, Inrap)	87
Fig. 74 Vue de la coupe du fossé 24.1 (© équipe du diagnostic, Inrap)	88
Fig. 75 Vue de la coupe du fossé 89.5 (© équipe du diagnostic, Inrap)	89
Fig. 76 Plan de détail des aménagements fossoyés des tranchées 72 et 73 et relevé des fossés 71.1, 71.3, 71.4, 71.5 et 72.3 (DAO : E. Collado) A FAIRE	91
Fig. 77 Vue de la coupe du fossé 71.4 (© équipe du diagnostic, Inrap)	92
Fig. 78 Localisation de l'emprise du diagnostic sur fond cadastral de 1814 (DAO : E. Le Goff, Inrap)	94
Fig. 79 Cliché aérien de 1959 (© Geoportail)	95
Fig. 80 la hache polie provenant de la surface de la parcelle CK 67 (© S. Blanchet, Inrap)	96
Fig. 81 Le mobilier céramique de la Protohistoire ancienne (Dessins et DAO : T. Nicolas, Inrap)	97
Fig. 82 Le mobilier céramique daté du Ve siècle avant notre ère (Dessins et DAO : H. Delnef, Inrap)	98
Fig. 83 Le mobilier céramique daté des IIIe au Ier siècle avant notre ère (Dessins et DAO : H. Delnef, Inrap)	98
Fig. 84 Le mobilier céramique antique ; F. 21.1 US 3 / 4 (Dessins et DAO : R. Delage, Inrap)	99
Fig. 85 Le mobilier céramique antique ; F. 22.13 (Dessins et DAO : R. Delage, Inrap)	100
Fig. 86 Le mobilier céramique antique ; 7 : F. 22.15 ; 8 : F. 23.6 (base US 1) ; 9 : F. 24.7 ; 10 : F.36.1 (Dessins et DAO : R. Delage, Inrap)	101
Fig. 87 le macro-outillage : 1, 2, 3 : meules à va-et-vient ; 3 : probable meta ; 5 : catillus ; 6 : meta (Dessins et DAO : V. Brisotto, Inrap)	105
Fig. 88 le macro-outillage : galet poli à cupule utilisé comme broyeur / concasseur (© et dessin : V. Brisotto)	106
Fig. 89 le macro-outillage : probable petit marteau en dolérite (© et dessin : V. Brisotto)	107
Fig. 90 le macro-outillage : dépôt (résidus métalliques ?) sur la surface active du catillus n°2 (Tr 18 st 17), (© V. Brisotto)	107

III. Inventaires techniques

Inventaire des structures

Structure	Type	"Niveau d'appartition (en m)"	"Dimensions en plan (en être)"	Prof.	Sond.	Mobilier	Equivalence	Relations	cadastre napoléonien	datation céramique	Datation	Minute	Photo	Commentaire
1.1	fossé	0,4	"0,7 de large"	0,28	PM			coupe par 1.2			indéterminé	2	X	
1.2	fossé	0,4	"0,8 de large"					coupe 1.1			contemporain			
1.3	ornière	0,4	"1 de large"								contemporain			
1.4	ornière	0,4	"0,3 de large"								contemporain			
1.5	fossé	0,3	"1,3 de large"	0,28	PM			"coupé par 1.6, 1.7 et 1.8"			contemporain	2	X	
1.6	ornière	0,3	"0,2 de large"					coupe 1.5			contemporain			
1.7	ornière	0,3	"0,3 de large"					coupe 1.5			contemporain			
1.8	ornière	0,3	"0,25 de large"					coupe 1.5			contemporain			
1.9	ornière	0,3	0,2 à 0,6 de large					coupe 1.10			indéterminé			
1.10	fossé	0,4	"0,9 de large"	0,36	PM	brique, pot de fleur		"coupé par 1.7, 1.9 et 1.15"			contemporain	2	X	
1.11	fossé	0,3	"1 min de large"								contemporain			
1.12	fossé	0,4	"0,7 de large"			brique, faille					contemporain			
1.13	fossé ou ornière	0,3	"0,4 de large"								contemporain			
1.14	fossé	0,3	"1 min de large"								contemporain			
1.15	fossé	0,3	"1,8 de large"	0,3	PM	céramique, fer, verre		coupe 1.10			contemporain	2	X	
2.1	indéterminé	0,3	"0,6 min x 0,6 min"								contemporain			
2.2	ornière	0,3	"0,5 de large"								contemporain			
2.3	fossé	0,3	"0,5 de large"								contemporain			
2.4	fossé	0,3	"3 de large"				5.2 - 4.1				contemporain			
2.5	fossé	0,3	"0,7 min de large"				3.2				contemporain			
2.6	fossé	0,3	"0,8 de large"				3.1				contemporain			
3.1	fossé	0,4	"1,2 de large"				2.6				contemporain			
3.2	fossé	0,4	"1,2 de large"				2.5				contemporain			
3.3	"fosse de plantation"	0,3	1 x 1								contemporain			
4.1	fossé	0,3	"1,1 de large"			"briques, faille, verre"	2.4 - 5.2				contemporain			
5.1	fossé	0,35	"0,8 de large"								contemporain			
5.2	fossé	0,35	"1,4 de large"				2.4 - 4.1				contemporain			

Structure	Type	"Niveau d'appartition (en m)"	"Dimensions en plan (en être)"	Prof.	Sond.	Mobilier	Equivalence	Relations	cadastre natéonien	datation céramique	Dateion	Minute	Photo	Commentaire
9.1	"tranchée de canalisation d'eau"	0,4	"0,7 de large"			faillence		"coupe 9.2, 9.3, 9.4 et 9.5"			contemporain			"canalisation d'eau Veolia"
9.2	fossé	0,4	"0,7 de large"					coupé par 9.1			contemporain			
9.3	fossé	0,3	"0,7 de large"				10.5	coupé par 9.1			contemporain			
9.4	fossé	0,3	"0,9 de large"			fer (étrier?)	10.4	coupé par 9.1			contemporain			
9.5	fossé	0,3	"0,5 de large"					coupé par 9.1	X		contemporain			
10.1	"fosse de plantation ?"	0,3	1 de large								contemporain			
10.2	"anomalie naturelle?"	0,3	0,7 x 0,5								indéterminé			
10.3	"fosse de plantation ?"	0,4	"1,6 x 0,9 min"								contemporain			
10.4	fossé	0,4	0,6 de large				9.4				contemporain			
10.5	fossé	0,4	"0,8 de large"				9.3				contemporain			
10.6	fossé	0,4	"0,7 de large"								contemporain			
10.7	fossé	0,4	"1 de large"								contemporain			
11.1	fossé	0,4	"0,6 de large"			fer					contemporain			
11.2	fossé	0,4	"0,6 de large"				13.4				contemporain			
11.3	fossé	0,4	"0,7 de large"				13.3 - 14.8 - 12.7				contemporain			
11.4	fossé	0,4	"0,8 de large"								contemporain			
11.5	annulé	0,3	"0,25 de large"	0,07	MAN						indéterminé	3	douteux	
12.1	fossé	0,45	"0,8 de large"								contemporain			
12.2	fosse ou fossé	0,45	"2,3 de large"								contemporain			
12.3	fossé	0,4	"0,75 de large"								contemporain			extrémité
12.4	fossé	0,4	"0,45 de large"								contemporain			extrémité
12.5	annulé										indéterminé			
12.6	fossé	0,4	"0,9 de large"	0,4	PM						contemporain	10	X	
12.7	fossé	0,4	"0,98 de large"	0,18	PM		14.8 - 13.3 - 11.3				contemporain	10	X	
12.8	fossé	0,4	"0,86 de large"	0,28	PM						contemporain	10	X	
12.9	fossé	0,4	"0,84 de large"	0,13	PM						contemporain	10	X	
13.1	fosse ?	0,3	"2 min x 1,5"					coupe 13.2			contemporain			

Structure	Type	"Niveau d'appartition (en m)"	"Dimensions en plan (en être)"	Prof.	Sond.	Mobilier	Equivalence	Relations	cadastre	datation céramique	Datation	Minute	Photo	Commentaire
13.2	fossé	0,3	"0,9 de large"					coupé par 13.1			contemporain			
13.3	fossé	0,3	"1,2 de large"								contemporain			
13.4	fossé	0,3	"0,4 de large"								contemporain			
13.5	"fosse de plantation ?"	0,3	"0,7 de large"								contemporain			
13.6	"anomalie naturelle?"	0,3	"0,3 de large"								indéterminé			
13.7	fossé	0,4	"0,65 de large"								contemporain			
14.1	fossé ou drain	0,35	"0,4 de large"								contemporain			
14.2	fossé	0,35	"0,7 de large"								contemporain			
14.3	fossé ?	0,3	"0,5 min de large"								contemporain			incomplet
14.4	fossé	0,3	"1 de large"			céramique, verre					contemporain			
14.5	fossé	0,4	"0,6 de large"			verre					contemporain			
14.6	fossé	0,4	"1 de large"				15.1				contemporain			
14.7	fossé	0,4	"0,3 de large"								contemporain			
14.8	fossé	0,4	"0,9 de large"				12.7 - 13.3 - 11.2				contemporain			
14.9	fossé	0,4	"0,4 de large"								contemporain			
15.1	fossé	0,35	"0,45 de large"				14.6				contemporain			
15.2	fossé ?	0,35	"3 de large"								contemporain			
15.3	"fosse de plantation ?"	0,3	0,9 x 0,7								contemporain			
16.1	fossé	0,3	"2 de large"			verre	21.10 - 20.1 - 26.15 - 25.23		X		contemporain			
16.2	fossé	0,3	"0,6 de large"				26.13 - 25.21 - 21.6		X		contemporain			
16.3	fossé	0,5	"1 de large"				"27.6 - 26.3 - 25.3 - 18.7 - 38.3 et 75.3 - 90.11 - 89.5"				antique			angle
16.4	fossé	0,5	"0,4 de large"				27.1				contemporain			
17.1	fossé	0,4	"0,7 de large"				27.5 - 26.2		X		contemporain			
17.2	"anomalie naturelle?"	0,3									indéterminé			douteux

Structure	Type	"Niveau d'appartenance (en m)"	"Dimensions en plan (en être)"	Prof.	Sond.	Mobilier	Equivalence	Relations	cadastre	datation céramique	Datation	Minute	Photo	Commentaire
17.3	"anomalie naturelle?"	0,3	0,32 x 0,25			céramique				"Bronze final ou début du 1er âge du Fer"	"protohistoire ancienne"	10	X	douteux
17.4	"anomalie naturelle?"	0,3	0,26 x 0,14	0,1	MAN	céramique				"Protohistoire ancienne"	"protohistoire ancienne"	10	X	douteux
17.5	"anomalie naturelle?"	0,3	0,3 x 0,27	0,05	MAN						indéterminé	10	X	douteux
17.6	"anomalie naturelle?"	0,3	0,3 x 0,24	0,09	MAN						indéterminé	10	X	douteux
18.1	fossé	0,4	"0,7 de large"				"31.2 - 41.4 - 40.2 - 39.6 - 77.3 - 100.2 - 92.1"				antique			
18.2	fosse	0,4	0,56 x 0,48	0,24							indéterminé	10	X	
18.3	trou de poteau ?	0,4	"0,3 de diamètre"								indéterminé			
18.4	fossé	0,3	"0,56 de large"	0,25	PM		25.2 - 40.6				antique	13		
18.5	fosse ?	0,3	"2,3 x 0,55 min"								indéterminé			incomplet
18.6	fossé	0,3	"0,56 de large"	0,26	PM		25.1 - 41.1				antique	13		
18.7	fossé	0,35	"1,4 de large"				"16.3 - 27.6 - 26.3 - 25.3 - 38.3"				antique			
18.8	fossé	0,3	"0,7 de large"				18.8/18.9 - 43.1 - 24.14				contemporain			
18.9	fossé ou drain	0,3	"0,45 de large"			céramique, fer, verre	18.8/18.9 - 43.1 - 24.14				contemporain			
18.10	fosse	0,3	"1,2 x 0,9"								indéterminé			
18.11	fossé	0,3	"0,9 de large"				22.19 - 22.11 - 36.6 - 29.1				antique			
18.12	fossé	0,3	"0,7 de large"				36.7 - 22.11 - 22.19				antique			
18.13	fossé	0,35	"0,65 de large"								gaulois			extrémité
18.14	fossé	0,3	"0,8 de large"	0,15	MAN						gaulois	15		extrémité
18.15	fossé	0,3	"0,6 de large"	0,16	MAN	céramique				"1ère moitié du Ve s.av.n.e."	gaulois	12	X	extrémité
18.16	fosse	0,3	1 x 1			céramique					gaulois			
18.17	fossé	0,3	0,8			"céramique et lithique"					gaulois	15		
18.18	"excroissance du fossé 18.14"	0,3	1,44 x 1	0,23	MAN						gaulois	X		
18.19	fosse ?	0,3									gaulois			excroissance de 18.7

Structure	Type	"Niveau d'appartition (en m)"	"Dimensions en plan (en être)"	Prof.	Sond.	Mobilier	Equivalence	Relations	cadastre natoléonien	datation céramique	Datation	Minute	Photo	Commentaire
18.20	fosse ?	0,3								gaulois	gaulois			excroissance de 18,7
18.21	fosse	0,3	1,6 x 0,6							gaulois	gaulois			douteux
19.1	fossé	0,3	"1,2 de large"			céramique	19.4			gaulois	gaulois	X	X	blocs de granite au niveau de l'ex-trémité sud
19.2	fossé	0,3	"0,7 de large"							indéterminé	indéterminé			"tracé sinueux et irrégulier"
19.3	fossé	0,3	1,38 de large	0,68	PM	céramique			Ve s. av.n.e.	gaulois	gaulois	14	X	
19.4	fosse	0,35	3 x 1			céramique	19.1			gaulois	gaulois			
19.5	fosse	0,3	1,5 x 1			céramique	19.1			gaulois	gaulois			
20.1	fosse	0,3	"1,5 de diam"							contemporain	contemporain			
21.1	fossé d'enclos	0,45	"2,2 de large"	1,4	PM	céramique			"2ème moitié du 1er s.ap.n.e."	antique	antique	9	X	
21.2	trou de poteau	0,3	1,2 x 0,84	0,46	MAN					antique	antique		X	
21.3	trou de poteau	0,3	"0,9 de diam"							antique	antique			
21.4	fossé d'enclos	0,3	"2 de large"				23.8	23.8		antique	antique			
21.5	trou de poteau?	0,3	0,45 x 0,25 min							indéterminé	indéterminé	14		incomplet
21.6	fossé	0,3	"0,76 de large"	0,4	PM		25.21 - 26.13 - 16.2			indéterminé	indéterminé			sans doute récent
21.7	trou de poteau	0,3	"0,35 de diam"			céramique				gaulois	gaulois			
21.8	fossé	0,35	"0,8 de large"			céramique				gaulois	gaulois			
21.9	fossé	0,35	"1,4 de large"				"21.10 - 28.1 - 25.23 - 26.15 - 16.1"		X	contemporain	contemporain			angle
21.10	fossé	0,35	"1,2 de large"				"21.9 - 28.1 - 25.23 - 26.15 - 16.1"		X	contemporain	contemporain			angle
21.11	fossé	0,4	"0,9 de large"							contemporain	contemporain			
21.12	trou de poteau	0,35	1,15 x 1							antique	antique			
21.13	trou de poteau	0,35	"1,1 de diam"							antique	antique			
22.1	fossé	0,4	"0,4 de large"			céramique	22.13 - 22.16			antique	antique			
22.2	fossé	0,4	"0,3 de large"							antique	antique			

Structure	Type	"Niveau d'appartition (en m)"	"Dimensions en plan (en être)"	Prof.	Sond.	Mobilier	Equivalence	Relations	cadastre natéonien	datation céramique	Datation	Minute	Photo	Commentaire
22.3	fossé	0,4	"1,26 de large"	0,72	PM	céramique				"dernières décennies du 1 ^{er} s.av. - début du 1 ^{er} s.ap. "	antique	16	X	
22.4	fossé d'enclos	0,3	"2,1 de large"			céramique					antique	X	X	"extrémité - quelques blocs de granite"
22.5	"fosse ou élargissement de fossé"	0,3	"1,3 min x 0,5 min"								antique			incomplet
22.6	"fosse?"	0,3	"0,7 x 0,4 min"								indéterminé			incomplet
22.7	fossé	0,3	"0,7 de large"			céramique				"protohistoire ancienne"	antique	X	X	
22.8	fossé	0,3	"0,8 de large"			céramique		jonction avec 22.18		"gallo-romain précoce"	antique	X	X	
22.9	fossé	0,3	"0,6 de large"						X		contemporain			
22.10	fossé	0,3	"0,96 de large"	0,4	PM		18.12 - 36.7 - 22.18				antique	19	X	
22.11	fossé	0,3	"0,95 de large"	0,36	PM	céramique	18.11 - 36.6 - 29.1 - 22.19			"dernières décennies du 1 ^{er} s.av. - début du 1 ^{er} s.ap. "	antique	19	X	
22.12	fossé	0,3	"0,35 de large"								antique			
22.13	fossé	0,3	0,55 de large	0,21	MAN	céramique	22.16 - 22.1			"dernier quart du 1 ^{er} s.ap. - première moitié du 1 ^{er} s.ap. "	antique	13	X	
22.14	fossé	0,3	0,3 de large			céramique	22.15			"deuxième moitié du 1 ^{er} s.ap. - début 1 ^{er} s.ap. "	antique	X	X	
22.15	fossé	0,3	0,35 de large			céramique	22.14			1 ^{er} s. ap.	antique	X	X	
22.16	fossé	0,3	"0,45 de large"				22.13 - 22.1				antique	X	X	
22.17	fossé	0,3	"0,8 de large"								indéterminé			probablement antique
22.18	fossé	0,3	0,6 de large				22.10 - 18.12 - 36.7	jonction avec 22.8			antique	X	X	
22.19	fossé	0,3	"0,7 de large"				18.11 - 22.11 - 36.6 - 29.1				antique			extrémité
22.20	trou de poteau	0,3	0,5 x 0,25								antique			

Structure	Type	"Niveau d'appartition (en m)"	"Dimensions en plan (en être)"	Prof.	Sond.	Mobilier	Equivalence	Relations	cadastre	datation céramique	Datation	Minute	Photo	Commentaire
22.21	trou de poteau	0,3	"0,25 de diam"	0,11	MAN					antique	antique	X	X	
22.22	trou de poteau	0,3	"0,48 de diam"	0,1	MAN					antique	antique	X	X	
22.23	trou de poteau	0,3	0,5 x 0,35							antique	antique			calage
22.24	trou de poteau	0,3	0,3 de diam	0,17	MAN					antique	antique	X	X	
23.1	fosse	0,3	"2,2 min x 2,1"			"céramique, cuir, fer, verre"				contemporain	contemporain			
23.2	fosse	0,3	"1,7 min x 1,4"			"céramique, cuir, fer, verre"				contemporain	contemporain			
23.3	trou de poteau	0,3	0,4 x 0,36	0,2	MAN					indéterminé	indéterminé	13	X	
23.4	fossé d'enclos	0,4	"1,6 de large"				23.5			antique	antique			
23.5	fossé d'enclos	0,3	"2 de large"	0,82	PM	céramique	23.4 - 23.10			antique	antique	9	X	
23.6	fossé	0,3	"1,3 de large"	0,5	PM	"céramique et lithique"	24.24			"dernières décennies du 1er s. av. - début du 1er s. ap."	antique	16		
23.7	segment de fossé	0,35	5 x 0,55	0,1	MAN	céramique				1er s. ap.	antique	16	X	courbe
23.8	fossé d'enclos	0,3	"2,1 de large"	1,26	PM	céramique	21.4			1er s. ap.	antique	9	X	
23.9	fosse	0,4	1 min x 1							antique	antique			
23.10	fossé d'enclos	0,3	"1,6 de large"		PM		23.5			antique	antique			
24.1	fossé	0,5	1,2 de large	0,62	PM		25.19 - 26.11 - 27.7	jonction avec 24.24		antique	antique	14	X	
24.2	fossé d'enclos	0,4	2,16 de large	1,1	PM	"céramique et scorlé"				gaulois	gaulois	14	X	
24.3	fossé	0,3	"0,4 de large"				25.18 - 26.10 - 26.9			gaulois	gaulois		X	
24.4	trou de poteau	0,35	0,64 x 0,6	0,18	MAN					gaulois	gaulois	17	X	négatif du poteau visible
24.5	trou de poteau	0,35	0,55 de diam							gaulois	gaulois			
24.6	fossé	0,35	"0,2 de large"							gaulois	gaulois			
24.7	fossé d'enclos	0,35	"1,6 de large"			céramique	25.6			"1er s. av. (tène finale ou gallo-romain précoce)"	gaulois	X		
24.8	fossé	0,3	0,35 de large							indéterminé	indéterminé			

Structure	Type	"Niveau d'appartition (en m)"	"Dimensions en plan (en être)"	Prof.	Sond.	Mobilier	Equivalence	Relations	cadastre natéonien	datation céramique	Datation	Minute	Photo	Commentaire
24.9	fossé	0,3	0,6 de large								indéterminé			
24.10	fossé	0,3	0,6 de large								indéterminé	X		
24.11	"fosse ou extrémité de fossé"	0,3	"0,5 min x 0,9"								indéterminé			incomplet
24.12	fossé	0,35	"0,5 de large"								antique			
24.13	trou de poteau	0,35	0,55 de diam								indéterminé			
24.14	fossé	0,3	"0,8 de large"				18.9 - 18.8/18.9 - 43.1		X		contemporain			
24.15	fosse?	0,35	"3,2 de diam"								gaulois	20	X	
24.16	four	0,35	0,75 de diam								gaulois	20	X	"parois rubéfiées sur 1 à 2 cm d'épaisseur"
24.17	four	0,35	indéterminé								gaulois	20	X	sole rubéfiée
24.18	four	0,35	1,12 x 0,8								gaulois	20	X	"sole arasée reposant sur un lit de pierres"
24.19	trou de poteau	0,35	0,5 x 0,15								gaulois	20	X	
24.20	trou de poteau	0,35	0,5 x 0,3								gaulois	20	X	
24.21	trou de poteau	0,35	0,4 de diam								gaulois		X	
24.22	trou de poteau	0,35	"0,48 de diam"	0,24	MAN						indéterminé	14		négatif du poteau visible
24.23	trou de poteau	0,4	0,35 x 0,3								gaulois			
24.24	fossé	0,4	"0,8 de large"				23.6	jonction avec 24.1			antique		X	
25.1	fossé	0,3	0,4 de large				18.6 - 41.1				antique			
25.2	fossé	0,3	"0,65 de large"				18.4 - 40.6	jonction avec 25.3			antique		X	
25.3	fossé	0,3	"1,84 de large"	0,5	PM	céramique		Jonction avec 25.2			antique	19	X	"dernières décennies du Ier s.av. - début du Ier s.ap. "
25.4	fossé	0,3	0,82 de large	0,26	PM		"16.3 - 27.6 - 26.3 - 18.7 - 38.3"				antique	19	X	
25.5	"fosse ou trou de poteau"	0,3	0,96 x 0,8	0,2		céramique					gaulois	13	X	
25.6	fossé d'enclos	0,3	"1,6 de large"			céramique	24.7				gaulois			

Structure	Type	"Niveau d'appartition (en m)"	"Dimensions en plan (en être)"	Prof.	Sond.	Mobilier	Equivalence	Relations	cadastre	datation céramique	Datation	Minute	Photo	Commentaire
25.7	"fosse ou trou de poteau"	0,3	1 de diam								contemporain			
25.8	fosse	0,3	0,4 de large				relation avec 25.9 et 25.10				gaulois			
25.9	fosse?	0,3	0,4 de large			céramique	coupé par 25.10				gaulois			
25.10	fosse	0,3	"0,45 de large"				coupe 25.9				gaulois			
25.11	trou de poteau	0,3	"0,68 dediam"	0,23	MAN	céramique					gaulois	X		
25.12	trou de poteau	0,3	"0,35 dediam"								gaulois			
25.13	trou de poteau	0,3	"0,55 dediam"								gaulois			
25.14	trou de poteau	0,3	"0,6 dediam"								gaulois			
25.15	trou de poteau	0,3	"0,56 dediam"	0,24	MAN						gaulois	13	X	
25.16	trou de poteau	0,3	"0,35 dediam"								gaulois			
25.17	fosse	0,3	0,75 de large	0,15	MAN						indéterminé	13	X	probablement gaulois
25.18	fosse	0,3	0,4 de large				24.3 - 26.10 - 26.9				gaulois			
25.19	fosse	0,3	"0,7 de large"				24.1 - 26.11 - 27.7				antique			légèrement courbe
25.20	fosse d'enclos	0,3	2,2 de large	1,2	PM	"céramique et lithique"	26.12			"dernières décennies du 1er s.av. - début du 1er s.ap."	gaulois	18	X	
25.21	fosse	0,3	"0,5 de large"				26.13 - 16.2				indéterminé			
25.22	fosse	0,3	"0,65 de large"						X		contemporain			
25.23	fosse	0,3	"0,8 de large"				21.10 - 28.1 - 26.15 - 16.1		X		contemporain			
25.24	fosse	0,3	1 de large						X		contemporain			
25.25	fosse	0,3	1,1 de large					coupé par 25.23	X		contemporain			
26.1	fosse	0,3	"3,2 x 1,3 min"								indéterminé			incomplet
26.2	fosse	0,4	"0,5 de large"				27.5 - 17.1				contemporain			
26.3	fosse	0,3	"0,6 de large"				"27.6 - 16.3 - 25.3 - 32.3 - 38.1"				antique			
26.4	trou de poteau	0,3	"0,4 de diam"								gaulois			

Structure	Type	"Niveau d'appartenance" (en m)	"Dimensions en plan (en être)"	Prof.	Sond.	Mobilier	Equivalence	Relations	cadastre	datation céramique	Datation	Minute	Photo	Commentaire
26.5	fossé	0,3	"0,45 de large"								gaulois			extrémité
26.6	fossé?	0,35	"0,75 de large"								gaulois			extrémité
26.7	"fosse ou trou de poteau double"	0,3	1,25 x 0,65								gaulois			
26.8	"fosse ou trou de poteau"	0,3	0,9 x 0,7								gaulois			
26.9	fossé	0,3	"0,6 de large"				26.10 - 25.18 - 24.3				gaulois			extrémité
26.10	fossé	0,3	"0,55 de large"				26.9 - 25.18 - 24.3				gaulois	X		
26.11	fossé	0,35	"0,7 de large"				27.7 - 25.19 - 24.1				antique			
26.12	fossé d'enclos	0,3	"2,3 de large"			céramique	25.20			"dernières décennies du 1 ^{er} s.av. - début du 1 ^{er} s.ap."	gaulois			
26.13	fossé	0,4	"0,25 de large"				16.2 - 25.21		X		indéterminé			
26.14	fossé	0,4	1 de large						X		contemporain			
26.15	fossé	0,4	"0,9 de large"				"16.1 - 25.23 - 21.10 - 21.9 - 38.1"		X		contemporain			
26.16	fossé d'enclos	0,3	"3,1 de large"	1,72	PM	céramique		coupé par 26.17			gaulois	18	X	
26.17	fossé	0,35	"0,5 de large"				27.7 - 26.11 - 25.19 - 24.1	coupe 26.16 et 26.19			antique			
26.18	fossé	0,35	"0,5 de large"				27.7 - 26.11 - 25.19 - 24.1				gaulois			
26.19	"fosse ou extrémité de fossé"	0,35	"2,7 min x 1,6"			céramique		coupé par 26.17		la Tiène	gaulois			
27.1	fossé	0,35	"0,45 de large"			ardoise	16.4				contemporain			
27.2	fossé	0,35	"0,7 de large"			verre					contemporain			très arasé
27.3	trou de poteau	0,4	"0,4 de diam"	0,26	MAN						indéterminé	17	X	gaulois probable
27.4	trou de poteau	0,4	0,36 x 0,32	0,25	MAN						indéterminé	17		gaulois probable
27.5	fossé	0,3	"0,76 de large"	0,36	PM		17.1 - 26.2				contemporain		X	
27.6	fossé	0,3	"1 de large"	0,48	PM		16.3 - 26.3 - 25.3 - 38.3 - 38.1				antique		X	

Structure	Type	"Niveau d'appartition (en m)"	"Dimensions en plan (en être)"	Prof.	Sond.	Mobilier	Equivalence	Relations	cadastre napoléonien	datation céramique	Datation	Minute	Photo	Commentaire
27.7	fossé	0,4	"0,5 de large"				26.17 - 26.11 - 25.19 - 24.1				antique		X	extrémité
27.8	trou de poteau	0,4	0,32 x 0,25	0,06	MAN						indéterminé	17	X	gaulois probable
27.9	trou de poteau	0,4	0,4 x 0,36	0,1	MAN						indéterminé	17	X	gaulois probable
28.1	fossé	0,4	"0,8 de large"				21.9 - 21.10		X		contemporain			
28.2	fossé	0,4	"0,6 de large"						X		contemporain			
29.1	fossé	0,6	1 de large				36.6 - 18.11 - 22.11 - 22.19				antique			
30.1	fossé	0,5	"0,6 de large"				36.3		X		contemporain			
30.2	fossé	0,5	"1,1 de large"				36.1				antique			
30.3	annulé	0,5									indéterminé			
31.1	fossé	0,4	"0,65 de large"				43.3		X		contemporain			
31.2	fossé	0,3	"0,7 de large"				"41.4 - 40.2 - 39.6 - 18.1 - 77.3 - 100.2 - 92.1"				antique			
31.3	fossé	0,3	"0,4 de large"				40.1 - 41.5				antique			
32.1	fossé	0,4	"0,6 de large"				39.1				antique			
32.2	fossé	0,4	"0,9 de large"				39.5 - 40.3 - 41.3 - 42.1 - 43.2		X		contemporain			
32.3	fossé	0,4	"0,6 de large"				39.4 - 40.4 - 41.2 - 42.2		X		contemporain			
33.1	fossé	0,4	"0,6 de large"				34.1 - 36.6				antique			
33.2	trou de poteau	0,4	"0,5 de diam"								indéterminé			douteux
34.1	fossé	0,4	"0,6 de large"				33.1 - 35.6				indéterminé			
34.2	trou de poteau	0,4	"0,4 de diam"								indéterminé			douteux
34.3	fossé	0,3	"0,6 de large"						X		contemporain			
35.1	fossé	0,35	"1,5 min x 1,3"						X		contemporain			extrémité
35.2	fossé	0,35	"1,1 de large"						X		contemporain			
35.3	trou de poteau	0,4	"0,5 de diam"								indéterminé			
35.4	trou de poteau	0,4	"0,3 de diam"	0,13	MAN						indéterminé	13	X	douteux
35.5	trou de poteau	0,4	0,58 x 0,5	0,1	MAN						indéterminé		X	
35.6	fossé	0,5	"0,5 de large"				34.1 - 33.1			indéterminée	antique			*

Structure	Type	"Niveau d'appartition (en m)"	"Dimensions en plan (en être)"	Prof.	Sond.	Mobilier	Equivalence	Relations	cadastre	datation céramique	Datation	Minute	Photo	Commentaire
35.7	trou de poteau	0,5	0,4 x 0,3	0,1	MAN						indéterminé	19		
35.8	trou de poteau	0,4	"0,3 de diamètre"								indéterminé			
36.1	fossé	0,45	1,4 de large	0,77	PM	céramique	30.2	jonction avec 36.6		"fin du Ier s.av. au début du Ier s.ap."	antique	19	X	
36.2	fosse	0,5	1,6 x 1,3								contemporain			
36.3	fossé	0,5	"0,8 de large"				30.1		X		contemporain			
36.4	trou de poteau	0,45	"0,25 de diam"	0,14	MAN						indéterminé	19	X	
36.5	fossé	0,35	"0,7 de large"				37.1 - 38.2		X		contemporain			
36.6	fossé	0,5	"1,5 de large"				29.1 - 18.11 - 22.11 - 22.19	jonction avec 36.1			antique		X	
36.7	fossé	0,5	"0,7 de large"								antique		X	extrémité
37.1	fossé	0,35	"0,7 de large"				36.5 - 38.2		X		contemporain			
38.1	fossé	0,35	"0,65 de large"				38.3 - 18.7 - 25.3 - 26.3 - 27.6 - 16.3				antique			
38.2	fossé	0,35	"0,8 de large"				37.1 - 36.5		X		contemporain			
38.3	fossé	0,35	"0,5 de large"				38.1 - 25.3 - 26.3 - 27.6 - 16.3				antique			
38.4	fossé	0,35	"0,55 de large"								contemporain			
38.5	fossé	0,35	"0,6 de large"						X		contemporain			
38.6	fossé	0,35	"0,9 de large"				43.1		X		contemporain			
39.1	fossé	0,35	"0,5 de large"				32.1	jonction avec 39.6			antique		X	
39.2	trou de poteau	0,35	0,42 x 0,35	0,2	MAN	"un fragment de plaquette de cuivre"					indéterminé	19	X	
39.3	"fosse ou extrémité de fossé"	0,35	"0,3 de large"								indéterminé			
39.4	fossé	0,35	"2,2 de large"				32.3 - 40.4 - 41.2 - 42.2		X		contemporain			
39.5	fossé	0,4	"0,9 de large"				32.2 - 40.3 - 41.3 - 42.1 - 43.2		X		contemporain			
39.6	fossé	0,4	"0,6 de large"				"31.2 - 41.4 - 40.2 - 18.1 - 77.3 - 100.2 - 92.1"	jonction avec 39.1			antique		X	
40.1	fossé	0,45	"0,7 de large"				31.3 - 41.5				antique			

Structure	Type	"Niveau d'appartition (en m)"	"Dimensions en plan (en être)"	Prof.	Sond.	Mobilier	Equivalence	Relations	cadastre	matérialisation	datation	céramique	Date	Minute	Photo	Commentaire
40.2	fossé	0,4	"0,65 de large"				"31.2 - 41.4 - 39.6 - 18.1 - 77.3 - 100.2 - 92.1"				antique		antique			
40.3	fossé	0,4	"1,2 de large"				"39.5 - 32.2 - 41.3 - 42.1 - 43.2"	X	X		contemporain		contemporain			
40.4	fossé	0,4	"1,3 de large"				39.4 - 32.3 - 41.2 - 42.2	X	X		contemporain		contemporain			
40.5	fossé?	0,4	"2,1 x 0,9min"								indéterminé		indéterminé			excroissance de 40.6?
40.6	fossé	0,4	"0,7 de large"				18.4 - 25.2				antique		antique			
41.1	fossé	0,4	"0,55 de large"				18.6 - 25.1				antique		antique			
41.2	fossé	0,4	"1 de large"				40.4 - 39.4 - 32.3 - 42.2	X	X		contemporain		contemporain			
41.3	fossé	0,4	"1 de large"			verre	"40.3 - 39.5 - 32.2 - 42.1 - 43.2"	X	X		contemporain		contemporain			
41.4	fossé	0,4	"0,85 de large"	0,35	PM	céramique	"31.2 - 40.2 - 39.6 - 18.1 - 77.3 - 100.2 - 92.1"	jonction avec 41.5			antique		antique	X		
41.5	fossé	0,3	"0,65 de large"	0,28	PM		40.1 - 31.3	jonction avec 41.4			antique		antique	13	X	
42.1	fossé	0,4	"1 de large"			verre	"43.2 - 41.3 - 40.3 - 39.5 - 32.2"	X	X		contemporain		contemporain			
42.2	fossé	0,4	"0,85 de large"				41.2 - 40.4 - 39.4 - 32.3	X	X		contemporain		contemporain			
43.1	fossé	0,35	"1 de large"			verre	38.6	X	X		contemporain		contemporain			
43.2	fossé	0,35	"0,9 de large"			verre	"42.1 - 41.3 - 40.3 - 39.5 - 32.2"	X	X		contemporain		contemporain			
43.3	fossé	0,35	"0,8 de large"				31.1	X	X		contemporain		contemporain			
44.1	fossé	0,3	"0,9 de large"			ardoise, porcelaine	51.2				contemporain		contemporain			
44.2	fossé	0,3	"0,8 de large"				47.1				contemporain		contemporain			
44.3	chemin	0,3	"2,8 de large"			fer, porcelaine, verre	46.2				contemporain		contemporain			
45.1	fossé	0,3	"1,3 de large"					X	X		contemporain		contemporain			
45.2	fossé	0,3	"0,55 de large"					X	X		contemporain		contemporain			
45.3	fossé?	0,3	"0,4 de large"								indéterminé		indéterminé			"extrémité? Douveux"
45.4	fossé?	0,3	"0,3 de large"					X	X		contemporain		contemporain			
45.5	fossé	0,3	"0,4 de large"				46.3	X	X		contemporain		contemporain			
45.6	fossé	0,3	"1 de large"				47.9 - 46.4	X	X		contemporain		contemporain			

Structure	Type	"Niveau d'appartition (en m)"	"Dimensions en plan (en être)"	Prof.	Sond.	Mobilier	Equivalence	Relations	cadastre napoléonien	datation céramique	Dateion	Minute	Photo	Commentaire
46.1	fossé	0,3	"0,25 de large"								contemporain			"fossé bordier? Très arasé"
46.2	chemin	0,3	"3 de large min"			"ardoise, fer, porcelaine, verre"	44.3				contemporain			
46.3	fossé	0,3	"0,65 de large"				45.5		X		contemporain			
46.4	fossé	0,3	"0,8 de large"				47.9 - 45.6		X		contemporain			
47.1	fossé	0,3	"1 de large"				44.2				contemporain			
47.2	trou de poteau ?	0,3	"0,5 de large"								indéterminé			très douteux
47.3	terrier	0,3	" "								indéterminé			
47.4	fossé	0,3	"1 de large"								contemporain			
47.5	fossé	0,3	"1,5 de large"				48.3 - 49.2 - 50.2 - 51.3		X		contemporain			
47.6	fossé	0,3	"0,4 de large"						X		contemporain			
47.7	fossé	0,3	"0,9 de large"				48.5 - 49.3 - 50.3		X		contemporain			
47.8	fossé	0,3	"0,4 de large"						X		contemporain			très arasé
47.9	fossé	0,3	"0,9 de large"				46.4 - 45.6		X		contemporain			
47.10	trou de poteau?	0,3	0,4 x 0,35								indéterminé			
48.1	"fosse de plantation"	0,3	1,3 x 1,1			verre					contemporain			naturel
48.2	annulé	0,3	"0,9 x 0,5 min"								indéterminé			
48.3	fossé	0,3	"1,2 de large"				47.5 - 49.2 - 50.2 - 51.3		X		contemporain			
48.4	fossé	0,3	"1 de large min"						X		contemporain			
48.5	fossé	0,3	"1,2 de large"			céramique	47.7 - 49.3 - 50.3		X	"médiévale ou moderne"	contemporain			
48.6	"fosse de plantation"	0,3	"1,4 de large"			ardoise, verre					contemporain			
48.7	"fosse de plantation"	0,3	"1,4 de large"								contemporain			
49.1	annulé	0,3									indéterminé			
49.2	fossé	0,3	"1,1 de large"				47.5 - 48.3 - 50.2 - 51.3		X		contemporain			
49.3	fossé	0,3	"1 de large"				47.7 - 48.5 - 50.3		X		contemporain			

Structure	Type	"Niveau d'appartition (en m)"	"Dimensions en plan (en être)"	Prof.	Sond.	Mobilier	Equivalence	Relations	cadastre	datation céramique	Datation	Minute	Photo	Commentaire
49.4	"fosse de plantation"	0,3	"1,3 de large"								contemporain			
50.1	fossé	0,3	"0,6 de large"	0,1	PM		51.1 - 52.1				indéterminé	25		parcelle ancienne probable
50.2	fossé	0,3	"1,3 de large"						X		contemporain			
50.3	fossé	0,3	1 de large				47.7 - 48.5 - 49.3		X		contemporain			
51.1	fossé	0,3	"1 de large"				50.1 - 52.1				indéterminé			parcelle ancienne probable
51.2	fossé	0,3	"0,73 de large"	0,12	PM			coupe par 51.3	X		contemporain	25		
51.3	fossé	0,3	"1 de large"			"fer, porcelaine, verre, ardoise"	47.5 - 48.3 - 49.2 - 50.2	coupe 51.2	X		contemporain			
52.1	fossé	0,3	"1,36 de large"	0,22	PM		50.1 - 51.1				indéterminé	25	X	parcelle ancienne probable
53.1	"fosse de plantation"	0,3	"0,9 min x 1,1"			monnaie, verre					contemporain			
53.2	"fosse de plantation"	0,3	1,4 x 0,9			fer					contemporain			
53.3	"fosse de plantation"	0,3	1,1 x 0,9			porcelaine, verre					contemporain			
53.4	fossé	0,3	"1 de large"				50.1 - 51.1 - 52.1 ?				indéterminé			"arasé parcelle ancienne probable"
53.5	fossé	0,3	"1,3 de large"				54.1		X		contemporain			
54.1	fossé	0,3	"1,3 de large"			verre	53.5		X		contemporain			
55.1	fossé ou haie	0,3	"0,3 de large min"						X		contemporain			
55.2	fossé	0,3	"0,6 de large"				56.19		X		contemporain			
55.3	fossé	0,3	"1 de large"			fer	56.18		X		contemporain			
55.4	"fosse de plantation" w	0,3	"0,9 x 0,5 min"								contemporain			
55.5	"fosse de plantation"	0,3	"1 x 0,8 min"								contemporain			
55.6	"fosse de plantation"	0,3	1 x 1								contemporain			
55.7	"fosse de plantation"	0,3	1,5 x 1,3								contemporain			
55.8	"fosse de plantation"	0,3	1,2 x 1								contemporain			
55.9	"fosse de plantation"	0,3	1,3 x 1,2								contemporain			
55.10	"fosse de plantation"	0,3	1,1 x 1,1								contemporain			
56.1	"fosse de plantation"	0,3									contemporain			
56.2	"fosse de plantation"	0,3									contemporain			

Structure	Type	"Niveau d'appartition (en m)"	"Dimensions en plan (en être)"	Prof.	Sond.	Mobilier	Equivalence	Relations	cadastre	datation céramique	Datation	Minute	Photo	Commentaire
56.3	"fosse de plantation"	0,3									contemporain			
56.4	"fosse de plantation"	0,3									contemporain			
56.5	"fosse de plantation"	0,3									contemporain			
56.6	"fosse de plantation"	0,3									contemporain			
56.7	"fosse de plantation"	0,3									contemporain			
56.8	"fosse de plantation"	0,3									contemporain			
56.9	"fosse de plantation"	0,3									contemporain			
56.10	"fosse de plantation"	0,3									contemporain			
56.11	"fosse de plantation"	0,3									contemporain			
56.12	"fosse de plantation"	0,3									contemporain			
56.13	"fosse de plantation"	0,3									contemporain			
56.14	"fosse de plantation"	0,3									contemporain			
56.15	"fosse de plantation"	0,3									contemporain			
56.16	fossé	0,3	"0,8 de large"	0,22	PM						indéterminé	29	X	"segment de fossé"
56.17	"fosse de plantation"	0,3									contemporain			
56.18	fossé	0,3	"1,1 de large"				55.3		X		contemporain			
56.19	fossé	0,3	"0,9 de large"				55.2		X		contemporain			
56.20	"fosse de plantation"	0,3	1 x 0,9								contemporain			
57.1	"fosse de plantation"	0,3									contemporain			
57.2	"fosse de plantation"	0,3									contemporain			
57.3	fossé	0,26	"0,8 de large"	0,3	PM	"monnaie de Napoléon III"				"médiévale ou moderne"	contemporain	29	X	
57.4	"fosse de plantation"	0,3									contemporain			
57.5	fossé	0,26	0,72	0,2	PM						contemporain	29	X	
58.1	"fosse de plantation"	0,3									contemporain			

Structure	Type	"Niveau d'appartition (en m)"	"Dimensions en plan (en être)"	Prof.	Sond.	Mobilier	Equivalence	Relations	cadastre naldéonien	datation céramique	Datation	Minute	Photo	Commentaire
58.2	"fosse de plantation"	0,3									contemporain			
58.3	"fosse de plantation"	0,3									contemporain			
59.1	fossé	0,35	"1,3 de large"				61.1		X		contemporain			
59.2	fossé	0,35	"0,4 de large"						X		contemporain			
60.1	fossé	0,3	"1 de large"								contemporain			
61.1	fossé	0,3	"1 de large"				59.1	fonctionne avec 61.2	X		contemporain			
61.2	fossé	0,3	"1,4 de large"					fonctionne avec 61.1			contemporain			
62.1	"fosse de plantation"	0,3	2 x 1,5			brique					contemporain			
64.1	"fosse de plantation"	0,3	"1,3 x 0,8 min"								contemporain			
64.2	"fosse de plantation"	0,3	"1,3 x 0,4 min"								contemporain			
64.3	"fosse de plantation"	0,3	"1,2 x 0,8 min"								contemporain			
64.4	"fosse de plantation"	0,3	1,3 x 0,9								contemporain			
65.1	"fosse de plantation"	0,3	"1,3 x 1 min"								contemporain			
65.2	"fosse de plantation"	0,3	0,8 x 0,6								contemporain			
65.3	"fosse de plantation ou extrémité de fossé?"	0,3	"5 x 0,8 min"								contemporain			
65.4	"fosse de plantation"	0,3	"1,4 x 0,7 min"								contemporain			
65.5	"fosse de plantation"	0,3	"1,6 x 0,6 min"								contemporain			
66.1	"fosse de plantation"	0,3	"1,4 x 0,8 min"								contemporain			
66.2	"fosse de plantation"	0,3	"1,2 x 0,9 min"								contemporain			
66.3	"fosse de plantation"	0,3	"1,2 x 0,8 min"								contemporain			
67.1	"fosse de plantation"	0,3	"1 x 0,9 min"								contemporain			
67.2	fossé	0,3	"1,1 de large"								indéterminé			
67.3	"fosse de plantation"	0,3	1,1 x 1,1								contemporain			
67.4	"fosse de plantation"	0,3	"1,1 x 0,9 min"								contemporain			
68.1	"fosse de plantation"	0,3	1,2 x 1,1								contemporain			
68.2	fossé	0,3	"1,3 x 0,6 min"								contemporain			
68.3	"fosse de plantation"	0,3	"1,2 x 0,7 min"								contemporain			
68.4	"fosse de plantation"	0,3	"1,8 x 0,7 min"								contemporain			

Structure	Type	"Niveau d'appartition (en m)"	"Dimensions en plan (en être)"	Prof.	Sond.	Mobilier	Equivalence	Relations	cadastre	datation céramique	Datation	Minute	Photo	Commentaire
68.5	"fosse de plantation"	0,3	"1,1 x 0,5 min"								contemporain			
68.6	fossé	0,3	"0,5 de large"								contemporain			
68.7	indéterminé	0,3	"0,8 min x 0,3"			verre					contemporain			
68.8	fossé	0,3	"0,9 de large"			faillance					contemporain			
69.1	"fosse de plantation"	0,3	1,2 x 1,1								contemporain			
69.2	fossé ou drain	0,3	"0,2 de large"								contemporain			
70.1	"fosse de plantation"	0,3	1,2 x 1,3								contemporain			
70.2	"fosse de plantation"	0,3	"1,2 x 1 min"								contemporain			
71.1	fossé	0,36	"1,25 de large"	0,44	PM						antique	29	X	
71.2	"fosse de plantation ?"	0,5	"0,8 x 0,5 min"			verre					contemporain			
71.3	fossé	0,36	"1,2 de large"	0,46	PM	meule					antique	29	X	
71.4	fossé	0,4	"1,1 de large"	0,54	PM	céramique				gallo-romain	antique	29	X	
71.5	fossé	0,4	"0,8 de large"	0,2	PM						antique	29	X	
72.1	fossé	0,4	"0,7 de large"	0,04	MAN						contemporain			non relevé
72.2	fossé	0,4	"0,7 de large"	0,1	PM						contemporain			non relevé
72.3	fossé	0,3	"1,2 de large"	0,62	PM						antique	29	X	
72.4	fossé	0,4	"0,8 de large"								contemporain			non relevé
72.5	fossé	0,4	"0,7 de large"								contemporain			
72.6	fossé	0,4	"0,35 de large"			brique					contemporain			
73.1	fossé	0,4	"0,8 min de large"				74.1 - 76.1	intersection avec 73.2			antique			extrémité
73.2	fossé	0,4	"0,7 de large"					intersection avec 73.1			antique			
73.3	"fossé ou drain"	0,4	"0,35 de large"					coupe par 73.4			indéterminé			
73.4	fossé	0,3	"1,6 de large"				75.1	coupe 73.3	X		contemporain			
73.5	"fosse de plantation"	0,4	1 x 0,8								contemporain			
73.6	"fosse de plantation"	0,4	0,9 x 0,8					coupe 73.4			contemporain			
73.7	fossé	0,4	"0,7 de large"				75.2	coupe par 73.4			antique			

Structure	Type	"Niveau d'appartition (en m)"	"Dimensions en plan (en être)"	Prof.	Sond.	Mobilier	Equivalence	Relations	cadastre	datation céramique	Datation	Minute	Photo	Commentaire
74.1	fossé	0,4	"0,96 de large"	0,34	PM		73.1 - 76.1				antique	37	X	
75.1	fossé	0,4	"1,2 min de large"				73.4		X		contemporain			
75.2	fossé	0,4	"1,06 de large"	0,44	PM		73.7				antique	37	X	
75.3	fossé	0,4	"0,88 de large"	0,48	PM		16.3 - 90.11 - 89.5				antique	36	X	
75.4	"fosse de plantation"	0,3	"0,6 de diam"								contemporain			
75.5	fossé	0,2	1 de large				87.15 - 86.6		X		contemporain			
75.6	fossé	0,2	"0,75 de large"				"90.14 - 89.7 - 88.11 - 87.13 - 88.6"		X		contemporain			
76.1	fossé	0,3	"0,72 de large"	0,24	PM		73.1 - 74.1				antique	37	X	
77.1	"fosse de plantation"	0,25	"0,8 x 0,5 min"								contemporain			
77.2	fossé	0,3	"0,3 de large"				100.3				antique			
77.3	fossé	0,3	"0,5 de large"				"31.2 - 41.4 - 40.2 - 39.6 - 18.1 - 100.2 - 92.1"				antique			
77.4	annulé										indéterminé			
77.5	annulé										indéterminé			
77.6	annulé										indéterminé			
78.1	fosse	0,25	2,8 x 1,7								contemporain			
79.1	annulé										indéterminé			
79.2	annulé										indéterminé			
79.3	annulé										indéterminé			
79.4	annulé										indéterminé			
79.5	annulé										indéterminé			
79.6	annulé										indéterminé			
79.7	annulé					céramique				Protohistoire ancienne	indéterminé			
79.8	annulé									Protohistoire ancienne	indéterminé			
79.9	annulé										indéterminé			
79.10	annulé									Protohistoire ancienne	indéterminé			
79.11	annulé										indéterminé			

Structure	Type	"Niveau d'appartion (en m)"	"Dimensions en plan (en être)"	Prof.	Sond.	Mobilier	Equivalence	Relations	cadastre	datation céramique	Datation	Minute	Photo	Commentaire
79.1.2	annulé										indéterminé			
79.1.3	annulé										indéterminé	X		
79.1.4	annulé										indéterminé			
80.1	annulé										indéterminé			
80.2	annulé										indéterminé			
80.3	annulé										indéterminé			
80.4	annulé										indéterminé			
80.5	annulé										indéterminé			
80.6	annulé										indéterminé			
80.7	annulé										indéterminé			
80.8	annulé										indéterminé			
81.1	annulé	0,25	"0,35 de large"								indéterminé			
81.2	fossé	0,3	"0,4 de large"				93.2				contemporain			
81.3	fossé	0,3	"0,45 de large"				93.1				contemporain			
81.4	fossé	0,3	"0,4 de large"								contemporain			
81.5	fossé	0,3	"0,5 de large"								contemporain			
82.1	fossé	0,4	"0,6 de large"								contemporain			
82.2	fossé	0,4	"0,7 de large"				84.1		X		contemporain			
82.3	annulé	0,4									indéterminé			
82.4	annulé	0,4									indéterminé			
83.1	fossé	0,3	"0,9 de large"			céramique	87.1 - 88.1 - 90.1 - 91.2		X	"médiévale ou moderne"	contemporain			
83.2	fossé	0,3	"1,2 de large"				85.1 - 87.2 - 88.2 - 90.2		X		contemporain			
83.3	fossé	0,3	"0,5 de large"								Indéterminé			
83.4	"fosse de plantation"	0,3	"0,8 x 0,5 min"								contemporain			
84.1	fossé	0,3	"0,7 de large"			clous en fer					contemporain			
84.2	fosse	0,25	"5 x 0,9 min"			bâche plastique					contemporain			
84.3	fossé	0,3	"0,5 de large"				86.5 - 87.3				antique			

Structure	Type	"Niveau d'appartition (en m)"	"Dimensions en plan (en être)"	Prof.	Sond.	Mobilier	Equivalence	Relations	cadastre	natéonien	datation	céramique	Datation	Minute	Photo	Commentaire
84.4	"fosse de plantation"	0,3	"1,7 de diam"										contemporain			
84.5	"fosse de plantation"	0,2	1,3 x 1,2										contemporain			
84.6	"fosse de plantation"	0,3	0,7 x 0,5										contemporain			
84.7	"fosse de plantation"	0,3	1,5 x 1										contemporain			
85.1	fossé	0,3	"1,2 de large"				83.2 - 87.2 - 88.2 - 90.2						contemporain			
86.1	"fosse de plantation"	0,3	0,8 x 0,7										contemporain			
86.2	annulé	0,3											indéterminé			
86.3	annulé	0,3											indéterminé			
86.4	annulé	0,3											indéterminé			
86.5	fossé	0,3	"0,45 de large"				84.3 - 87.3						antique			
86.6	fossé	0,3	"0,7 de large"				75.5 - 87.15		X				contemporain			
86.7	fossé	0,3	"0,9 de large"				87.15		X				contemporain			
87.1	fossé	0,3	1 de large				83.1 - 88.1 - 90.1 - 91.2						contemporain			
87.2	fossé	0,3	"1,1 de large"				85.1 - 83.2 - 88.2 - 90.2						contemporain			
87.3	fossé	0,3	"0,45 de large"				84.3 - 86.5						antique			
87.4	fossé	0,3	"0,7 de large"										indéterminé			
87.5	annulé	0,3											indéterminé			
87.6	"fosse de plantation"	0,3	1,2 x 1										contemporain			
87.7	"fosse de plantation"	0,3	"0,8 de diam"										contemporain			
87.8	"fosse de plantation"	0,3	1 x 0,9										contemporain			

Structure	Type	"Niveau d'appartition (en m)"	"Dimensions en plan (en être)"	Prof.	Sond.	Mobilier	Equivalence	Relations	cadastre	datation céramique	Datation	Minute	Photo	Commentaire
87.9	"fosse de plantation"	0,3	1,2 x 0,75		"céramique verre"						contemporain			
87.10	"fosse de plantation"	0,3	1,2 x 1,1								contemporain			
87.11	annulé	0,3									indéterminé			
87.12	"fosse de plantation"	0,3	1,4 x 1,3								contemporain			
87.13	fossé	0,3	"0,55 de large"				"75.6 - 90.14 - 89.7 - 88.11 - 88.6"		X		contemporain			
87.14	annulé	0,3									indéterminé			
87.15	fossé	0,3	"1,1 de large"				75.5 - 86.6		X		contemporain			
87.16	fossé	0,3	"0,5 de large"								indéterminé			
88.1	fossé	0,3	"0,7 de large"				83.1 - 87.1 - 90.1 - 91.2				Contemporain			
88.2	fossé	0,3	"1,4 de large"				85.1 - 83.2 - 87.2 - 90.2				contemporain			
88.3	annulé	0,3									indéterminé			
88.4	annulé	0,3									indéterminé			
88.5	"fosse de plantation"	0,3	1,5 x 0,7								contemporain			
88.6	fossé	0,3					"75.6 - 90.14 - 89.7 - 88.11 - 87.13"				contemporain			
88.7	annulé	0,3									indéterminé			
88.8	annulé	0,3									indéterminé			
88.9	annulé	0,3									indéterminé			
88.10	annulé	0,3									indéterminé			
88.11	fossé	0,3	"0,7 de large"				"75.6 - 90.14 - 89.7 - 87.13 - 88.6"		X		contemporain			
88.12	"fosse de plantation"	0,3	1,2 x 0,8								contemporain			
89.1	fossé	0,25	"0,75 de large"								contemporain			
89.2	fossé	0,3	"0,35 de large"								contemporain			
89.3	annulé	0,3									indéterminé			

Structure	Type	"Niveau d'appartion (en m)"	"Dimensions en plan (en être)"	Prof.	Sond.	Mobilier	Equivalence	Relations	cadastre	datation	céramique	Datation	Minute	Photo	Commentaire
89.4	fossé	0,3	"0,3 de large"									contemporain			
89.5	fossé	0,3	"0,85 de large"	0,4	PM		16.3 - 75.3 - 90.11			"Protohistoire ancienne"		antique	36	X	
89.6	"fosse de plantation"	0,3	1,3 x 1									contemporain			
89.7	fossé	0,3	"0,6 de large"				"75.6 - 90.14 - 88.11 - 87.13 - 88.6"		X			contemporain			
89.8	"fosse de plantation"	0,3	1 x 0,8									contemporain			
90.1	fossé	0,3	"0,6 de large"				83.1 - 87.1 - 88.1 - 91.2					contemporain			
90.2	fossé	0,3	"0,5 de large"				85.1 - 83.2 - 87.2 - 88.2					contemporain			
90.3	annulé	0,3										indéterminé			
90.4	annulé	0,3										indéterminé			
90.5	annulé	0,3										indéterminé			
90.6	"fosse de plantation"	0,3	"1,8 x 1,4 min"									contemporain			
90.7	"fosse de plantation"	0,3	1 x 0,8									contemporain			
90.8	fossé	0,3	"0,55 de large"									contemporain			
90.9	annulé	0,3										indéterminé			
90.10	"fosse de plantation"	0,3	"1,2 x 0,9"									contemporain			
90.11	fossé	0,25					16.3 - 75.3 - 89.5					antique			
90.12	annulé	0,3										indéterminé			
90.13	"fosse de plantation"	0,3	0,9 x 0,7									contemporain			
90.14	fossé	0,3	"0,6 de large"				"75.6 - 89.7 - 88.11 - 87.13 - 88.6"		X			contemporain			
91.1	fossé	0,3	"0,6 de large"									contemporain			

Structure	Type	"Niveau d'appartion (en m)"	"Dimensions en plan (en être)"	Prof.	Sond.	Mobilier	Equivalence	Relations	cadastre	datation céramique	Datation	Minute	Photo	Commentaire
91.2	fossé	0,25	"0,45 de large"				83.1 - 87.1 - 88.1 - 90.1				contemporain			
91.3	fossé	0,3	"0,7 de large"								indéterminé			
92.1	fossé	0,3	"0,65 de large"				"31.2 - 41.4 - 40.2 - 39.6 - 18.1 - 77.3 - 100.2"				antique			
93.1	fossé	0,3	"0,7 de large"				81.3				contemporain			
93.2	fossé	0,3	"0,7 de large"				81.2				contemporain			
94.1	fossé	0,3	"0,7 de large"								contemporain			
95.1	fosse	0,3	"0,7 de diam"			ardoise					contemporain			
95.2	annulé	0,3									indéterminé			
95.3	annulé	0,3									indéterminé			
96.1	annulé	0,3									indéterminé			
99.1	fosse	0,3	"0,96 x 0,86"	0,12	MAN	céramique				"transition entre la fin du Néolithique et le début du Bronze ancien"	"protohistoire ancienne"	36	X	
99.2	fossé	0,3	"0,7 de large"	0,28	PM		"31.2 - 41.4 - 40.2 - 39.6 - 18.1 - 77.3 - 92.1"				antique	36	X	
99.3	fossé	0,3	"0,6 de large"				77.2				antique			

Inventaire des isolats

ISO	type de mobilier	DATATION
17.1	céramique	Protohistoire ancienne
25.1	céramique	indéterminé
26.1	lithique	indéterminé
60.1	céramique	Protohistoire ancienne
75.1	céramique	Protohistoire ancienne
76.1	céramique	Protohistoire ancienne
79.1	céramique	indéterminé
81.1	céramique	Bronze final / 1er âge du Fer
82.1	céramique	Protohistoire ancienne
82.2	céramique	Protohistoire ancienne
83.1	céramique	Protohistoire ancienne
94.1	céramique	Protohistoire ancienne

Inventaire des minutes de terrain

N° de minute	Relevés des tranchées au 1/200 e	Zoom au 1/20 e	Zoom au 1/100 e	Relevés des structures au 1/20 e	Support
1	1, 2, 3 et 4				calque A3
2	5, 6, 7 et 8			1.1 - 1.5 - 1.10 - 1.15	calque A3
3	9, 10 et 11			11.5	calque A3
4	12, 13 et 14				calque A3
5	15, 16, 17 et 18		17.2 à 17.6		calque A3
6	19, 20 et 21				calque A3
7	22, 23 et 24				calque A3
8	25, 26 et 27			27.4	calque A3
9				21.1, 23.2 et 23.5	calque A3
10				12.6, 12.7, 12.8, 12.9, 17.3, 17.4, 17.5, 17.6, 18.2, 21.2, 25.11"	calque A3
11	29, 30, 31 et 32				calque A3
12	33, 34, 35, 36, 37 et 38			18.15	calque A3
13			22.4, 22.20 à 22.23	18.4, 18.6, 22.13, 22.21, 22.22, 22.24, 23.3, 25.5, 25.15, 25.17, 35.4, 35.5, 41.5	calque A3
14				"19.3, 21.6, 24.1, 24.2, 24.22, "	calque A3
15		"18.14, 18.15, 18.17 et 18.18"		18.14 et 18.18	calque A3
16				22.3, 23.6, 23.7	calque A3
17			"27.6 et 27.7 24.1 et 24.24 27.2, 27.8 et 27.9"	"24.4, 27.3, 27.4, 27.5, 27.6, 27.7 et 27.8"	calque A3
18				25.20 et 26.16	calque A3
19				"22.10, 22.11, 25.3, 25.4 36.1 et 39.2 "	calque A3
20			24.7, 24.15 à 24.20		calque A3
21			"41.4 et 41.5, 22.7, 22.8, 22.18 et 22.19"	41.4	calque A3
22	44, 45				calque A3
23	46, 47, 48				calque A3
24	49, 50, 51				calque A3
25	52, 53, 54			50.1, 51.1, 52.1	calque A3
26	55, 56, 57				calque A3
27	58, 59, 60, 61, 62, 63, 64, 65				calque A3
28	66, 67, 68, 69, 70				calque A3
29				"57.3, 57.5, 56.16, 71.1, 71.3, 71.4, 71.5, 72.3"	calque A3
30	73, 74, 75				calque A3
31	76, 77, 78, 79				calque A3
32	80, 81, 82, 83, 84, 85				calque A3
33	87, 88, 89				calque A3
34	86, 90, 91, 92				calque A3
35	93, 94				calque A3
36				99.1, 89.5, 99.2, 75.3	calque A3
37				LOG Tr. 72, 75.2, 74.1, 76.1	calque A3

Inventaire des photographies

N° de cliché	Structure	Intitulé
1^{ère} TRANCHE		
DSCN3704 à DSCN3706	1.1	sondage mécanique - coupe nord du fossé
DSCN3707 à DSCN3712	1.5 - 1.10 - 1.15	sondage mécanique - coupe est des fossés
DSCN3713 à DSCN3715	17.4	nettoyage de surface - détail sur la céramique
DSCN3716 à DSCN3720	17.3	sondage manuel - vue en coupe et en plan de l'anomalie
DSCN3721 à DSCN3725	17.6	sondage manuel - vue en coupe et en plan de l'anomalie
DSCN3726 à DSCN3730	17.5	sondage manuel - vue en coupe et en plan de l'anomalie
DSCN3731 à DSCN3735	18.2	sondage manuel - vue en coupe et en plan de l'anomalie
DSCN3783 à DSCN3786	12.6	sondage mécanique - coupe nord du fossé
DSCN3787 à DSCN3793	12.7 - 12.8 - 12.9	sondage mécanique - coupe nord des fossés
DSCN3794 à DSCN3798	18.15	sondage manuel - vue en coupe et en plan de l'extrémité nord du fossé
DSCN3799 à DSCN3803	23.3	sondage manuel - vue en coupe et en plan du trou de poteau
DSCN3804 à DSCN3818	21.2	sondage manuel - vue en coupe et en plan du trou de poteau
DSCN3819 à DSCN3823	21.1	sondage mécanique - coupe sud du fossé d'enclos
DSCN3824 à DSCN3829	23.8	sondage mécanique - coupe est du fossé d'enclos
DSCN3830 à DSCN3835	23.5	sondage mécanique - coupe nord du fossé d'enclos
DSCN3836 à DSCN3840	25.11	sondage manuel - vue en coupe et en plan du trou de poteau
DSCN3841 à DSCN3845	19.3	sondage mécanique - coupe sud de la structure linéaire
DSCN3846 à DSCN3848	19.3	vue d'ensemble de la structure linéaire
DSCN3850 à DSCN3853	19.1	vue d'ensemble de la structure linéaire
DSCN3854 à DSCN3860	25.5	sondage manuel - vue en coupe et en plan du trou de poteau
DSCN3861 à DSCN3865	25.15	sondage manuel - vue en coupe et en plan du trou de poteau
DSCN3866 à DSCN3870	24.1	sondage mécanique - coupe est du fossé
DSCN3871 à DSCN3879	24.2	sondage mécanique - coupe nord-est du fossé d'enclos
DSCN3880 à DSCN3884	24.3	sondage mécanique - coupe est du fossé
DSCN3885 à DSCN3890	24.10	sondage manuel - vue en coupe et en plan du trou de poteau
DSCN3891 à DSCN3896	24.4	sondage manuel - vue en coupe et en plan du trou de poteau
DSCN3897 à DSCN3917	24.7 et autres	nettoyage de surface - vues d'ensemble et de détail des aménagements situés au niveau du fossé d'enclos 24.7
DSCN3918 à DSCN3922	24.10	sondage mécanique - coupe est du fossé
DSCN3923 à DSCN3929	27.3	sondage manuel - vue en coupe et en plan du trou de poteau
DSCN3930 à DSCN3936	18.18	sondage manuel - vue d'ensemble et de détail du sondage effectué dans l'extrémité de la structure
DSCN3937 à DSCN3942	18.14 à 18.20	vue d'ensemble des aménagements de la tranchée 18
DSCN3943 à DSCN3948		vue de détail de la Croix du Mourillon, située à proximité et au nord du diagnostic
DSCN3949 à DSCN3955	22.3	sondage mécanique - coupe nord-ouest du fossé
DSCN3956 à DSCN3960	22.3	sondage mécanique - coupe sud-est du fossé
DSCN3961 à DSCN3965	35.5	sondage manuel - vue en coupe et en plan du trou de poteau
DSCN3966 à DSCN3970	35.4	sondage manuel - vue en coupe et en plan du trou de poteau
DSCN3971 à DSCN3978	36.4	sondage manuel - vue en coupe et en plan du trou de poteau
DSCN3979 à DSCN3980	photo de détail de la zone des fours	photo de détail de la zone des fours
DSCN3981 à DSCN3993	23.7	sondage manuel - vue d'ensemble, vue en coupe et en plan de l'extrémité du fossé
DSCN3994 à DSCN4000	39.2	sondage manuel - vue en coupe et en plan du trou de poteau
DSCN4001 à DSCN4005	22.11	sondage mécanique - coupe nord-est du fossé
DSCN4006 à DSCN4009	22.10	sondage mécanique - coupe nord-est du fossé

N° de cliché	Structure	Intitulé
DSCN4010 à DSCN4022	36.1	sondage mécanique - coupe sud-est du fossé
DSCN4023 à DSCN4029	25.2 - 25.3 - 25.4	vues d'ensemble de l'intersection des fossés
DSCN4030 à DSCN4037	25.3 - 25.4	sondage mécanique - coupe nord-est des fossés
DSCN4038 à DSCN4046	36.1 - 36.6 - 36.7	vues d'ensemble de l'intersection des fossés 36.1 et 36.6 et de l'extrémité du fossé 36.7
DSCN4047 à DSCN4051	39.1 - 39.6	vues d'ensemble de l'intersection des fossés
DSCN4052 à DSCN4063	26.16	sondage mécanique - coupe nord du fossé d'enclos
DSCN4064 à DSCN4069	27.6	sondage mécanique - coupe sud-ouest du fossé
DSCN4070 à DSCN4073	27.5	sondage mécanique - coupe est du fossé
DSCN4074 à DSCN4078	24.1 - 24.4 - 24.25	vues d'ensemble de l'intersection des fossés
DSCN4079 à DSCN4084	27.6 - 27.7	vue d'ensemble du fossé 27.6 t l'interruption du fossé 27.7
DSCN4085 à DSCN4090	27.8	sondage manuel - vue en coupe et en plan du trou de poteau
DSCN4091 à DSCN4095	27.9	sondage manuel - vue en coupe et en plan du trou de poteau
DSCN4096 à DSCN4103	22.7 - 22.8 - 22.18 - 22.19	vues d'ensemble de l'intersection et des interruptions des fossés
DSCN4104 à DSCN4108	41.4	sondage mécanique - coupe sud-ouest du fossé
DSCN4109 à DSCN4111	41.4 - 41.5	vues d'ensemble de l'intersection des fossés
DSCN4112 à DSCN4117	25.20	sondage mécanique - coupe est du fossé d'enclos
DSCN4118 à DSCN4137	22.4 - 22.5 - 22.6 - 22.20 - 22.21 - 22.22 - 22.23	entrée de l'enclos, interruption du fossé d'enclos matérialisant une entrée et trous de poteaux associés
DSCN4138 à DSCN4142	25.17	sondage mécanique - coupe est du fossé
DSCN4143 à DSCN4152	22.21	sondage manuel - vue en coupe et en plan du trou de poteau
DSCN4153 à DSCN4157	22.22	sondage manuel - vue en coupe et en plan du trou de poteau
DSCN4158 à DSCN4167	22.4 - 22.5 - 22.6 - 22.20 - 22.21 - 22.22 - 22.23	entrée de l'enclos, interruption du fossé d'enclos matérialisant une entrée et trous de poteaux associés
DSCN4168 à DSCN4177	22.13 - 22.14 - 22.15 - 22.16	intersection et sondage manuel dans le fossé 22.???
2e TRANCHE		
DSCN6349 à DSCN6352	52.1	sondage mécanique - coupe sud du fossé
DSCN6353 à DSCN6356		forêt avant défrichage
DSCN6357 à DSCN6365		forêt après défrichage
DSCN6366 à DSCN6367	57.3 - 57.5	sondage mécanique - coupe nord-est des fossés
DSCN6368 à DSCN6369	57.3	sondage mécanique - coupe nord-est du fossé
DSCN6370 à DSCN6373		photos d'ambiance
DSCN6374 à DSCN6376	57.3 - 57.5	sondage mécanique - coupe nord-est des fossés
DSCN6377 à DSCN6379	57.5	sondage mécanique - coupe nord-est du fossé
DSCN6380 à DSCN6381	57.3 - 57.5	sondage mécanique - coupe nord-est des fossés
DSCN6382 à DSCN6384	57.3	sondage mécanique - coupe nord-est du fossé
DSCN6385 à DSCN6387	56.16	sondage mécanique - coupe ouest du fossé
DSCN6388 à DSCN6397	71.1	sondage mécanique - coupe nord-est du fossé
DSCN6398 à DSCN6405	71.3	sondage mécanique - coupe est du fossé
DSCN6406 à DSCN6411	71.4	sondage mécanique - coupe sud du fossé
DSCN6412 à DSCN6416	72.3	sondage mécanique - coupe nord du fossé
DSCN6417 à DSCN6419		vue des tranchées 71 et 72
DSCN6420 à DSCN6427	71.5	sondage manuel - coupe nord-est du fossé
DSCN6428 à DSCN6430		Log tranchée 72
DSCN6431 à DSCN6434	75.2	sondage mécanique - coupe nord du fossé
DSCN6435 à DSCN6438	74.1	sondage mécanique - coupe sud du fossé
DSCN6439 à DSCN6444	76.1	sondage mécanique - coupe sud du fossé
DSCN6447 à DSCN6452		vue d'ensemble des anomalies de la tranchée 79
DSCN6453 à DSCN6458		Log tranchée 79
DSCN6459 à DSCN6461	79.13	sondage manuel - vue de la coupe de l'anomalie
DSCN6462 à DSCN6469	100.1	sondage manuel - vue en coupe et en plan de la fosse de l'âge du Bronze
DSCN6470 à DSCN6476	89.5	sondage mécanique - coupe ouest du fossé
DSCN6477 à DSCN6481	75.3	sondage mécanique - coupe est du fossé
DSCN6482 à DSCN6485	99.2	sondage mécanique - coupe sud du fossé

Inventaire des céramiques proto historiques anciennes

Tranchée	Fait	Us	Iso	Type	NR	Descriptif	Datation
17	3			Céramique	42	1 récipient biconique	Bronze final/Premier âge du Fer
17	4			Céramique	7	1 fgt fond	Protohistoire ancienne
17			1	Céramique	2		Protohistoire ancienne
60			1	Céramique	4		Protohistoire ancienne
75			1	Céramique	1		Protohistoire ancienne
76			1	Céramique	1		Protohistoire ancienne
79	7			Céramique	1		Protohistoire ancienne
79	8	1		Céramique	1		Protohistoire ancienne
79	10			Céramique	1		Protohistoire ancienne
81			1	Céramique	1		Bronze final/Premier âge du Fer
82			1	Céramique	1	1 cordon?	Protohistoire ancienne
82			2	Céramique	1		Protohistoire ancienne
83			1	Céramique	1		Protohistoire ancienne
89	5	1		Céramique	1		Protohistoire ancienne
94			1	Céramique	1		Protohistoire ancienne
99	1			Céramique	16	1 récipient biconique à bord rentrant et pseudo cordon sub-oral 1 encolure	transition III ^e me/II ^e me millénaire
99	1			Céramique	72		Protohistoire ancienne

Inventaire des céramiques gauloises

secteur	Tr.	Structure	Us	Sd.	NR fragments	NR bords	NR fonds	NR décors	NMI	TC	Observations
secteur sud	18	15			5	0	0	1	1		estampage et cupule
secteur sud	18	16			2	0	0	0	0		
secteur sud	18	17			7	0	0	0	0		
secteur sud	19	5			12	0	0	0	0		
secteur sud	19	3	40 cm		16	0	0	0	0	1	
secteur sud	19	3	40-60 cm		4	0	1	0	1		fond plat
secteur sud	19	3			9	1	0	0	1		
secteur sud	19	4			5	0	1	0	1		fond plat
Total secteur sud					60	1	2	1	4	1	
secteur nord	21	7			1	0	0	0	0		
secteur nord	21	8			2	0	0	0	0		
secteur nord	23	5	1		4	0	0	0	0	1	
secteur nord	24	2			3	0	0	0	0		
secteur nord	24	17		sd test	1	1	0	0	1		bord fin, fine cannelure int.
secteur nord	25	5	1	1/2 sud	1	0	1	0	0		fond bombé ?
secteur nord	25	6			8	0	1	3	3		graphite
secteur nord	25	9			1	0	0	0	0		
secteur nord	25	11	1	1/2 sud	5	0	0	1	1		panse avec cannelures au peigne (?)
secteur nord	25	20	8		5	0	1	0	1		
secteur nord	26	16	11		9	0	0	0	0		
secteur nord	26	19			111	2	0	0	2		
Total secteur nord					151	3	3	4	8	1	
Total					211	4	5	5	12	2	

Inventaire des céramiques et des éléments d'architecture antiques

Céramiques

Tranchée	Structure	Compl. réf. archéo.	Période	NR
21	1		gallo-romaine	7
21	1	US 3 ou 4	gallo-romaine	40
21		au dessus de la str. 1	médiévale/moderne	2
22	3		gallo-romaine	7
22	3	US 5, coupe O	gallo-romaine	1
22	4	nett. surface	Médiévale (?)	11
22	7		Protohistoire	3
22	8		gallo-romaine	1
22	11		gallo-romaine	5
22	13		gallo-romaine	7
22	13	US 1	gallo-romaine	15
22	14		gallo-romaine	3
22	15		gallo-romaine	4
23	5		gallo-romaine	1
23	6	US 1	gallo-romaine	5
23	6	base de l'US 1	gallo-romaine	6
23	7		gallo-romaine	12
23	8	sd. mécanique	gallo-romaine	2
23	8	US 2	gallo-romaine	5
24	7		protohistoire/gallo-romaine	2
25		iso. 1	Indéterminée	7
25	3	US 1	gallo-romaine	1
25	20		gallo-romaine	2
25	20	US 1	gallo-romaine	10
26	12		gallo-romaine	8
35	5		gallo-romaine	2
36	1		gallo-romaine	10
36	1	US 3	gallo-romaine	9
51	4		contemporaine	2
48	5		indéterminée	1
57	2		médiévale/moderne	1
71	4		gallo-romaine	2
79		iso 1, -40 cm	indéterminée	1
83	1		médiévale/moderne	1

Eléments d'architecture

Tranchée	Structure	Type	NR
22	15	Frag. de parois ?	2

Inventaire de l'outillage macrolithique

N°	Tranchée	Fait	iso	Us	Type de Structure	Datation	Type	Détermination	Matière 1ere	Support	Conservation	Etat	L	I	diamètre	ép. flanc	ép max	Poids (kg)
1	71	3	1	1	fossé	antique	mouture rotative	meta	granite à grains grossiers ou leucogranite ?, teinte claire	indét	entier	bon			45	11,5		
2	27	4			fossé	contemporain ?	mouture rotative	catillus	granite à grains fins à moyens gris	indét	secteur	bon			17	17	17	16,09
3	23	6	1	1	fossé parcellaire	fin 1er avt-dbt 1er ap.	mouture vâet-vent	meule	granite à grains fins à moyens gris	indét	fragment	bon						12,98
4	25	20			fossé	LTF	mouture vâet-vent	meule à rebord	granite à grains fins à moyens gris	indét	fragment	bon						7,51
5	26		1			LTF	mouture vâet-vent	meule	granite à grains moyens à grossiers	galet	fragment	bon						6,33
6	18	17			tranchée	non daté mais faits -Ve à prox.	mouture rotative ?	meta ?	granite à grains moyens à grossiers	indét	fragment	bon				9,8	9,8	3,2
7	23	6	1	1	fossé parcellaire	fin 1er avt-dbt 1er ap.	percussion/ broyage- concassage ?	Pierre à concasser ? broyeur	grès	galet	fragment	bon			6,5		2,6	0,18
8	25	20			fossé	LTF	percussion ?	marteau ?	dolérite	batonnet ?	fragment				2,5			0,05
9	TV						friction ?	molette de friction ?	gneiss ?	galet	complet	bon			10	5,2	2,3	0,19
10	TV						polissage ?	aiguiseur ?	schiste	plaquette	complet				4,5		2,3	0,1

Inventaire autres lithiques

Tranchée	iso	Détermination	Matière 1ere
76	2	galet côtier débité	silex
hors tranchée		eclat brûlé	silex
hors tranchée		galet côtier	texture doléritique
hors tranchée		lame	grès fin
hors tranchée		hache polie	dolérite

Inventaire métal et scories

Tranchée	Fait	US	matière première	nombre	détermination
35	1	niveau de décapage	métal - fer	1	clou
26	16	1	métal - fer	1	clou
24	2		mobilier métallurgique	4	scorie
26	16		mobilier métallurgique	1	culot de forge
24	2	interface TV / US1	métal - alliage cuivreux	1	élément décoratif

Chronologie

Néolithique
Âge du Bronze
Âge du fer
La Tène
Antiquité
Haut-Empire
Époque médiévale
haut Moyen Âge
Temps modernes
Époque contemporaine
Ère industrielle

Sujets et thèmes

Bâtiment
Habitat rural
Four
Fosse
Parcellaire ancien

Mobilier

Industrie lithique
Céramique
Objet métallique
Macro-outillage

Quéven La Croix du Mourillon

Le diagnostic archéologique mené au préalable de l'extension de la zone industrielle du Mourillon a concerné une surface de 26 hectares. Il a permis de mettre au jour plusieurs occupations humaines anciennes.

Quelques indices ténus évoquent une fréquentation des lieux au cours de la Protohistoire ancienne (céramique, hache polie, silex taillés).

Au sud-ouest de l'emprise, une occupation datée du V^e siècle avant notre ère a été mise en évidence sur une surface d'environ 1 000 m². Elle se caractérise par plusieurs segments de fossé dont l'organisation, peu commune, ne nous renseigne guère sur leur fonction.

Plus au nord, notre opération a permis d'aborder deux enclos dont l'existence avait été révélée dès 1991 par prospection aérienne.

Le premier dessine un plan subtrapézoïdal et possède une entrée sur sa façade orientale. Il couvre une surface d'environ 4 500 m². Son occupation s'étale sur près de trois siècles, entre le III^e et la première moitié du I^{er} siècle avant notre ère. Plusieurs aménagements ont été observés dans la surface enclose, ainsi qu'en périphérie (fossés, trous de poteau, fosses, structures de combustion). Le mobilier recueilli en surface de décapage et dans les sondages effectués dans les diverses structures associées à cette occupation est assez abondant et varié, indiquant le caractère domestique de cette occupation : la céramique comporte de nombreux fragments d'amphore, le macro-outillage est bien représenté (meules rotatives et va-et-vient en granite) et quelques scories sont également attestées.

Le second enclos dessine un plan trapézoïdal et possède une entrée sur sa façade sud. Il couvre une surface d'environ 3 000 m². Le mobilier céramique découvert dans le comblement du fossé d'enclos et des aménagements internes indique une brève occupation pour cet ensemble, entre le milieu du I^{er} siècle avant notre ère et la fin du I^{er} siècle de notre ère. Dans la surface enclose, plusieurs aménagements fossoyés ont été repérés (partition interne ?), ainsi qu'un bâtiment sur quatre poteaux (probable grenier).

Associé à cet enclos, une trame parcellaire orthogonale couvrant une surface d'environ 10 hectares a été mise en évidence sur toute la partie sud de l'emprise du diagnostic. Les fossés la constituant sont pour la plupart orientés nord-ouest / sud-est et sud-ouest / nord-est. Les vingt lignes de fossé observées délimitent au moins treize parcelles. Plusieurs jonctions et interruptions de fossés matérialisant plusieurs passages, ainsi qu'un possible chemin ont été identifiés. Les sondages réalisés ont permis de récolter quelques tessons de céramique datés principalement de la fin du I^{er} siècle avant notre ère et du I^{er} siècle de notre ère.

Au nord-ouest de l'emprise, cinq tronçons de fossé pourraient appartenir à une occupation antique distincte de celle mise en évidence plus au sud. La configuration particulière de l'évaluation de cette parcelle couverte d'arbres et de broussailles ne nous a pas permis d'identifier l'étendue et la nature exacte de ces vestiges. La datation proposée pour cet ensemble reste incertaine car elle repose sur la découverte d'un seul tesson de céramique. Au vu de la morphologie de deux de ces fossés, profondément creusés et possédant un comblement stratifié et de la découverte d'une meule rotative dans le comblement supérieur de l'un d'eux, l'existence à cet endroit d'un autre enclos délimitant un habitat est probable.